

**UNIVERSIDADE FEDERAL DE SANTA CATARINA
PROGRAMA DE PÓS-GRADUAÇÃO EM CIÊNCIA DA
COMPUTAÇÃO**

Hugo Marcondes

**Uma Arquitetura de Componentes Híbridos de
Hardware e Software para Sistemas Embarcados**

Dissertação submetida à Universidade Federal de Santa Catarina como parte dos requisitos para a obtenção do grau de Mestre em Ciência da Computação.

Prof. Dr. Antônio Augusto M. Fröhlich
Orientador

Florianópolis, Agosto de 2009

Uma Arquitetura de Componentes Híbridos de Hardware e Software para Sistemas Embarcados

Hugo Marcondes

Esta Dissertação foi julgada adequada para a obtenção do título de Mestre em Ciência da Computação, área de concentração Sistemas de Computação e aprovada em sua forma final pelo Programa de Pós-Graduação em Ciência da Computação.

Prof. Dr. Mauro Roisenberg

Coordenador

Banca Examinadora

Prof. Dr. Antônio Augusto M. Fröhlich

Orientador

Prof. Dr. Carlos Eduardo Pereira

ECE/UFRGS

Prof. Dr. Leandro Buss Becker

DAS/UFSC

Prof. Dr. Mário Antônio Ribeiro Dantas

INE/UFSC

*“Fundamental é mesmo o amor, é impossível ser feliz sozinho.”
- Tom Jobim*

Para minha família, que sempre me apoiou
incondicionalmente...

Sumário

Lista de Figuras	xi
Lista de Acrônimos	xiii
Resumo	xv
Abstract	xvii
1 Introdução	1
1.1 Objetivos e delimitação do objeto de estudo	4
1.2 Visão geral do texto	5
2 Desenvolvimento de Sistemas Embarcados	7
2.1 Projeto baseado em Plataformas	9
2.2 Computação Reconfigurável	14
2.3 Projeto de Sistemas orientados à Aplicação	18
3 Componentes Híbridos de Hardware e Software	23
3.1 Introdução	23
3.2 Componentes Síncronos	29
3.3 Componentes Assíncronos	30
3.4 Componentes Autônomos	32
3.5 Comunicação entre componentes híbridos	33

4	Implementação de Componentes Híbridos	35
4.1	Visão geral dos componentes	35
4.2	Semáforo	38
4.3	Escalonador	41
4.3.1	Escalonador em software	45
4.3.2	Escalonador em hardware	47
4.4	Gerador de Eventos	49
5	Resultados	53
5.1	Semáforo	55
5.2	Escalonador	56
5.3	Gerador de Eventos	57
6	Conclusão	61
	Referências Bibliográficas	65
	Anexos	69

Lista de Figuras

2.1	Fluxo simplificado do projeto de sistemas embarcados [1]	8
2.2	Plataforma do Sistema [2]	12
2.3	Configuração de uma LUT [3]	15
2.4	Arquitetura genérica de um FPGA [3]	16
2.5	Visão geral da decomposição de domínio através da AOSD [4]	20
3.1	Visão geral da família de mediadores CPU	25
3.2	Diagrama UML de colaboração: Criação e Escalonamento de Threads . .	27
3.3	Modelo de componente híbrido	28
3.4	Diagrama UML de atividades: Componente Síncrono	30
3.5	Diagrama UML de atividades: Componente Assíncrono	31
3.6	Diagrama UML de atividades: Componente Autônomo	33
4.1	Blocos internos dos componentes em hardware	36
4.2	Circuito de lógica do alocador de recursos	37
4.3	Hierarquia de barramento utilizada na implementação dos componentes híbridos	38
4.4	Família de componentes de sincronização do EPOS.	39
4.5	Diagrama de blocos do componente semáforo em hardware.	40
4.6	Modelo proposto para escalonadores de tarefas	42
4.7	Diagrama UML de seqüência do re-escalonamento de tarefas.	44
4.8	Funcionamento da fila de escalonamento relativo.	46
4.9	Diagrama de blocos do componente escalonador em hardware.	48

4.10	Diagrama de classes do gerador de eventos	49
4.11	Organização do gerador de eventos em hardware.	50
5.1	Plataforma ML403	54
5.2	Área consumida em hardware e desempenho da execução dos serviços do componente Semáforo	55
5.3	Área consumida em hardware do componente Escalonador	57
5.4	Desempenho e coeficiente de variabilidade do componente Escalonador .	57
5.5	Área consumida em hardware do componente Gerador de Eventos (Alarm)	58
5.6	Desempenho e coeficiente de variabilidade do componente Gerador de Eventos (Alarm)	59

Lista de Acrônimos

UML	Unified Modeling Language
AOSD	Application Oriented System Design
EPOS	Embedded Parallel Operating System
MDE	Model-Driven Engineering
HDL	Hardware Description Language
DSP	Digital Signal Processor
SoC	System-on-a-Chip
PLD	Programmable Logic Device
FPGA	Field Programmable Gate Array
ASIC	Application Specific Integration Circuit
PBD	Platform Based Design
IP	Intellectual Property
API	Application Programming Interface
PeaCE	Ptolemy as a Codesign Enviroment
LUT	Look Up Table
BRAM	Block Random Access Memory

HWTI Hardware Thread Interface

FBD Family based Design

OO Object Orientation

QoS Quality of Service

CPU Central Processing Unit

EDF Earliest Deadline First

RM Rate Monotonic

Resumo

Sistemas embarcados estão tornando-se mais complexos, enquanto métricas como tempo de projeto, confiabilidade, segurança e desempenho devem ser consideradas durante o processo de projeto destes sistemas. Frequentemente, tais sistemas demandam um projeto integrado de hardware e software para garantir que as métricas definidas para o mesmo sejam atingidas. Desta forma, uma metodologia de desenvolvimento baseado em componentes que possam migrar entre os domínios de hardware e software beneficia o processo de desenvolvimento destes sistemas. Adicionalmente, um projeto baseado em abstrações de alto-nível cooperam para uma melhor exploração do espaço de projeto, através de combinações distintas de hardware e software. Este trabalho propõem o uso de componentes híbridos de hardware e software como um artefato de desenvolvimento que pode ser instanciado através de diferentes combinações de implementações em hardware e software. Apresenta-se uma arquitetura para o desenvolvimento destes componentes, baseada no padrão de comportamento dos componentes, permitindo que estes migrem entre diferentes combinações de hardware e software, atendendo da melhor forma os requisitos das aplicações que os utilizam. De forma a avaliar a arquitetura proposta, três componentes foram implementados, seguindo os padrões de comportamento identificados, e uma série de experimentos foram realizados para avaliar o desempenho desta arquitetura. Os resultados obtidos demonstram que a arquitetura proposta atinge seus objetivos, impondo um sobrecusto baixo no sistema.

Abstract

Embedded systems are increasing in complexity, while several metrics such as time-to-market, reliability, safety and performance should be considered during the design of such systems. Frequently, the design of such systems imposes an integrated hardware/software design to cope with such metrics. In this sense, a component-based design methodology with components that can freely migrate between hardware and software domain benefits the design process of such systems. Moreover, a design based on higher-level abstraction enables a better design space exploration between several hardware and software compositions. This work proposes the use of hybrid hardware and software components as a development artifact that can be deployed by different combinations of hardware and software elements. It presents an architecture for developing such components in order to construct a repository of components that can migrate between the hardware and software domains to meet the design system requirements. To evaluate this architecture three components were implemented, and a serie of experiments were conducted to evaluate the performance of the architecture. The results obtained shows that the architecture achieve its goals and imposes a low overhead to the system.

Capítulo 1

Introdução

Sistemas embarcados são caracterizados por hardware e software que formam um componente de um sistema maior, e que se espera o funcionamento sem a intervenção humana. De fato, é possível encontrar diversas definições ligeiramente diferentes para sistemas embarcados, mas todas concordam entre si em basicamente três aspectos:

1. Ao contrário de sistemas de propósito-geral, sistemas embarcados são concebidos de forma a realizar tarefas específicas e conhecidas de ante-mão.
2. Não constituem em um produto por si só, integrando geralmente um sistema maior.
3. Geralmente possuem restrições quanto aos recursos disponíveis (i.e.: memória, processamento) e possuem uma interface para interação com o ambiente específica de acordo com a sua aplicação, seja ela para a interação homem-máquina ou mesmo para a interação máquina-máquina (através de sensores e atuadores).

De fato, sistemas embarcados constituem grande parte do destino final dos processadores e componentes produzidos pela indústria de semicondutores, desempenhando um importante papel na economia atual. Em 2000, um estudo de Tennenhouse publicado na revista *Communications of ACM*, mostra que cerca de 80% dos processadores produzidos pela indústria foram destinados ao mercado de sistemas embarcados, e dos 20% restantes, apenas 2% foram destinados aos computadores de propósito geral [5].

Mais recentemente, Pop, destaca que “99% dos microprocessadores produzidos atualmente são utilizados em sistemas embarcados e que recentemente o número de sistemas embarcados em uso supera o número de habitantes no planeta” [6].

Não apenas quantitativamente, tais sistemas tornam-se mais complexos à medida que a própria tecnologia de semicondutores permite a implementação de aplicações mais complexas. Não obstante, as restrições impostas a tais sistemas, como desempenho, consumo de energia, custo, confiabilidade e tempo de desenvolvimento, estão cada vez mais rigorosas. Desta forma, a tarefa de projetar tais sistemas tem se tornado cada vez mais difícil, ao mesmo tempo em que também se torna mais importante.

Grande parte desta dificuldade no projeto destes sistemas se deve ao fato de que as restrições impostas freqüentemente induzem a um projeto integrado de software e hardware. Além disto, a implementação deste projeto pode ocorrer em uma gama considerável de arquiteturas distintas, seja através de microcontroladores, processadores digitais de sinais (DSP), dispositivos de lógica programável (PLD/ FPGA), ou até mesmo dar origem a um chip dedicado (ASIC). Este processo se torna ainda mais complexo quando o projeto é integrado em uma única pastilha de silício de forma a atender restrições como tamanho, consumo de energia e desempenho. Estes sistemas são conhecidos como SoC (*System-on-Chip*).

Conforme ressaltado por Bergamaschi, o desenvolvimento de uma arquitetura de SoC dedicada a uma aplicação consiste em um processo de engenharia complexo e custoso, podendo demandar em um demorado tempo de projeto inviabilizando o seu uso na prática [7].

Por esses motivos, a pesquisa de técnicas e metodologias para o desenvolvimento de tais sistemas tem sido objeto de estudo da comunidade científica. Neste cenário, o *Projeto Baseado em Plataformas* (PBD - *Platform-based Design*) propõe o reuso de um conjunto de componentes pré-validados e regras para a integração destes, constituindo dessa forma uma plataforma para o desenvolvimento de sistemas [2]. A idéia principal é que caso essa plataforma possa atender as restrições do projeto de um conjunto de aplicações, o custo da própria plataforma pode ser pulverizado dentre deste conjunto de aplicações, favorecendo o seu desenvolvimento.

Contudo, embora o reuso de componentes sobre uma determinada plataforma possa resultar na redução dos custos envolvidos no projeto desta, Vincentelli alerta para os desafios existentes nesta abordagem [8]. O principal desafio é especificar uma plataforma que seja reutilizável por uma gama considerável de aplicações, de forma que os benefícios do uso desta plataforma possam efetivamente justificar os custos na tarefa de especificação e desenvolvimento. Além disto, é fundamental que esta plataforma esteja acompanhada de uma metodologia para guiar a instanciação de sistemas a partir da mesma.

Visando tais desafios, Polpeta propôs o uso dos conceitos da metodologia de *Projeto de Sistemas Orientados à Aplicação* (AOSD - *Application-oriented System Design*) para elaborar uma estratégia para a seleção, configuração e adaptação de componentes de acordo com desenvolvimento baseado em IPs (*Intellectual Property*) [9, 10, 11]. Esta abordagem especifica uma micro-arquitetura, baseada em componentes de software e componentes de hardware sintetizáveis em dispositivos de lógica programável, conhecidos como *soft-cores*, para serem selecionados, configurados e integrados de forma a atender os requisitos da aplicação, de acordo com os conceitos da AOSD.

Ainda assim, é necessário considerar que o projeto de SoCs não contempla o aspecto de hardware e software de forma separada, ao contrário, tais domínios devem ser tratados de forma conjunta durante a etapa de projeto. Embora Polpeta [9] tenha identificado a necessidade de utilizar estratégias que considerem ambos os domínios de implementação conjuntamente, sua abordagem assume que cada componente pré-exista no domínio de hardware ou de software, limitando desta forma a sua flexibilidade.

Neste ponto está centrado a proposta do presente trabalho estender a estratégia proposta por Polpeta [9] de forma que cada componente possa ser visto pelo projetista como um componente livre de sua realização em software ou hardware, permitindo este possa migrar entre ambos os domínios durante qualquer etapa do projeto, sem que com isso seja necessário realizar uma re-engenharia do sistema, criando assim uma arquitetura extremamente flexível para o desenvolvimento de SoCs.

Considere duas aplicações embarcadas que apresentam o uso de componentes bem semelhantes, contudo apresentam requisitos bem distintos, um rádio de

comunicação tradicional e um rádio cognitivo. Devido seus requisitos, um rádio de comunicação convencional geralmente irá implementar a sua modulação e a camada de acesso ao meio no domínio de hardware de forma a permitir um melhor desempenho, enquanto um rádio cognitivo permitirá que tais componentes sejam implementados no domínio de software, de forma a permitir a sua configuração e modificação de comportamento, de acordo com as condições e carga de tráfego no canal de comunicação, por exemplo. Neste contexto pode-se observar como os requisitos da aplicação influenciam a arquitetura desenvolvida no projeto e os benefícios do uso de uma arquitetura de componentes que possam migrar entre ambos os domínios.

A seguir, são apresentados os objetivos e a delimitação de escopo deste trabalho, assim como a organização da presente dissertação.

1.1 Objetivos e delimitação do objeto de estudo

O principal objetivo deste trabalho é propor uma arquitetura para o desenvolvimento de componentes para sistemas embarcados, cuja implementação possa migrar livremente entre os domínios de hardware e software¹, sem incorrer em grandes esforços de re-engenharia do sistema, possibilitando assim a exploração do espaço de projeto de forma a atender suas restrições da melhor forma possível. Tais componentes serão denominados **componentes híbridos**, no sentido que sua implementação possa ser realizada tanto no domínio de hardware quanto no domínio de software, ou através de uma implementação mista de ambos os domínios.

O benefício de prover esta arquitetura é permitir uma efetiva exploração do espaço de projeto de tais sistemas. Uma vez que um conjunto de componentes possa migrar de forma sistemática entre ambos os domínios é possível construir sobre essa arquitetura um repositório de componentes associados a métricas específicas de acordo com a sua implementação, e através do uso de ferramentas específicas é possível explorar as diferentes combinações entre hardware e software destes componentes, de forma a atender

¹No contexto deste trabalho, esta migração se limita ao mapeamento do componente em hardware ou software durante o projeto do sistema e não inclui a migração dinâmica do mesmo

da melhor forma os requisitos exigidos pela aplicação.

Para validar a arquitetura proposta, um conjunto de componentes foi implementado para serem utilizados na prototipação de um sistema baseado no uso de plataformas de lógica programável. Devido à disponibilidade de recursos na instituição realizadora deste projeto, foram utilizadas placas de desenvolvimento da empresa Xilinx [12]. As placas de desenvolvimento utilizadas possuem uma FPGA de arquitetura híbrida, composta por um processador PowerPC integrado na mesma, permitindo assim que os componentes de software sejam executados nestes e que componentes de hardware possam ser instanciados na lógica programável da FPGA e integrados com o PowerPC.

Para o desenvolvimento das implementações em hardware foi utilizada a linguagem de descrição de hardware VHDL. Para a síntese e geração dos componentes em hardware para instanciação na FPGA, assim como para realizar a composição do sistema final a ser instanciado na FPGA, foi utilizada as ferramentas do próprio fabricante dos dispositivos de lógica programável em uso.

1.2 Visão geral do texto

O próximo capítulo apresenta a revisão bibliográfica realizada de forma a fundamentar este trabalho. Inicialmente são apresentados os trabalhos relevantes no desenvolvimento de sistemas embarcados, assim como os conceitos de computação reconfigurável, apresentando também os principais conceitos sobre a metodologia utilizada neste trabalho.

O capítulo 3 apresenta as principais características e fundamentos da arquitetura de componentes proposta neste trabalho. A arquitetura é apresentada inicialmente através de sua forma estrutural, definindo o modelo como os componentes híbridos são implementados, e em seguida é apresentado os aspectos comportamentais da comunicação entre esses componentes, e como esta é abstraída para apresentar a mesma semântica nos domínios de hardware e software.

O capítulo 4 apresenta a implementação de três componentes híbridos, que representam os diversos padrões comportamentais definidos pela arquitetura dos com-

ponentes. Estes componentes são um SEMÁFORO, abstração utilizada para realizar a coordenação entre processos concorrentes, um ESCALONADOR, responsável por realizar o escalonamento de recursos do sistema, tais como tarefas e o acesso a dispositivos de entrada e saída e finalmente um GERADOR DE EVENTOS, responsável por gerar eventos periódicos, suportando a construção de sistemas baseados em eventos.

O capítulo 5 apresenta os experimentos realizados através do uso dos componentes implementados de acordo com a arquitetura proposta, assim como os resultados obtidos através dos mesmos. Finalmente é apresentada no capítulo 6 uma análise dos resultados obtidos em diversos experimentos com a arquitetura proposta assim como são apresentadas sugestões de continuidade para o mesmo.

Capítulo 2

Desenvolvimento de Sistemas Embarcados

Este capítulo apresenta a fundamentação teórica utilizada no desenvolvimento deste trabalho. Inicialmente é realizada a contextualização do uso de técnicas baseadas em componentes para o desenvolvimento de sistemas embarcados. Em seguida é apresentada a metodologia de desenvolvimento baseada em plataformas, assim como os fundamentos de computação reconfigurável e de projeto de sistemas orientados à aplicação, que constituem os fundamentos para o desenvolvimento desta dissertação.

Sistemas embarcados são projetados de acordo com um fluxo de projeto bastante particular, uma vez que este usualmente atende a requisitos bem específicos. Por tratar de sistemas que visam atender a uma aplicação bem específica, o seu projeto pode e deve ser orientado a atendê-la da melhor forma possível, visando métricas e requisitos não funcionais tais como consumo de energia, desempenho, custo, entre outros. Desta forma, tais sistemas geralmente demandam um projeto integrado de hardware e software. A figura 2.1 apresenta o fluxo simplificado do projeto destes sistemas. A concepção do sistema se inicia com as idéias do projetista, que são formalizadas através de uma especificação inicial do sistema que se deseja projetar. Esta especificação por sua vez já pode considerar aspectos de componentes de hardware e de software, tais como requisitos específicos, consumo de energia, tipo de alimentação do sistema, troca de dados com o

ambiente, etc. A partir desta especificação do sistema, uma fase de implementação do projeto é realizada, onde as funcionalidades especificadas são mapeadas em tarefas concorrentes, que podem ser implantadas em ambos domínios de implementação (hardware ou software). Este cenário apresenta uma série de soluções nas quais as funcionalidades são mapeadas no domínio de componentes dedicados de hardware, ou como tarefas sendo executadas em unidades de processamento, podendo existir inclusive, múltiplas unidades de processamento. A exploração deste conjunto de soluções para realizar o sistema é conhecido como exploração do espaço de projeto, e visa identificar a opção que realiza da melhor forma os requisitos não-funcionais definidos na especificação do sistema. Este processo produz um conjunto de artefatos em software, e possivelmente um projeto de hardware que combinados formam o sistema final. É claro que este processo, descrito de forma simplificada, não deve ser visto como um fluxo contínuo, uma vez que na prática, algumas etapas deste processo podem ser repetidas, como por exemplo, rever a especificação do sistema, ao constatar na etapa de exploração de projeto que as métricas desejadas não podem ser obtidas com a especificação atual.

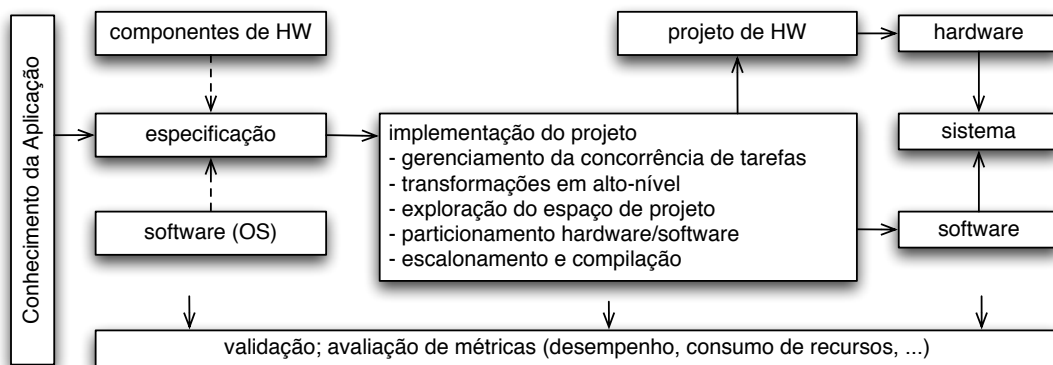


Figura 2.1: Fluxo simplificado do projeto de sistemas embarcados [1]

Uma das formas mais naturais de se reduzir o tempo de desenvolvimento de um sistema é através do reúso de artefatos necessários na sua construção. Neste sentido, é natural imaginar que possuindo um conjunto de componentes reutilizáveis, novos projetos possam ser executados aproveitando tais componentes que já estão implementados e validados. Neste sentido, metodologias de desenvolvimento baseado em

componentes guiam o projeto de sistemas através da composição de componentes reutilizáveis como uma forma de melhorar este processo [13, 14, 15].

Componentes podem ser considerados como artefatos independentes para a implantação de um sistema, permitindo a sua composição para gerar sistemas maiores. Para o efetivo uso de componentes na composição de sistemas, é fundamental o estabelecimento de uma infra-estrutura, que define regras de composição destes componentes, e principalmente a forma como estes se comunicam para colaborarem entre si no atendimento da funcionalidade apresentada pelo sistema que compõem.

Contudo, para o sucesso do uso de uma abordagem baseada em componentes na construção de sistemas é fundamental que estes possam ser efetivamente reutilizados em um sistema de forma ágil, isto é, possam ser agregados de forma fácil e através do mínimo de adaptações entre os mesmos.

Neste sentido, diversos grupos tem focado o seu estudo para o desenvolvimento de componentes que possam ser reutilizados no desenvolvimento de sistemas embarcados. No contexto do hardware, diversas contribuições promoveram avanços significativos no desenvolvimento de sistemas embarcados, como o desenvolvimento de Propriedades Intelectuais (IPs) [11], apontada como uma das técnicas promissoras no tratamento da complexidade de projeto de tais sistemas [16]. Apesar disto, o uso de IPs (praticamente) independentes, reutilizáveis e parametrizáveis [17, 18] apresenta limitações, como a sua independência arquitetural [19].

2.1 Projeto baseado em Plataformas

O desenvolvimento de sistemas baseados em plataformas ganhou importância devido a uma série de fatores que ocorreram na indústria de equipamentos eletrônicos. Entre esses fatores, Vincentelli destaca a desagregação da indústria de eletrônicos, uma forte pressão pela redução do tempo de projeto e um grande aumento dos custos de engenharia não recorrentes [8].

A desagregação da indústria de equipamentos eletrônicos em grande parte ocorre devido ao aumento da complexidade do projeto destes sistemas, o que re-

sulta em uma mudança de um mercado horizontal, no qual cada companhia atua em toda a cadeia da produção, para um modelo vertical no qual a companhia atua em segmentos específicos de acordo com suas competências [8]. Neste cenário, a integração é um fator crítico para o sucesso do projeto e desta forma é interessante o uso de metodologias que minimizem este fator de risco. O mercado também exerce uma grande pressão pela redução do tempo de projeto do produto, ao mesmo passo que estes estão se tornando cada vez mais complexos, justificando desta forma o uso de metodologias que favoreçam o reúso de artefatos, de forma a agilizar o processo como um todo. E por fim, o grande aumento dos custos de engenharia não recorrente agrega maiores riscos ao projeto de tais sistemas, uma vez que possíveis erros do projeto podem aumentar seu custo consideravelmente. Esse conjunto de aspectos influenciaram para que o volume de produção adquirisse uma importância ainda maior no projeto de sistemas eletrônicos, uma vez que grandes volumes de produção permitem que riscos maiores sejam assumidos durante a fase de projeto, dada a maior facilidade de retorno e pulverização dos possíveis custos de reengenharia.

O projeto baseado em plataformas (Platform-based Design - PDB) [8] surgiu como uma solução para tratar tais problemas e apresenta os seguintes princípios fundamentais:

- Sustentar um desenvolvimento do fluxo de projeto de forma economicamente viável. Isto ocorre através da delimitação do espaço de projeto pelo uso da plataforma, oferecendo uma relação de custo-benefício entre flexibilidade e tempo de projeto.
- Prover mecanismos para identificar pontos críticos de integração na cadeia de produção entre as diversas companhias envolvidas (projeto do sistema, projeto de circuitos integrados e produção de circuitos integrados), representando desta forma, pontos de articulação no processo de desenvolvimento.
- Eliminar custosas interações de projeto, pois promove o reúso de projetos em todos os níveis de abstração, permitindo que o mesmo seja realizado através de um pro-

cesso de montagem e configuração de componentes da plataforma de uma maneira ágil e confiável.

- Prover um *framework* intelectual para todo o processo de projeto eletrônico.

Vincentelli [2] apresenta o conceito de plataforma como uma abstração a partir da qual diversos passos de refinamento podem ser realizados, permitindo que esta seja especializada de acordo com os requisitos de uma dada aplicação. Tais refinamentos são caracterizados pela parametrização e configuração da plataforma, além da possibilidade desta agregar novos componentes. Basicamente, uma plataforma é uma base comum de hardware e software que permite a sua reutilização em um conjunto de projetos de sistemas embarcados. A especialização de uma plataforma para um determinado projeto de sistema embarcado é também conhecido como projeto derivativo. Uma vez estabelecido um projeto derivativo, este deve ser verificado para assegurar que a especialização da plataforma acomode adequadamente o sistema projetado, atendendo desta forma os requisitos especificados no projeto.

Esta base comum de hardware e software é composta por um conjunto de componentes e suas respectivas regras de composição. Uma instância da plataforma ocorre em cada camada de abstração como uma composição válida dos componentes que integram este conjunto. Além disto, cada componente deste conjunto é caracterizado de acordo com as funcionalidades que este provê assim como suas características em termos de desempenho.

Esta plataforma é definida, pelo lado do hardware, através de uma micro-arquitetura que constitui a estrutura básica dos componentes utilizados para realizar as funcionalidades que definirão o sistema. Tais funcionalidades são então abstraídas através de uma camada de software, geralmente denominada de sistema operacional. Este conjunto de hardware e software é então entregue ao programador da plataforma sob a forma de uma interface de alto-nível, conhecida como API (*Application Programming Interface*). No contexto de PBD, esta API constitui a plataforma de software a partir da qual o programa da aplicação é implementado. Esta API estabelece então uma interface comum para as diversas possíveis instâncias da plataforma, permitindo que a aplicação

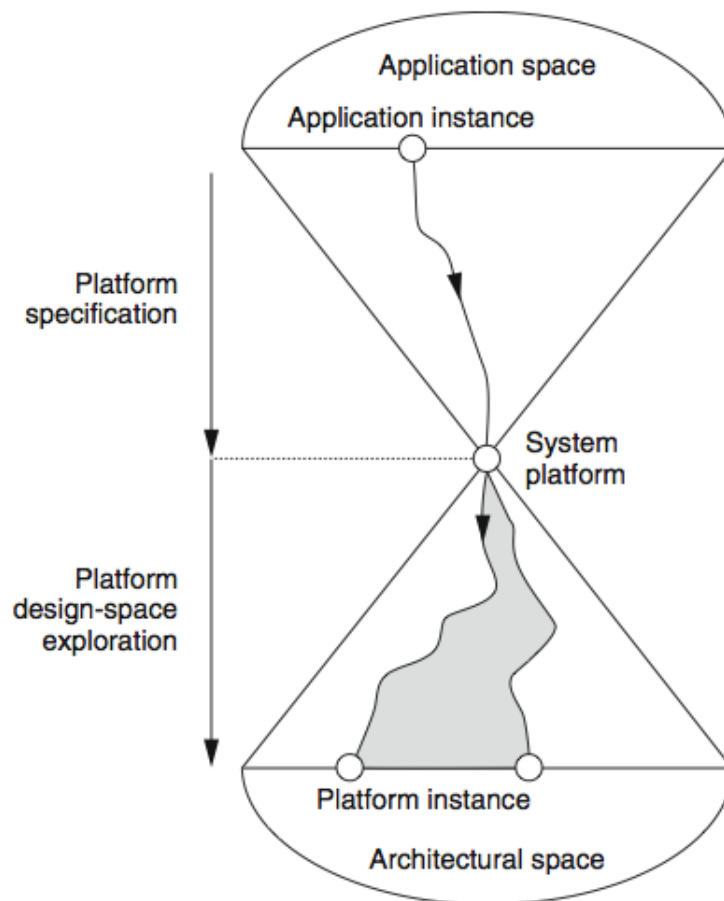


Figura 2.2: Plataforma do Sistema [2]

possa ser reutilizada independente das modificações realizadas na arquitetura do sistema durante o processo de refinamento da plataforma.

A figura 2.2 ilustra a conjunção da arquitetura de hardware e os serviços da API, constituindo então a plataforma do sistema. Desta forma, a concepção de uma determinada instância da plataforma consiste em um processo de refinamento sucessivo. Este refinamento é realizado através de duas abordagens. Por um lado, o domínio arquitetura da plataforma é explorado dentre as possibilidades de implementações a partir da sua micro-arquitetura, de forma que esta atenda aos requisitos da aplicação para a qual está sendo projetado o sistema. Por outro lado, a especificação da API de software consiste em identificar e selecionar os serviços desta interface que deverão compor o suporte

operacional à aplicação do sistema.

Uma proposta de *framework* que utiliza os conceitos de PDB é o Metropolis [20]. O Metropolis provê um *framework* para permitir a representação de componentes heterogêneos em sistemas embarcados. Para isto, Balarin [20] propõe a separação do processo de computação e da especificação da comunicação entre tais processos, isolando estes elementos. Desta forma, o Metropolis apresenta um meta modelo com uma semântica formal que representa a semântica dos modelos de computação e de comunicação em diferentes níveis de abstração. Basicamente, este modelo representa um conjunto de processos interconectados através de interfaces de comunicação que podem ser implementadas através de diferentes meios de comunicação. Através desta abordagem, refinamentos sucessivos são realizados, aumentando o nível de detalhamento, para guiar o projeto do sistema a partir de um alto nível de abstração para a sua efetiva implementação.

Outro trabalho baseado no uso de componentes é o projeto Ptolemy [21]. Este projeto foca na modelagem de sistemas através da composição de componentes heterogêneos, uma vez que estes são compostos de subsistemas que podem possuir características bem distintas entre as suas formas de interação, como chamadas síncronas e assíncronas, *bufferizada* ou não, etc. De forma a tratar esta heterogeneidade, Ptolemy propõe um modelo de estrutura e um *framework* semântico que suporta diversos modelos de computação, tais como *Processos de comunicação sequencial*, *Tempo Contínuo*, *Eventos Discretos*, *Rede de processos* e *Fluxo de dados síncronos*. Desta forma, sistemas podem ser compostos a partir de componentes modelados através do modelo de computação mais adequado. As ferramentas disponibilizadas pelo Ptolemy permitem a simulação do modelo e posterior geração de código a partir do mesmo. Desta forma, este ferramental constitui uma contribuição importante para o desenvolvimento de componentes para sistemas embarcados.

Enquanto grande parte das ferramentas existentes para o projeto integrado de hardware e software focam principalmente na co-simulação de hardware e software, através da construção de ambiente de prototipação virtual para a execução de projeto de software e verificação do sistema, PeaCE [22] propõe ser um ambiente de

co-design completo que pode ser utilizado desde a simulação funcional do sistema, até a sua síntese. O PeaCE é uma extensão do Ptolemy e é voltado para aplicações multimídia com restrições de tempo-real, especificando o comportamento do sistema através da composição heterogênea de três modelos de computação e visa explorar ao máximo as propriedades formais do modelo durante todo o processo de projeto.

Outra abordagem interessante para tratar a complexidade no desenvolvimento de sistemas embarcados é o uso de técnicas de engenharia guiada por modelos (*Model-Driven Engineering* - MDE). MDE propõe o desenvolvimento de sistemas computacionais, a partir de um processo de transformação de uma especificação baseada em modelos para a sua implementação. Segundo Schmidt [23], MDE é uma abordagem promissora para tratar do aumento de complexidade de plataformas.

Neste contexto, Wehrmeister [24] propõe o uso de técnicas de engenharia guiada por modelos e o uso de projeto orientado a aspectos em conjunto com o uso de plataformas previamente desenvolvidas para projetar os componentes de sistemas de tempo-real embarcados e distribuídos. Através do uso de projeto orientado a aspectos, Wehrmeister propõe a separação no tratamento de requisitos funcionais e não funcionais do sistema promovendo uma melhor modularização e reúso dos artefatos produzidos. Adicionalmente, Wehrmeister propõe uma ferramenta para realizar a geração de código, suportando a transição automática das fases de especificação e implementação. Esta geração é realizada através de um conjunto de mapeamentos entre as camadas de alto nível e as camadas mais baixas de abstração. Esta abordagem foca exatamente no mapeamento dos modelos em alto nível para implementações específicas da plataforma. Neste contexto, o mapeamento pode ser realizado de forma que a ferramenta trabalhe utilizando os componentes propostos nesta dissertação.

2.2 Computação Reconfigurável

Computação reconfigurável tem adquirido importância no cenário de desenvolvimento de sistemas embarcados. Por um lado, busca-se aproximar o desempenho de funções implementadas em hardware dedicado sem comprometer a flexibili-

dade oferecida pelo software [25]. Tais dispositivos, em especial, os FPGAs (*Field-Programmable Gate Array*), agregam um conjunto de elementos cuja funcionalidade é determinada através de um conjunto de bits de configuração, e que são conectados através de um conjunto de recursos que permitem a configuração do roteamento das suas entradas e saídas.

Tais elementos de lógica reconfigurável são implementados através de uma estrutura conhecida como LUT (*LookUp-Table*) e que representam a tabela-verdade de uma determinada função lógica. Esta tabela é implementada através de uma memória interna e um multiplexador que traduz as entradas para o elemento correspondente desta memória interna. A figura 2.3 ilustra a configuração da função lógica “ $y = (a \& b) | !c$ ” em uma LUT de 3 entradas [3].

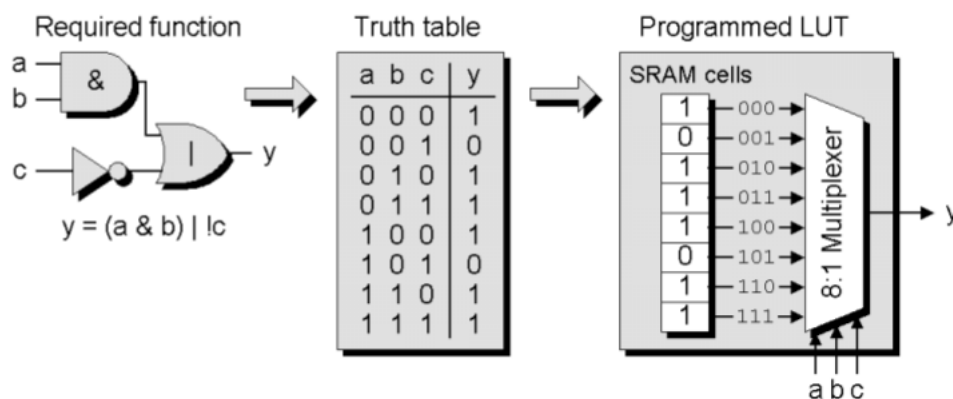


Figura 2.3: Configuração de uma LUT [3]

Desta forma, uma série de circuitos digitais podem ser mapeados em tais estruturas através do cálculo de suas tabelas-verdade. De fato, existem diversas variações na implementação deste blocos lógicos fundamentais da FPGA, assim como de sua organização estrutural e topologia de roteamento entre tais estruturas. A figura 2.4 ilustra de forma genérica a organização destes componentes. Um estudo detalhado sobre a organização e implementação física de tais dispositivos e sobre computação reconfigurável é apresentado por Compton, 2002 [25].

Tal como ocorre no processo de desenvolvimento de software, o de-

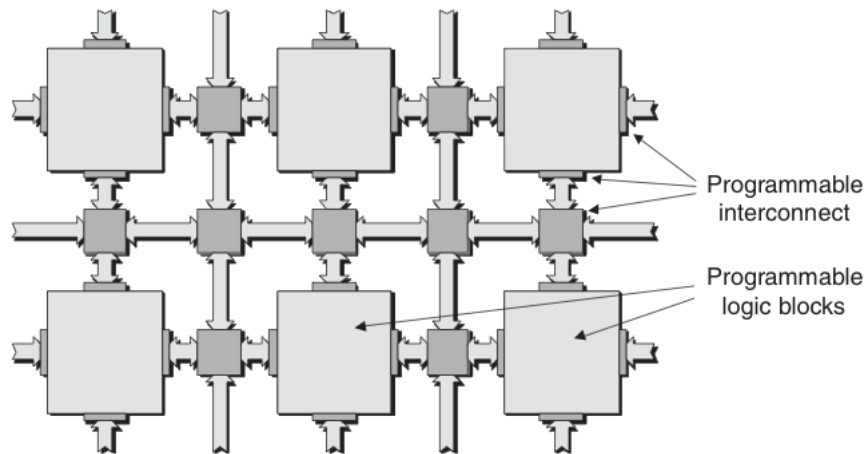


Figura 2.4: Arquitetura genérica de um FPGA [3]

envolvimento de um componente de hardware para ser instanciado em um dispositivo programável segue um fluxo de transformações entre uma descrição de alto-nível até chegar ao efetivo conjunto de bits de configuração do dispositivo utilizado (conhecido como *bitstream*). Inicialmente, uma linguagem de descrição de hardware é utilizada para descrever o circuito que se deseja implementar no dispositivo. Esta descrição alto nível pode então ser simulada de forma a verificar se a mesma atende aos requisitos especificados do circuito almejado. Uma vez validado, é feita a síntese desta descrição, através do uso de uma ferramenta específica que irá produzir uma espécie de “código-objeto”, que pode ser então mapeado nas estruturas presentes em um dispositivo reconfigurável específico, em um processo denominado “*place-and-route*” em alusão ao processo de alocar as diversas tabelas-verdades inferidas através do processo de síntese do circuito, nos respectivos blocos lógicos presentes no dispositivo (*place*) e rotear as entradas e saídas dos blocos de forma a corresponder com o circuito sintetizado (*route*).

Com a evolução destes dispositivos, e como uma forma de acelerar o desempenho dos mesmos, diversos blocos com funções especializadas foram sendo adicionados a arquitetura interna das FPGAs. Um exemplo claro são blocos específicos de memória. O uso de memória em circuitos lógicos digitais é frequente, contudo a sua implementação através das LUTs pode ser ineficiente em termos de utilização dos recur-

sos da FPGA. Toda a LUT possui um registrador *flip-flop* com o intuito de prover a sua saída de forma síncrona, e que pode ser utilizado como uma estrutura básica de memória, e embora realize uma implementação eficiente em termos de performance, o uso destes irá sacrificar os recursos disponíveis para a implementação de funções lógicas. Por isso grande parte das FPGAs disponibilizam blocos que implementam a função específica de memória (chamados de BRAM no caso da tecnologia utilizada pela empresa Xilinx [26]). Além disso é comum encontrar blocos que exercem funções específicas de processamento digital de sinais (DSP), tais como somadores e acumuladores, pois grande parte dos circuitos implementados através destes dispositivos são do domínio de processamento digital de sinais.

Mais recentemente, chips híbridos de FPGA surgiram no mercado. Estes agregam ao bloco de FPGA, dispositivos de hardware dedicado tais como processadores ou interfaces específicas de I/O, de forma a estender as funcionalidades da mesma. Exemplos são as FPGAs da família Virtex4 da Xilinx [27] que agregam um processador PowerPC 405, permitindo assim que componentes de hardware sejam instanciados na FPGA e interconectados ao PowerPC através da família de barramentos CoreConnect da IBM. De fato, diversos trabalhos tem sido direcionados para tratar a programabilidade destes componentes.

O projeto *HThreads* [28], propõe o uso do paradigma de programação concorrente (*Threads*) para o desenvolvimento de componentes independentes do domínio de sua implementação. Nesta abordagem, um componente pode ser especificado em uma linguagem de alto nível, no caso *C*, e através do uso de uma arquitetura baseada em chamadas POSIX, este componente pode ser executado tanto software em uma CPU de propósito geral como no domínio de hardware, através do uso de uma ferramenta de tradução de código para uma linguagem de especificação de hardware. Isto é possível através da especificação de uma interface em hardware denominada HWTI (*hardware thread interface*) que suporta uma API generalizada com a mesma semântica da biblioteca *pthread*, permitindo a passagem de tipos abstrato de dados entre componentes de hardware e software. Esta abordagem apresenta duas limitações: (1) a redução da expressividade da linguagem de alto nível de forma a viabilizar a sua tradução para

uma linguagem de descrição de hardware (HDL); e (2) a abstração do problema para o paradigma de programação concorrente pode não ser adequado aos requisitos dos componentes implementados, gerando em alguns casos um sobre-custo desnecessário.

O uso do projeto baseado em componentes para o projeto de plataformas SoC multiprocessadas é apresentado por [29]. Este trabalho propõe uma metodologia unificada para a integração automática de componentes pré-projetados e heterogêneos. Esta metodologia é utilizada por um fluxo de projeto, chamado ROSES [15], que visa a geração do hardware, software, e de interfaces funcionais dos subsistemas de forma automática, a partir de um modelo arquitetural do sistema.

Outra abordagem para tratar a comunicação de componentes em SoCs multiprocessados é baseada no paradigma de sistemas distribuídos para prover uma abstração unificada para os componentes em hardware e em software [30] fortemente inspirada nos conceitos de padronização para a comunicação entre objetos, tais como CORBA. Esta abordagem utiliza a geração de esquema de *proxy-skeleton* para prover a comunicação transparente entre componentes em ambos os domínios.

2.3 Projeto de Sistemas orientados à Aplicação

O Projeto de Sistemas Orientados à Aplicação (AOSD) é uma metodologia de engenharia de domínio que se baseia em uma estratégia bem definida de decomposição do domínio através do Projeto baseado em Famílias (FBD) e Orientação a Objetos (OO). Como exemplo, o uso de análise de variabilidade e semelhanças, permitem a identificação e separação do conceito de aspectos já nos estágios iniciais de projeto [4]. Desta maneira, a AOSD guia um processo de engenharia de domínio de forma a criar famílias de componentes nas quais as dependências relativas ao cenário de execução são fatoradas como aspectos e as relações externas entre tais componentes são capturadas em um framework. Desta forma, esta estratégia aborda de forma consistente diversas questões relevantes do desenvolvimento baseado em componentes:

Reusabilidade: Componentes tendem a ser reutilizáveis, na medida em que eles são pro-

jetados como abstrações de elementos reais de um determinado domínio e não como parte de um sistema único. Adicionalmente, o uso da abordagem orientada a aspectos permite que um mesmo componente seja adaptado a diversos cenários de execução distintos, através da aplicação de aspectos.

Gerenciamento de complexidade: a identificação e separação das dependências do cenário de execução, reduz, de forma implícita, a quantidade de componentes que necessitam ser projetados para representar uma variação no domínio que pode ser aplicada através de um aspecto. Hipoteticamente, um conjunto de 100 componentes poderiam ser modelados como um conjunto de 10 componentes que podem ser combinados com um conjunto de 10 aspectos através de um mecanismo de aplicação de aspectos. Desta forma, o mesmo conjunto de 100 componentes poderiam ser gerados, a partir de artefatos menores, o que melhora a manutenção destes artefatos.

Composição: através da captura das relações entre componentes por meio de um framework, a AOSD permite que a composição de componentes para a geração de uma instância de sistema seja realizada mais facilmente. O uso do framework também impõe limites aos erros de funcionamento que podem decorrer pela aplicação de aspectos a componentes pré-validados. Neste caso, modelos baseados em características (Feature-based design [31]) podem ser utilizados para modelar e capturar o conhecimento sobre a configuração do componentes e aspectos, tornando a tarefa de geração do sistema mais previsível.

A figura 2.5 ilustra os principais elementos da decomposição de domínio realizada pela AOSD. Entidades do domínio são capturadas como abstrações organizadas através de famílias e acessadas através de interfaces bem definidas. Tais abstrações são livres de dependências relacionadas ao seu cenário de execução, sendo que tais dependências são capturadas como aspectos. Fatores subsequentes capturam características configuráveis que podem ser reutilizadas através da família. As relações entre as famílias de componentes formam um framework. Cada um destes elementos são então projetados de acordo com as diretivas do Projeto orientado a Objetos (POO).

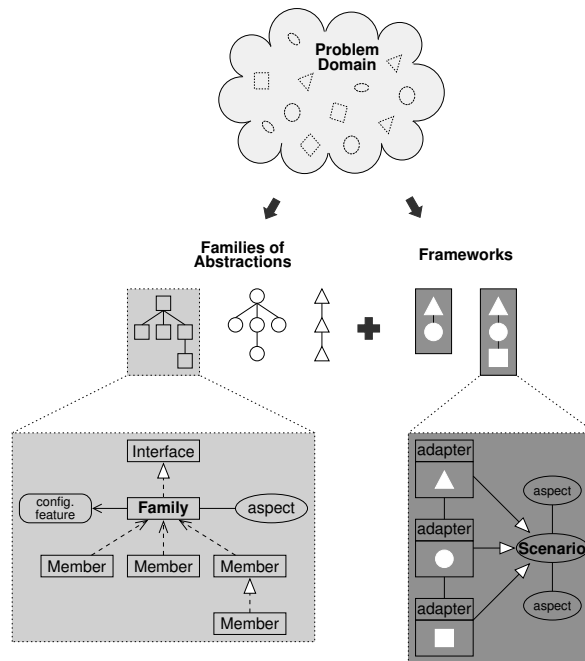


Figura 2.5: Visão geral da decomposição de domínio através da AOSD [4]

A portabilidade de tais componentes, e consequentemente de aplicações que os utilizam, entre diferentes plataformas de hardware é realizada através do artefatos de software chamado de *mediadores de hardware* que define um contrato de interface entre componentes de alto-nível (abstrações) e o hardware [32].

Os mediadores de hardware são implementados utilizando técnicas de Programação Gerativa ([33]) e desta forma, ao invés de criar uma simples camada de abstração do hardware, tais artefatos acabam adaptando a interface do hardware para a interface requisitada, através da agregação de código nos componentes que o utilizam. Como exemplo, imagine que um componente em hardware que já possui a interface desejada irá agregar pouco código aos componentes que o utilizam durante a geração do sistema. Por outro lado, quando um componente em hardware não apresenta toda a funcionalidade esperada, o seu mediador irá agregar código aos componentes que o utilizam de forma a suprir as funcionalidades que não são atendidas pelo hardware.

Apesar de inicialmente tais artefatos serem concebidos dentro da AOSD com o intuito de prover a portabilidade do sistema entre diferentes arquiteturas, os medi-

adores de hardware definem um tipo de componente híbrido de hardware e software, uma vez que diferentes mediadores podem existir para o mesmo componente em hardware, cada qual, projetado com uma série de objetivos específicos, como obter uma melhor performance em detrimento do consumo de energia, ou o inverso. Caso o sistema esteja sendo desenvolvido através de uma plataforma que possua dispositivos de lógica programáveis, a noção de componentes híbridos se torna ainda mais clara, uma vez que a combinação de mediadores poderia existir ainda com uma diferente combinação de hardware e software.

O intuito de se prover componentes híbridos para o desenvolvimento de sistemas embarcados é o de permitir que a melhor composição entre hardware e software seja utilizada no projeto, de forma a atender da melhor forma os requisitos do sistema. Geralmente essa melhor combinação entre hardware e software no sistema não é bem conhecida, o que leva as metodologias a adotarem técnicas de simulação de diversas opções para verificar a que melhor se enquadra nos requisitos do sistema. Este processo é conhecido como *exploração do espaço de projeto*. Desta forma, não basta apenas que os componentes híbridos sejam passíveis de serem implementados nos domínios de hardware e software, mas que o comportamento destes seja mantido independente do domínio de implementação do mesmo (hardware ou software), permitindo assim a migração entre ambos domínios, sem incorrer na re-engenharia do sistema.

O próximo capítulo apresenta a proposta deste trabalho, uma arquitetura para desenvolvimento destes componentes, de forma que estes mantenham o seu comportamento, independente de seu domínio de implementação viabilizando assim a sua livre migração entre os domínios de hardware e software.

Capítulo 3

Componentes Híbridos de Hardware e Software

Este capítulo apresenta a contribuição desta dissertação de mestrado, uma arquitetura de componentes híbridos de hardware e software, suportada pelos conceitos do Projeto de Sistemas orientados à Aplicação (AOSD). Inicialmente são apresentados os principais conceitos da AOSD que permitem o desenvolvimento desta arquitetura, assim com os aspectos de projeto destes componentes. Em um segundo momento, são apresentados os diferentes padrões de comunicação que os componentes devem respeitar, independente de sua implementação ocorrer em software ou em hardware.

3.1 Introdução

Dois aspectos são fundamentais para permitir a flexibilidade almejada para a arquitetura de componentes híbridos proposta. Inicialmente, os componentes provenientes desta arquitetura devem ser modelados de forma a permitir que estes isolem entidades representativas de seu domínio. Em outras palavras, é fundamental que estes componentes apresentem interfaces adequadas, e que estas sejam livres de um domínio de implementação (hardware ou software), permitindo a sua implementação em ambos domínios agregando o mínimo possível de *overhead*. O outro aspecto é relativo ao

comportamento desta interface para com seus clientes (componentes que a utilizam). Este comportamento deve ser respeitado independente do domínio de implementação, de forma que quem os utilize, não precise se adaptar a possíveis mudanças destes, preservando desta forma a transparência arquitetural do sistema. Os *mediadores de hardware* são artefatos concebidos através da AOSD que, embora inicialmente concebidos para garantir a portabilidade do sistema, apresentam tais características e, desta forma, constituem o principal artefato desta arquitetura de componentes híbridos.

Com o intuito de se garantir a portabilidade de abstrações de alto-nível, os *mediadores de hardware* definem uma interface uniforme de famílias de componentes que representam os elementos em hardware do domínio do sistema que se está modelando. Esta interface é fruto de um processo de engenharia de domínio, no qual não é analisado apenas um determinado sistema no projeto destes componentes, mas sim um conjunto extenso e representativo de sistemas do domínio em questão. Através deste processo, é possível identificar um denominador comum a todas as variações que este componente possa sofrer em um conjunto de aplicações representativas do domínio analisado.

De forma a demonstrar como o conceito de componentes híbridos emerge do conceito de mediadores de hardware da AOSD, apresenta-se um estudo de caso real do uso dos mediadores de hardware. Este estudo de caso consiste nos mediadores responsáveis pelo gerenciamento de processos no sistema EPOS. O EPOS é framework para a geração de sistemas embarcados, e é resultado direto da aplicação dos conceitos da AOSD.

No EPOS, o gerenciamento de processos é delegado às abstrações `Thread` e `Task`. A abstração `Task` corresponde às atividades definidas pelo programa da aplicação, enquanto que a abstração `Thread` representa a entidade que realiza tais atividades (fluxo de programa). Alguns dos principais requisitos e dependências destas abstrações do sistema estão profundamente relacionadas com a arquitetura do processador-alvo da aplicação, o qual é representado através de um mediador de hardware da família CPU. Por exemplo, o contexto de execução de um processo é composto pelos valores armazenados nos registradores do processador, e uma pilha de execução cuja estrutura é determinada pela especificação ABI (*Application Binary Interface*) da ar-

quitadura do processador. Esse detalhes são encapsulados no mediador CPU e escondidos das abstrações Task e Thread.

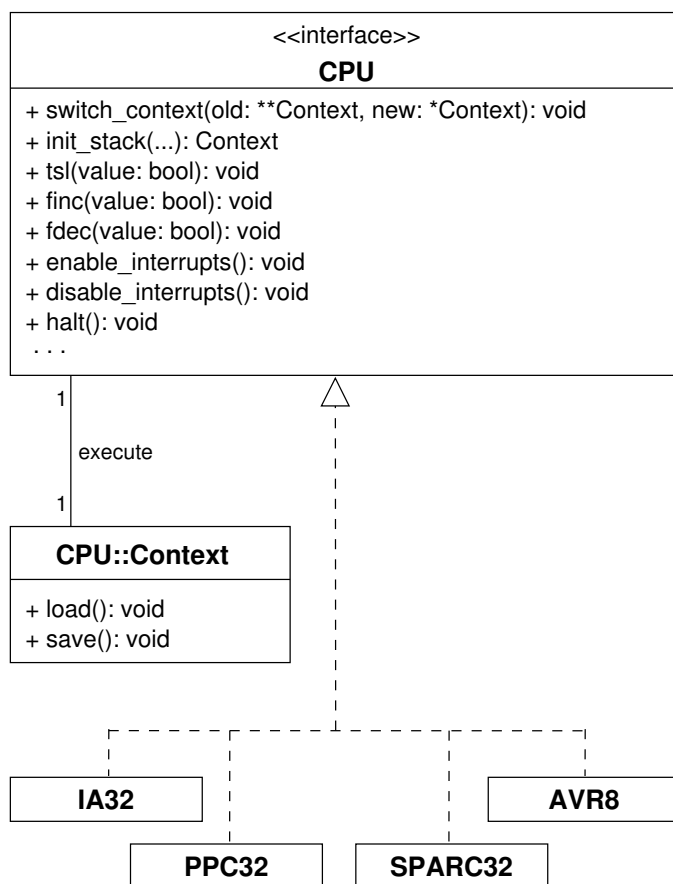


Figura 3.1: Visão geral da família de mediadores CPU

A Figura 3.1 ilustra os elementos da interface do mediador CPU. A classe Context, interna a classe CPU, define toda a estrutura interna de dados que necessita ser armazenado para cada fluxo de execução no sistema. Como esta a classe Context é definida internamente da classe CPU, a mesma é redefinida para cada nova especialização da classe CPU para a arquitetura em que se deseja executar o sistema. As abstrações Thread e Task simplesmente a utilizam como um componente “black-box”. O contexto de uma thread é representado através de um objeto que é armazenado dinamicamente em sua própria pilha. Um ponteiro para a localização atual deste objeto na pilha da thread é mantido como um atributo da Thread o qual é implicitamente atualizado a

cada execução do método `CPU::switch_context()`.

Outra dependência arquitetural do gerenciamento de processo é relacionado à inicialização da pilha de execução da thread. No EPOS, uma thread pode ser criada para executar uma função qualquer do programa (i.e. `Task`), independente do número e tipo de parâmetros que esta função possua, e também do fato que esta função deve invocar implicitamente uma chamada ao método `Thread::exit()`. De forma a suportar este modelo de programação, a pilha de execução da `Thread` criada deve ser pré-inicializada com os valores que devem ser repassados para a função que será invocada, assim como com o endereço de retorno que irá guiar a execução para o método `Thread::exit()` quando a função retornar. Contudo, compiladores para diferentes arquiteturas utilizam diferentes padrões para implementar os mecanismos de chamada de funções, e permitir que a abstração `Thread` manipule a pilha diretamente irá propiciar dependências arquiteturais indesejáveis. Para contornar este problema, o mediador `CPU` possui um método responsável por inicializar a pilha de acordo com a arquitetura selecionada. Este método utiliza técnicas de meta-programação estática para minimizar o *overhead* no sistema. A interação entre `Thread` e `CPU` é apresentada na figura 3.2, a qual ilustra os passos realizados durante a criação (passos 1.*) e escalonamento das threads (passos 2.*).

Os mediadores de `CPU` também implementam algumas funcionalidades para outras abstrações de sistema, tais como transações com travamento do barramento (*Test and Set Lock*) necessárias para a família de abstrações *Synchronizer* e funções de conversão do ordenamento de bytes (ex. *Host to Network* e *CPU to Little-Endian*) utilizadas pelos *Communicators* e dispositivos de E/S (Dispositivos `PCI`). O algoritmo de escalonamento de processos é manipulado pelo família *Scheduler*.

Com este exemplo em mente, é mais fácil imaginar a idéia de componentes híbridos de hardware e software através dos mediadores de hardware. Considere, por exemplo, que um processador *soft-core* possui transações com mecanismos de travamento para a leitura e escrita no barramento implementados como uma propriedade configurável do mesmo. Neste cenário, dois membros distintos da família de mediadores de hardware correspondente poderiam entregar os mecanismos de sincronização de processos através de software (mascarando interrupções) ou hardware e ainda assim pre-

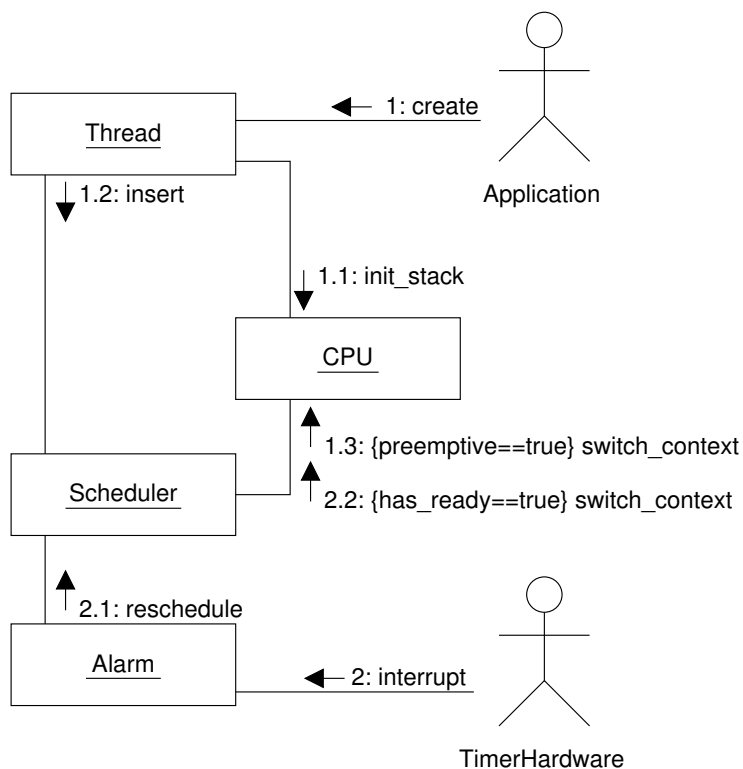


Figura 3.2: Diagrama UML de colaboração: Criação e Escalonamento de Threads

servar o contrato com a sua interface. Esses dois componentes podem então serem vistos como um único componente híbrido.

Exemplos de combinações mais sofisticadas podem ser vislumbradas para o componente `Scheduler`, o qual pode existir sob uma variedade de formas, incluindo, por exemplo, uma implementação mais direcionada para o hardware que consiste em temporizadores e filas implementadas em hardware, ou uma implementação mais direcionada para software que utiliza um temporizador externo (por exemplo, o `Alarm`, presente na figura 3.2), ou uma implementação mista com caches, temporizadores e políticas em hardware e fila em software. A figura 3.3 mostra o conceito de componente híbrido, ilustrando uma família composta por uma implementação em hardware (A), em software (C) e mista (B). A figura 3.3 apresenta uma notação específica para representar a configuração da implementação adequada do componente híbrido que será ligada a interface do componente. Isto é realizado através de uma propriedade configurável do sistema

(*Traits*) do sistema, que define qual implementação do componente será utilizada.

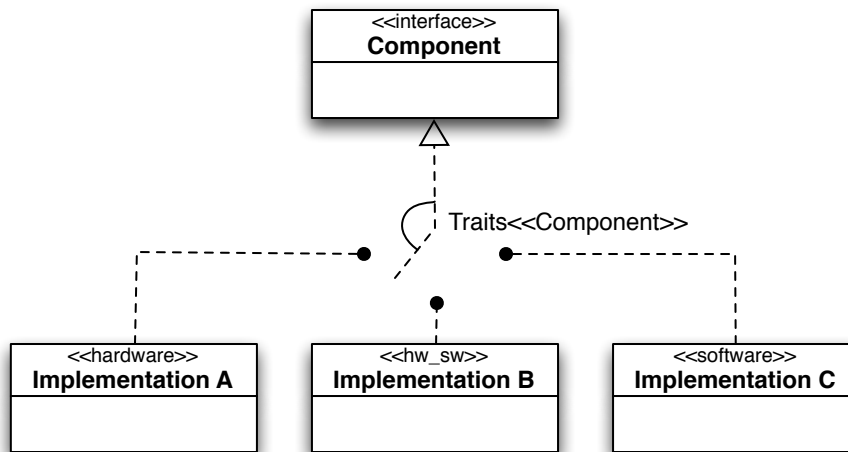


Figura 3.3: Modelo de componente híbrido

Outro aspecto fundamental para garantir que componentes híbridos possam migrar entre ambos domínios de implementação é a garantia de que o seu comportamento em termos temporais sejam respeitados independente do domínio de implementação do mesmo, garantindo assim uma transparência arquitetural para os componentes clientes. Analisando o comportamento dos serviços que podem ser fornecidos por um componente, três padrões de comportamento bem definidos foram identificados:

Síncrono: observado em componentes que realizam atividades apenas quando seus métodos são explicitamente invocados; O componente que requer o serviço é bloqueado até que a tarefa seja finalizada.

Assíncrono: São componentes que permitem que seu serviço seja executado de forma assíncrona. Seus métodos são invocados explicitamente, contudo eles não bloqueiam o componente cliente que solicitou o serviço enquanto o mesmo é executado; Nestes casos, mecanismos de geração de sinais e eventos no sistema são utilizados para notificar ao componente cliente, que sua requisição foi concluída.

Autônomo: São componentes assíncronos, contudo, seus serviços são executados, independentemente de ocorrer uma requisição por parte de seus clientes. Os serviços providos por este componente geralmente são ubíquos, ou geram eventos para notificar os clientes de seu estado interno.

A classificação comportamental dos componentes não é mutuamente exclusiva, ou seja, determinados componentes podem apresentar mais de um comportamento de acordo com a serviço que foi solicitado pelo cliente. Como exemplo, um componente predominantemente autônomo pode implementar serviços síncronos que fornecem informações sobre seu estado para um cliente que esteja reagindo a um evento gerado pelo mesmo. A seguir, os três padrões de comportamento são detalhados e é apresentado o modelo de comunicação na arquitetura proposta para cada um deles.

3.2 Componentes Síncronos

Grande parte dos componentes de software apresentam um comportamento síncrono, herança do fato do processador ser abstraído como uma máquina seqüencial. Um exemplo bem particular de componente síncrono é o *semáforo*, uma abstração para realizar a sincronização de processos. Os clientes que os utilizam (*Threads*), devem obrigatoriamente aguardar o retorno dos serviços deste componente pois a continuidade da execução da tarefa depende do resultado da execução destes serviços. Um diagrama de atividades UML deste componente é apresentado na figura 3.4.

No contexto de componentes híbridos, componentes síncronos podem facilmente ser migrados entre hardware e software, ou vice-versa. Quando tal componente é implementado em hardware, o seu mediador irá bloquear o cliente até que o hardware termine o serviço solicitado. Isto pode ser facilmente implementado pelo mediador através do método de “pooling” em um registrador de estado do hardware (mecanismo conhecido como “busy-waiting”) ou através da suspensão do fluxo de execução que está aguardando o serviço, que é reativado através de mecanismos de interrupção do hardware (mecanismo conhecido como “idle-waiting”). Este comportamento é representado na fi-

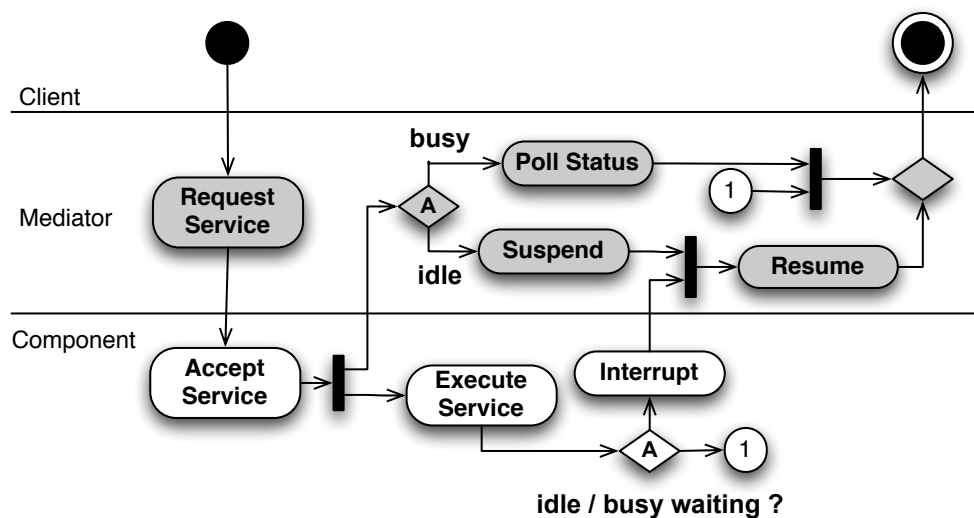


Figura 3.4: Diagrama UML de atividades: Componente Síncrono

Figura 3.4 através de um diagrama de atividades UML. No caminho contrário de migração de um componente, o comportamento síncrono é garantido através do próprio mecanismo de chamadas de métodos, que apresenta tal comportamento naturalmente.

3.3 Componentes Assíncronos

Componentes assíncronos recebem pedidos por seus serviços de forma explícita de um cliente, da mesma forma que componentes síncronos, contudo estes componentes não bloqueiam o cliente até que seu serviço seja terminado, permitindo que o cliente e o componente executem tarefas de forma concorrente. Exemplos típicos de comportamento assíncrono entre componentes incluem serviços que possuem dependência da ocorrência de eventos assíncronos (ex. recebimento de dados de uma rede de comunicação). Desta forma, é comum que componentes relacionados com a entrada de dados no sistema apresentem esse tipo de comportamento. Tradicionalmente, no domínio de software, o componente assíncrono notifica que o serviço foi concluído através de mecanismos de funções de retorno (callback) ou o uso de sistemas de tratamento de eventos

(ex. sinais do sistema UNIX).

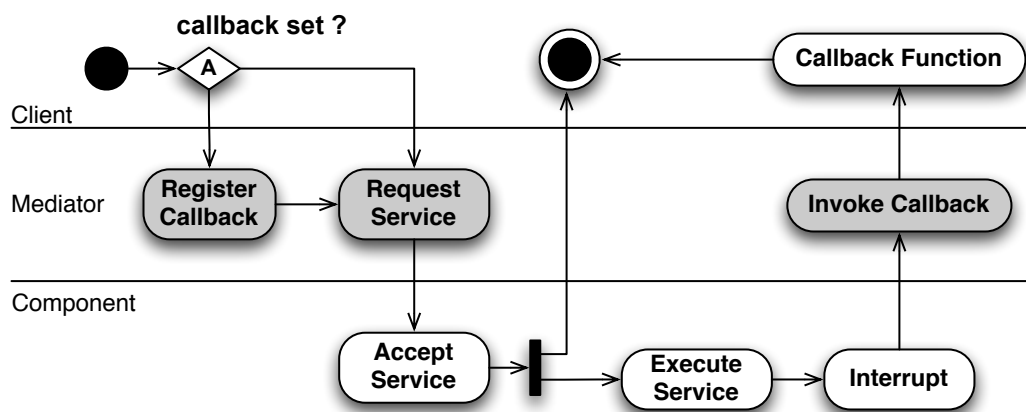


Figura 3.5: Diagrama UML de atividades: Componente Assíncrono

A figura 3.5 apresenta o diagrama UML de atividades destes componentes. O cliente inicia uma requisição, através do cadastro de uma função tratadora de eventos caso esta já não esteja cadastrado (através da inicialização prévia do componente) e então solicita o serviço ao componente. Esta etapa de solicitação do serviço merece destaque, uma vez que, por se tratar de um comportamento assíncrono, novas requisições podem chegar, durante a execução de uma requisição prévia, podendo o componente por sua vez, suportar o atendimento de múltiplas requisições. Uma vez que a solicitação é aceita pelo componente que provê o serviço o cliente então retorna ao seu fluxo de execução, enquanto que paralelamente o componente realiza a execução do serviço solicitado. No final da execução do serviço, o componente notifica o cliente de que o serviço foi finalizado, permitindo que o cliente possa processar o resultado do serviço solicitado.

A migração de componentes assíncronos do software para o hardware é realizada utilizando-se mecanismos de interrupção no componente em hardware. O componente cliente solicita o serviço através de seu mediador, que irá acionar o componente em hardware, verificando se a requisição foi aceita. Quando esta é aceita, o mediador retorna o fluxo de execução para o cliente, que irá continuar a sua execução enquanto o componente em hardware processa a requisição. Uma vez finalizada a requisição, o com-

ponente em hardware gera uma interrupção que irá acionar um tratador de seu mediador, responsável por acionar o mecanismo de chamada de retorno utilizada pelo sistema, de forma a notificar o cliente de que o serviço requisitado foi finalizado.

A migração de componentes assíncronos do hardware para software ocorre utilizando-se técnicas de programação concorrente. Desta forma, um componente ao aceitar uma requisição, cria um fluxo de execução, responsável por atender a mesma. Ao final da execução deste fluxo, o mecanismo de chamada de retorno é ativado para notificar ao cliente, a finalização da execução de sua requisição.

3.4 Componentes Autônomos

Componentes autônomos executam seus serviços de forma independente, sem necessitar de uma chamada explícita de um componente cliente. Um exemplo clássico é um escalonador de tarefas (*Scheduler*), assim como coletores de lixo ("*Garbage Collectors*"), e gerenciadores de energia. A atividade deste tipo de componente é guiada através de eventos, geralmente condicionados às trocas de seu estado interno. Por exemplo, um escalonador é geralmente guiado através de um temporizador, um coletor de lixo é dirigido pelo uso de temporizadores ou pela necessidade de se obter mais memória livre no sistema e gerenciadores de energia, são guiados pelo monitoramento das atividades no sistema combinada com o estado da fonte atual de energia.

A figura 3.6 apresenta o diagrama UML de atividade que representa o comportamento autônomo, ilustrando o laço de execução do serviço fornecido por este componente e seu sistema de eventos, responsável tanto por gerar eventos para terceiros, como também por receber eventos que notificam ao componente autônomo a modificação do estado do sistema. Além disto, componentes autônomos podem possuir uma fase de inicialização do componente no qual é feita a coleta de informações pertinentes do sistema para a execução do seu serviço associado. Além disto, um componente autônomo pode prover serviços que apresentam outro tipo de comportamento (síncrono ou assíncrono) para permitir que informações sobre o estado do sistema seja repassada para o seu comportamento autônomo. É o caso de um escalonador de tarefas, que implementa serviços

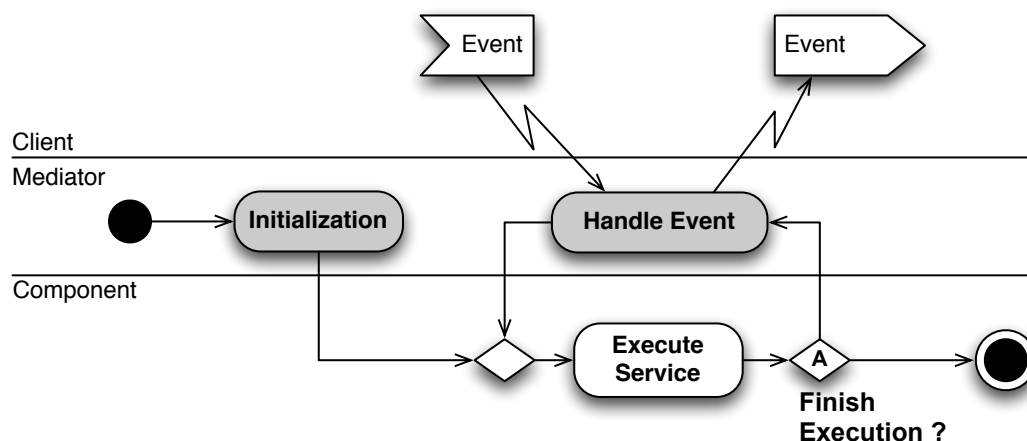


Figura 3.6: Diagrama UML de atividades: Componente Autônomo

síncronos para ser notificado sempre que o estado de uma tarefa é alterado entre suspenso ou apto a executar.

Neste cenário, componentes autônomos implementados em hardware são implementados através de redirecionamento de eventos para o mesmo, através de seu mediador de hardware, que irá receber os eventos destinados ao componente, e repassá-los ao hardware de acordo com a sua implementação (i.e. notificar através de um registrador mapeado em memória). Os eventos gerados pelo componente autônomo são criados também através do seu mediador, que os recebe do hardware através do mecanismo de interrupções. A implementação de componentes autônomos em software é realizada através de objetos ativos, ou seja, criando-se um fluxo de execução, que será escalonado juntamente com as outras tarefas do sistema, e irá acessar os mecanismos de gerenciamento de eventos do sistema.

3.5 Comunicação entre componentes híbridos

Um componente híbrido também podem atuar como cliente para outro componente (híbrido ou não), e desta forma, é necessário prover mecanismos para que o componente possa realizar essa chamada independente de sua implementação ser reali-

zada em software ou em hardware. Quando um componente híbrido está no domínio de software, a requisição de serviços é realizada através da chamada de métodos da interface do componente desejado, apresentando um comportamento de seu serviço de acordo com a descrição das seções anteriores.

Por outro lado, quando um componente híbrido está no domínio de hardware, a comunicação com outros componentes deve ser realizada por intermédio de seu mediador de hardware. Desta forma, quando este componente precisa requisitar um serviço, o mesmo é realizado através da geração de uma interrupção, que irá ser tratada por um método específico de seu mediador, responsável por identificar o serviço e requisitá-lo, da mesma forma que é realizada através do componente em software.

Neste cenário, quando um componente síncrono é requisitado pelo mediador de hardware do componente cliente, a execução de seu serviço ocorre durante o tratamento da interrupção gerada pelo componente em hardware.

Quando o componente requisitado é um componente assíncrono, a interrupção é retornada imediatamente após requisitar o serviço. Neste caso, o sistema de notificação da finalização do serviço é realizado por intermédio do mediador de hardware, que recebe a notificação e repassa ao componente em hardware (i.e. escrevendo em um registrador específico do componente).

Quando o componente requisitado é um componente autônomo, a própria interrupção do componente híbrido cliente é visto como um evento que será sinalizado ao componente autônomo.

Capítulo 4

Implementação de Componentes

Híbridos

Este capítulo descreve o conjunto de componentes híbridos que foram implementados ao longo deste trabalho de forma a validar a arquitetura proposta para o desenvolvimento destes componentes. Neste sentido, cada componente descrito nesta seção foi escolhido de forma a atender às três possíveis classes de comportamento descritas na seção 3.

4.1 Visão geral dos componentes

A implementação em hardware dos componentes desenvolvidos neste trabalho apresenta um arquitetura interna de implementação comum, e desta forma, suas características serão apresentadas a seguir. A figura 4.1 apresenta os blocos internos destes componentes. Cada componente implementado pode ser dividido em um bloco que realiza o controle da execução dos serviços solicitados, uma memória interna, responsável por armazenar os dados internos do componente, um bloco responsável por realizar a alocação dos recursos internos do componente, assim como uma interface para acessar os serviços dos componentes baseada no uso de registradores para a passagem de dados e sinalização de comandos.

Desta forma, a controladora é responsável por monitorar os registradores da interface e executar os comandos que são passados pela interface, ativando os blocos em hardware (*serviço 1..n*) que implementam a funcionalidade do componente. Uma vez que este serviço é finalizado, eventuais dados de saída do serviço são repassados através de registradores de saída de dados.

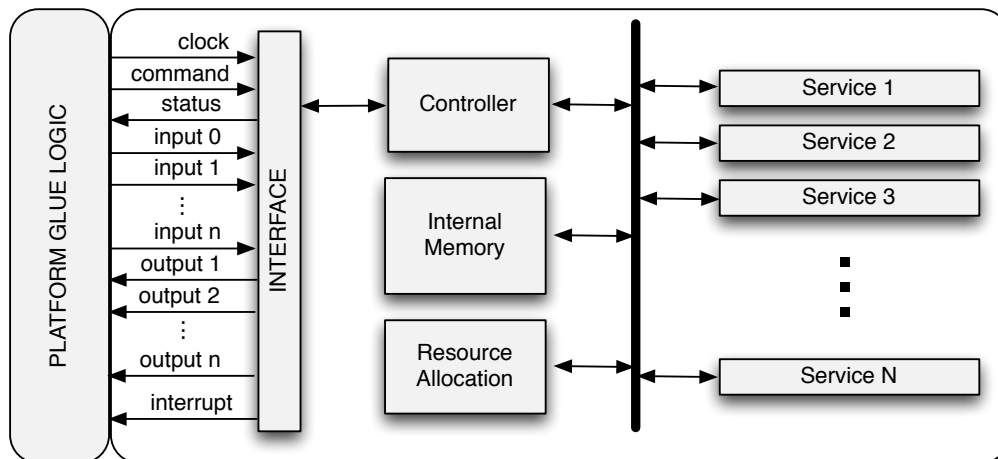


Figura 4.1: Blocos internos dos componentes em hardware

A implementação de um componentes híbrido pode suportar múltiplas instâncias do componente, de uma forma análoga a distinção realizada no paradigma de orientação à objetos entre os conceitos de classe e objeto. Desta forma, a memória interna do componente é responsável por armazenar os dados que são encapsulados em cada instância do mesmo (ex. valor de um semáforo). Esse recurso precisa ser gerenciado de acordo com a disponibilidade do mesmo durante a execução do sistema, permitindo que uma nova instância do componente seja criada apenas quando há recursos disponíveis. O bloco *Alocação de Recursos* é responsável por este gerenciamento, e foi implementado através do uso de um algoritmo de alocação de recursos baseados em bitmaps.

A figura 4.2 apresenta o circuito lógico implementado para verificar a existência de recursos disponíveis no componente. Basicamente este circuito é composto por uma cadeia de portas lógicas “OU” associadas a cada bit do bitmap. Ao final desta cadeia de portas lógicas, se tem o valor lógico do sinal que indica se existem ou não

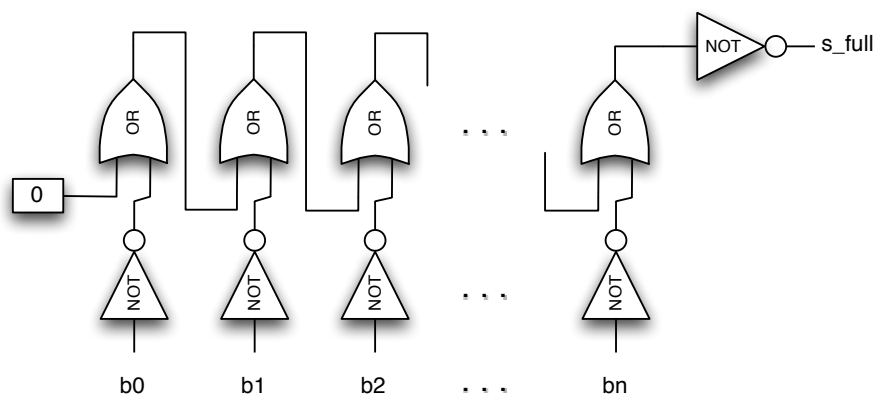


Figura 4.2: Circuito de lógica do alocador de recursos

recursos disponíveis para serem alocados (sinal s_full).

Uma lógica, mais complexa, realiza a identificação de qual posição no bitmap está disponível para uso, e armazena esta informação em um registrador interno, que é utilizado quando há a necessidade de se alocar o recurso. Esta lógica também é atualizada sempre que o bitmap é atualizado, de forma que esta informação já esteja disponível quando uma nova alocação deve ser feita.

A integração de todos os componentes foi realizada através do uso de chips híbridos da Xilinx que combinam um processador de alto desempenho com uma FPGA, para a implementação de componentes em hardware. Maiores detalhes sobre a plataforma utilizada são apresentados na seção 5. Do ponto de vista de implementação, para realizar a integração dos componentes implementados com o processador da plataforma, no caso um PowerPC, foi utilizado a arquitetura de barramentos CoreConnect da IBM [34], por ser a arquitetura utilizada pelo PowerPC presente na plataforma de testes. A arquitetura CoreConnect, utiliza uma hierarquia de barramento em dois níveis, o PLB (*Peripheral Local Bus*), utilizado para componentes que necessitam de uma largura de banda larga, para melhor desempenho (ex. memória) e um barramento escravo ao PLB, chamada OPB (*On-chip Peripheral Bus*) para a conexão de periféricos que demandam uma largura de banda menor e não possuem uma comunicação intensa com o processador. A figura 4.3 apresenta a hierarquia de barramento utilizada na integração dos componentes implementados na plataforma da Xilinx.

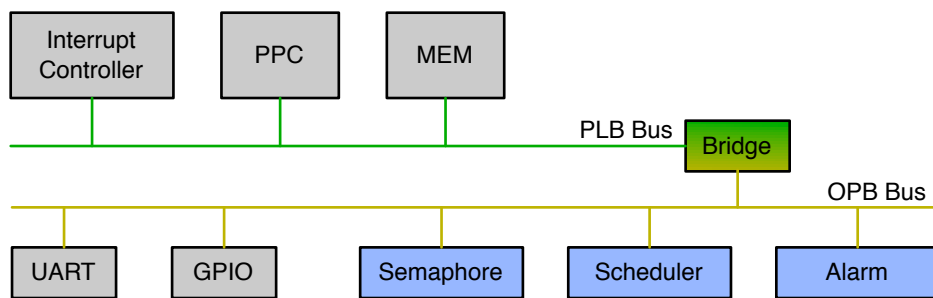


Figura 4.3: Hierarquia de barramento utilizada na implementação dos componentes híbridos

A seguir, serão apresentados os componentes implementados, destacando-se o projeto dos mesmos, e suas particularidades em termos de implementação.

4.2 Semáforo

O semáforo é uma abstração utilizada para a sincronização de processos representando uma variável inteira que pode ser acessada apenas através de duas operações atômicas: p (do verbo em holandês *proberen*, testar) e v (do holandês *verhogen*, incrementar). Esta variável representa o “número de vagas” disponíveis em um recurso compartilhado entre diversos processos. À cada operação $p()$, é verificado se há vagas para que o processo possa acessar o recurso, caso a vaga exista, a chamada do método $p()$ retorna e o processo acessa o recurso, caso contrário, o mesmo é bloqueado até que haja vagas para que o processo acesse o recurso. No EPOS, esta abstração é realizada pelo membro `Semaphore` da família de componentes `Synchronizer`, a qual é ilustrada na figura 4.4. É importante ressaltar que esta figura apresenta a notação de realização parcial de uma interface, característica presente no conceito de interface inflada, presente na AOSD [4].

Uma vez que esta abstração é claramente utilizada em um ambiente onde há concorrência entre processos, e que a variável interna do semáforo por sua vez

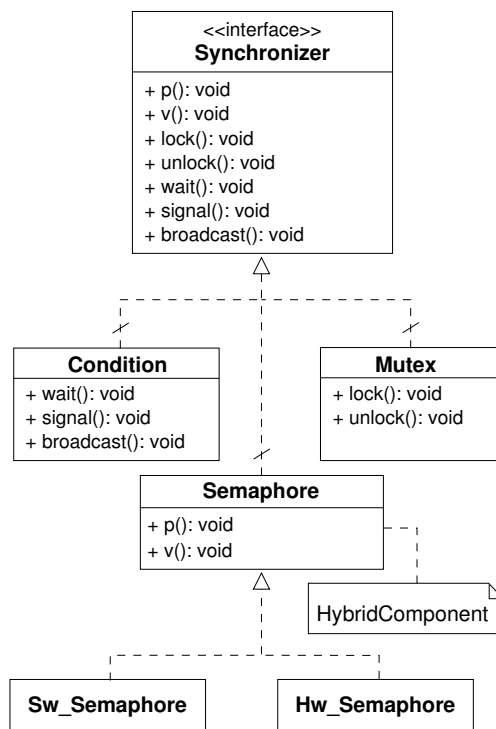


Figura 4.4: Família de componentes de sincronização do EPOS.

também é um recurso compartilhado entre os processos, o seu acesso deve utilizar mecanismos que permitam o acesso atômico a esta variável, o que inclui transações com o travamento do barramento quando disponíveis, ou desativar a ocorrência de interrupções da CPU, caso não haja o suporte em hardware para realizar o acesso atômico. Cada semáforo também possui uma fila de processos que estão suspensos, aguardando a liberação do recurso, para poder prosseguir com a sua execução.

A realização deste componente em software segue o uso das técnicas tradicionais, utilizando as instruções para o acesso atômico à variável interna quando disponíveis ou através do mascaramento de interrupções. Além disso, cada semáforo possui uma fila para gerenciar os processos que estão bloqueados, aguardando a liberação do recurso protegido pelo semáforo. Esta fila é realizada através de uma implementação tradicional utilizando uma lista ligada.

Sua implementação em hardware inclui desta forma a implementação de filas em hardware. Um diagrama de blocos da implementação do semáforo é ilustrado

na figura 4.5.

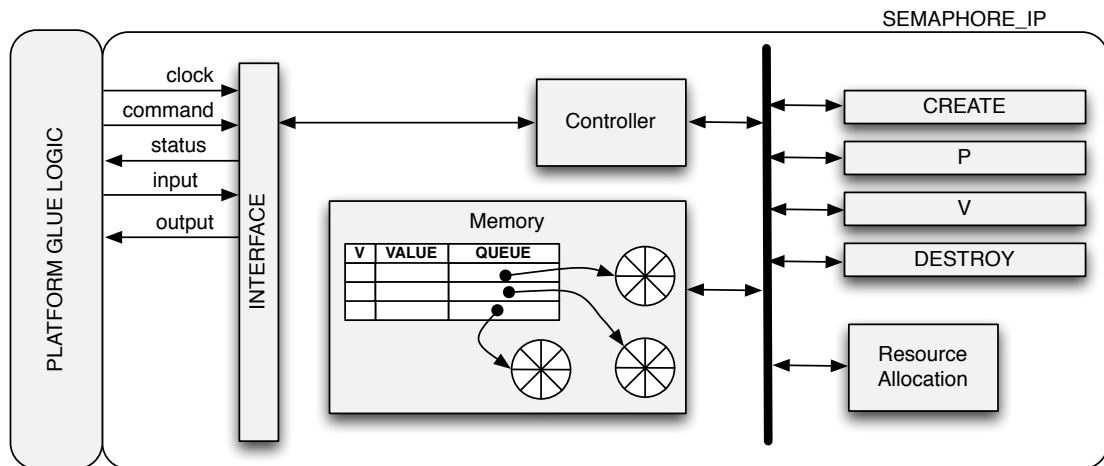


Figura 4.5: Diagrama de blocos do componente semáforo em hardware.

Basicamente, o IP possui uma memória interna que armazena o valor do semáforo e um conjunto de ponteiros para a fila de processos bloqueados no semáforo. Uma vez que os recursos para sintetização de áreas de memória nas FPGAs é limitado, o número máximo de semáforos que podem ser instanciados em hardware é limitado, assim como o número máximo de processos que podem ser bloqueados em cada semáforo. Desta forma, estes valores devem ser configurados de acordo com as necessidades da aplicação que irá utilizar este componente. Essa configuração é feita em tempo de compilação do sistema, através das configuração dos componentes selecionados para geração do sistema.

Quando um semáforo é criado, o componente realiza uma busca na memória interna, afim de alocar uma posição de memória livre. Caso a operação seja bem sucedida, o semáforo é inicializado e seu identificador (`id`) é retornado de forma que seu mediador possa utiliza-lo como referência em chamadas de comandos subseqüentes (ex.: `p`, `v`, e `destroy`). Quando uma operação `p` é executada, além de repassar o identificador do semáforo envolvido na operação pelo registrador de comando, o cliente necessita repassar um ponteiro para o identificador do processo que está executando o comando. Isto é feito através do registrador de entrada (`input`). Estas informações são então repas-

sadas ao IP do semáforo através das portas de *command* e *input* respectivamente. Caso a operação torne o valor do semáforo negativo, o ponteiro para o identificador do processo é armazenado na fila correspondente ao semáforo e um bit de sinalização é configurado no registrador de status, que irá indicar ao mediador que o respectivo processo deverá ser bloqueado. Desta forma, o mediador de hardware pode invocar o respectivo método do escalonador. Após isso, assim que uma operação v for invocada, esta irá verificar a existência de um processo aguardando por este semáforo e assim irá sinalizar ao seu mediador, através do registrador de status, que o processo deve ser resumido (o ponteiro para o processo que precisa ser resumido é repassado através do registrador de saída de comando (*output*)).

4.3 Escalonador

O componente “escalonador” é responsável por gerenciar o acesso um recurso compartilhado através do tempo, definido a prioridade com que este recurso é acessado por seus utilizadores. Tradicionalmente, o escalonador é utilizado para gerenciar o recurso CPU entre as diversas tarefas, contudo seu uso não está limitado apenas a esse tipo de recurso, podendo ser utilizado para escalar requisições de I/O, tais como acesso a dispositivos de armazenamento. A modelagem apresentada nesta seção de fato permite que este componente seja utilizado em ambos os cenários, sendo que, para isto, o componente escalonador foi modelado utilizando técnicas de programação gerativa. No escopo deste trabalho, a modelagem apresentada irá considerar o uso do escalonador para o gerenciamento de tarefas do sistema, em especial, sistemas de tempo-real.

O processo de análise e modelagem do componente escalonador iniciou com a realização do processo de engenharia deste domínio, de acordo com a AOSD, de forma a identificar as principais semelhanças e diferenças entre os conceitos do domínio, viabilizando desta forma a identificação das entidades que compõem o domínio de escalonamento de tempo real. A figura 4.6 apresenta o modelo de classes destas entidades.

Neste modelo, as tarefas são representadas através da classe `Thread`, que define o fluxo de execução da tarefa, implementando as funcionalidades tradicionais

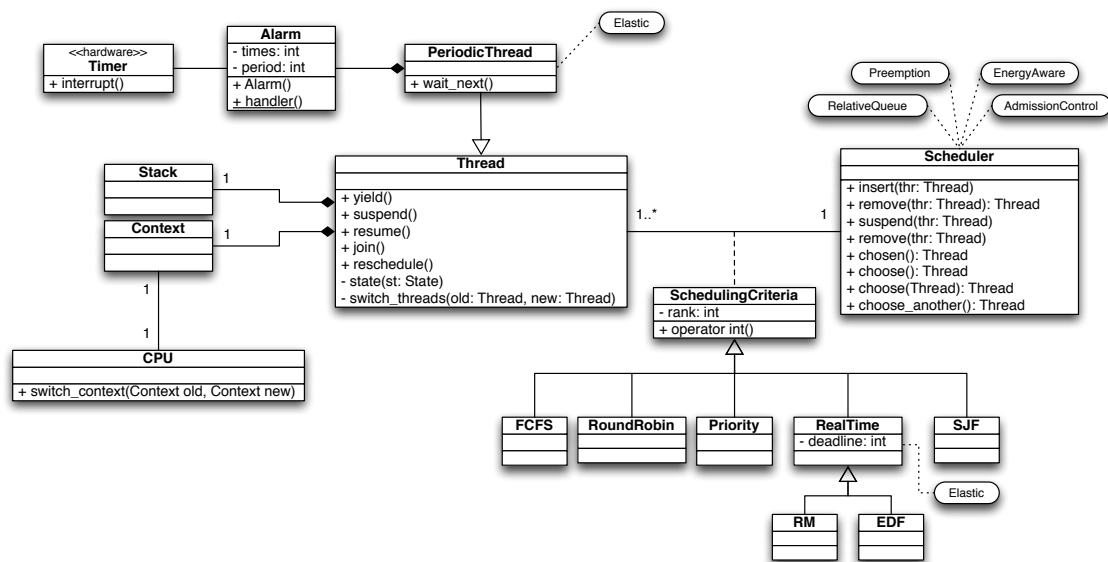


Figura 4.6: Modelo proposto para escalonadores de tarefas

deste tipo de abstração encontrada na literatura. Esta classe também atende apenas aos requisitos de tarefas aperiódicas. A definição de uma tarefa periódica é realizada através de uma especialização da classe `Thread` que agrega a esta, mecanismos para a re-execução do fluxo de forma periódica, através do uso da abstração `Alarm`, responsável por reativar a tarefa sempre que um novo período se inicia. A classe `Alarm` por sua vez utiliza um `Timer` que irá fornecer o gerenciamento da passagem do tempo para o `Alarm`.

As classes `Scheduler` e `SchedulingCriteria` definem a estrutura para realizar o escalonamento das tarefas. Neste ponto é importante ressaltar uma das principais diferenças entre as abordagens tradicionais de modelagem de escalonadores, que geralmente apresentam uma hierarquia de especializações de um escalonador genérico, de forma a estendê-lo para outras políticas de escalonamento. De forma a reduzir a complexidade de manutenção do código, geralmente ocasionada pelo uso de uma hierarquia complexa de especializações, assim como promover o reúso de código, separou-se do escalonador a sua política de escalonamento (critério) de seu mecanismo (implementação de filas). Esta separação é decorrência do processo de engenharia de domínio que permitiu identificar os aspectos comuns a todas as políticas

de escalonamento, permitindo a separação destes aspectos (contidos no componente `Scheduler`) da caracterização de tais políticas (suas diferenças, expressas no componente `SchedulingCriteria`).

Esta separação entre o mecanismo e a política de escalonamento foi fundamental para a construção do escalonador em hardware. De fato, o escalonador em hardware implementa apenas o mecanismo de escalonamento, que realiza a ordenação das tarefas baseado na política selecionado. Isto permite que o mesmo componente em hardware seja utilizado independente da política de escalonamento que foi selecionada.

A separação do mecanismo de escalonamento e a sua política é realizada através da separação do algoritmo de ordenamento e o mecanismo de comparação entre os elementos que compõem a lista do escalonador. Desta forma, cada política de escalonamento pode definir a maneira como os elementos serão ordenados na respectiva fila, caracterizando assim a mesma.

Adicionalmente, durante o processo de análise e de engenharia de domínio foi identificada uma série de características que, segundo a AOSD, definem propriedades configuráveis de seus componentes. De fato, tais características representam pequenas variações de uma entidade do domínio que podem configuradas, de forma a alterar de forma sutil o comportamento do mesmo. Dentre tais propriedades configuráveis, foi identificada a característica do escalonamento ser preemptivo, que quando acionada, permite que o componente escalonador interrompa uma tarefa de menor prioridade quando uma de maior prioridade está apta para ser executada. Controle de admissão das tarefas, assim como a consideração de parâmetros de consumo de energia podem ser ativados no escalonador, de forma a permitir que o mecanismo realize também políticas de qualidade de serviço (QoS) [35].

Outra característica identificada é relativa aos escalonadores que precisam alterar propriedades do modelo de tarefas utilizado. Algoritmos de escalonamento elástico (como o *elastic task model* [36]), consistem de fato em permitir que o período das tarefas periódicas possam ser aumentados, caso a taxa de utilização da CPU esteja alta, e depois restaurados. Essa característica é modelada como uma propriedade configurável aplicável aos `SchedulingCriteria` relativos a tarefas periódicas, assim

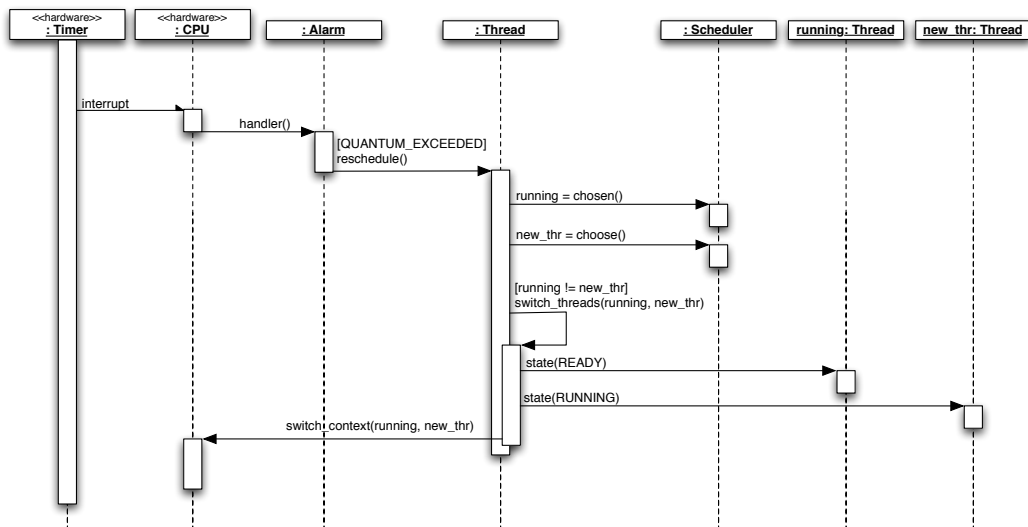


Figura 4.7: Diagrama UML de seqüência do re-escalonamento de tarefas.

como a classe `PeriodicThread`, habilitando assim as funções para alterar a periodicidade ou outra propriedade das tarefas, uma vez que a política de escalonamento a solicite. Desta forma, mesmo algoritmos complexos podem ser suportados e adaptados sem exigir especializações de classes que complicariam o projeto.

De forma a ilustrar as interações entre os componentes envolvidos no escalonamento de tarefas, a figura 4.7 apresenta a interação dos componentes durante o re-escalonamento ocorrido quando a fatia de tempo concedida para a tarefa em execução termina. Neste contexto, o `Timer`, é responsável por gerar interrupções periódicas, que são contadas pelo `Alarm`. Quando o estouro da fatia de tempo concedido a tarefa atual é expirado, o `Alarm` invoca o método da classe `Thread` para solicitar o re-escalonamento das tarefas. Este por sua vez irá verificar qual é a tarefa atualmente em execução, assim como invocar o método `choose()` do `Scheduler`. Este retorna um ponteiro para a tarefa que deve ser executada. Neste ponto é realizada uma verificação para identificar se é necessário realizar uma troca de contexto de execução para uma tarefa de maior prioridade. Caso a troca seja necessária, os estados das tarefas envolvidas no processo são atualizados e uma troca de contexto é realizada na `CPU`; caso contrário o processo finaliza, mantendo a tarefa atual em execução.

As próximas subseções apresentam os detalhes de implementação do componente `Scheduler`, assim como as políticas de escalonamento implementadas através das `SchedulingCriteria`.

4.3.1 Escalonador em software

A implementação do escalonador em software segue o modelo tradicional de lista. Esta lista pode ser configurada para ser implementada utilizando uma ordenação convencional de seus elementos, assim como uma ordenação de forma relativa, no qual cada elemento armazena o seu parâmetro de ordenamento na fila pela diferença deste com o elemento anterior a ele na fila, ou seja, seu parâmetro será sempre relativo ao elemento anterior, e assim por diante. Esta estrutura se torna especialmente interessante na implementação de políticas que possuem o seu ordenamento influenciado pela passagem do tempo, como o algoritmo EDF, por exemplo. Uma vez que o tempo é sempre crescente (como o *deadline* absoluto, critério utilizado pelo EDF), a utilização de uma lista convencional tradicionalmente usada invariavelmente resultará num estouro do limite das variáveis após tempo suficiente (o que pode ser de algumas horas, dependendo da frequência, num microcontrolador de 8 bits). Uma lista relativa, nesses, casos, eliminaria esse problema. De forma a ilustrar com mais clareza essa questão considere a figura 4.8. Esta figura demonstra o comportamento da fila de escalonamento relativo após alguns eventos conforme será explicado.

Considere o escalonamento EDF, e as seguintes tarefas possuindo os *deadlines*: T1 - 10 ut, T2 - 15 ut e T3 - 23 ut, sendo *ut* a abreviação de unidade de tempo. A figura 4.8(a) apresenta a fila de escalonamento no momento em que as três tarefas são ativadas. Nesta situação, a cabeça da fila apresenta o seu *deadline* atual, e os demais elementos armazenam o seu *deadline* relativo ao elemento anterior. Desta forma, o seu *deadline* efetivo é a soma dos valores armazenados em todos os elementos anteriores a ele. A cada ocorrência de uma unidade de tempo, o *deadline* de todos os elementos são atualizados, contudo, por se tratar de uma fila relativa, para realizar essa atualização, bastar decrementar o valor do cabeça da fila, uma vez que o valor dos elementos seguintes

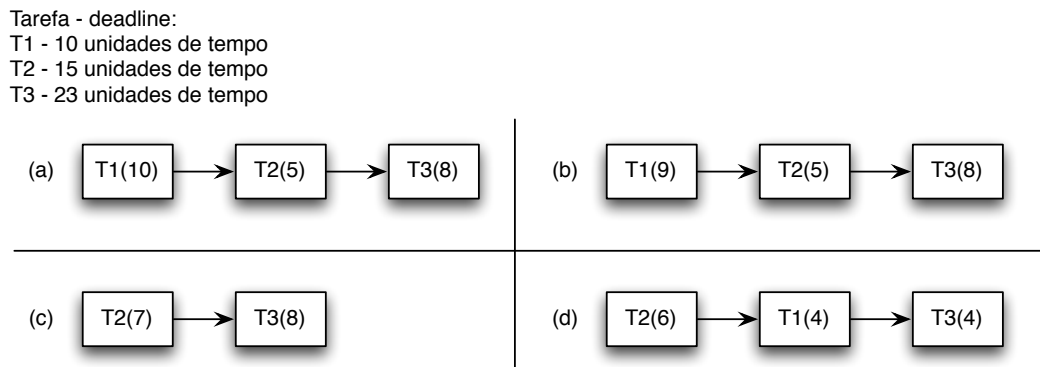


Figura 4.8: Funcionamento da fila de escalonamento relativo.

estão todos ajustados em relação a este. A figura 4.8(b) apresenta a fila após a passagem de uma unidade de tempo.

Quando a tarefa termina, esta é então retirada da fila e o seu *deadline* remanescente é acrescentado ao próximo elemento de forma a manter a coerência dos valores na fila. A figura 4.8(c) apresenta a fila de escalonamento quando a tarefa T1 encerra a sua execução, após 8 unidades de tempo, desta forma, o saldo existente pela sua conclusão antes do *deadline* é adicionado ao próximo elemento da lista. Neste sentido, possíveis perdas de *deadline* são sinalizadas quando uma tarefa conclui e o seu valor na fila de escalonamento é negativo. A figura 4.8(d), mostra a situação da fila de escalonamento quando a tarefa T1 é reativada. Note que neste momento a T2 possui um *deadline* relativo de 6 unidades de tempo e, por isso, segundo o algoritmo EDF, tem prioridade de escalonamento. Desta forma a tarefa T1 é inserida entre a tarefa T2 e T3, ajustando os valores destes elementos da lista para manter a coerência da mesma.

Independente do uso de filas relativas ou convencionais, o critério utilizado pelo algoritmo de ordenamento da fila é realizado pelo `SchedulingCriteria`. De forma geral, este componente pode ser visualizado como uma especialização do tipo inteiro que define o ordenamento da fila, e possui seus operadores aritméticos e de comparação sobrecarregados, de forma a estabelecer políticas mais complexas de ordenamento. Por exemplo, no caso de algoritmos multifilas, a `SchedulingCriteria`

pode encapsular dois parâmetros de ordenamento: a identificação da fila e a prioridade do elemento dentro desta fila, além de sobrecarregar o operador de comparação menor-igual (\leq) para que ambos os parâmetros sejam avaliados durante a comparação entre dois elementos, durante a sua inserção ordenada no mecanismo de escalonamento. O uso de sobrecarga de operadores mantém o projeto elegante e provê suporte adequado a algoritmos mais complexos.

4.3.2 Escalonador em hardware

O diagrama de blocos lógico do componente `Scheduler` implementado em hardware é apresentado na figura 4.9. Este componente implementa uma lista ordenada de elementos que é armazenada em uma memória interna do componente. Um módulo controlador (`Controladora`) é responsável por interpretar os dados recebidos pela interface do componente em hardware e invocar o processo correspondente com a funcionalidade requisitada (através do sinal de `command`, da interface). Esta implementação, tal qual a implementação em software realiza a inserção de elementos na fila de escalonamento de forma ordenada, ou seja, a fila é sempre mantida ordenada, de acordo com as informações contidas no `SchedulingCriteria`. Internamente a este componente, uma lista-ligada duplamente encadeada é implementada.

É importante ressaltar dois aspectos da implementação deste componente devido a restrições inerentes de sua implementação em hardware, em específico com o foco em dispositivos de lógica programável. Ambos aspectos são relacionados à restrição de recursos provenientes deste meio. Idealmente um escalonador em hardware deveria explorar ao máximo o paralelismo inerente deste, contudo, o custo pela exploração máxima deste paralelismo em termos de consumo de recursos da FPGA se torna extremamente alto, principalmente na implementação da comparadores paralelos de forma a realizar a busca de elementos e também a busca pela posição de inserção de elementos, de forma paralela.

Em especial, o uso de ponteiros de 32 bits, para expressar referências aos elementos armazenados na lista (neste caso `Threads`) torna-se muito custoso,

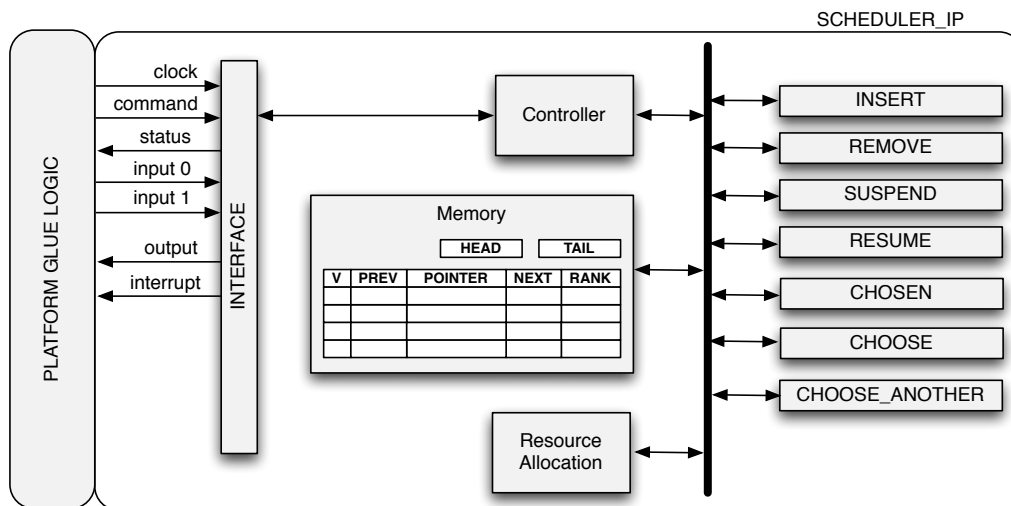


Figura 4.9: Diagrama de blocos do componente escalonador em hardware.

quando a busca destes ponteiros precisam ser realizadas, demandando o uso de comparadores paralelos de 32 bits para cada ponteiro. Por outro lado, o número máximo de *Threads* a serem escalonadas em um sistema embarcado é conhecido de antemão. Por isso foi adotado um mapeamento entre o endereçamento de objetos da arquitetura (do tamanho da palavra da arquitetura) para um endereçamento interno a este componente que irá utilizar tantos bits quanto forem necessários para endereçar apenas o número máximo de elementos que este componente suporta, reduzindo assim, a lógica gasta pela implementação dos comparadores paralelos.

O outro aspecto está relacionado à busca pela posição do elemento durante a inserção na fila. Idealmente, a busca por esta posição poderia ser implementada através de uma comparação paralela de todos os elementos da lista, de forma a encontrar a posição de inserção em apenas um ciclo de execução do componente. Contudo, esta abordagem, além de aumentar o consumo de recursos e lógica conforme já mencionado, ainda gera um impacto no atraso máximo do circuito devido à sua maior complexidade, reduzindo também a frequência de operação do mesmo. Desta forma, se optou pela implementação de uma busca seqüencial pela posição de inserção na lista, percorrendo a mesma. Nesta abordagem, embora o tempo de inserção de elementos varie, essa

variação pode ser na maioria dos casos escondida pelo paralelismo entre a execução do componente em hardware e a CPU. Desta forma, durante a operação de inserção, o controle é imediatamente devolvido a CPU, enquanto o hardware se mantém em um estado de inserção do elemento na fila.

4.4 Gerador de Eventos

O gerador de eventos é uma abstração do sistema responsável por gerar três tipos de eventos que podem ser periódicos ou não. Os eventos podem ser uma chamada de uma função do sistema, a execução do método `v()` de um semáforo, ou então executar o método `resume()` de uma `Thread`. Esta abstração no sistema EPOS é realizada pela membro `Alarm`, conforme ilustrado na figura 4.10.

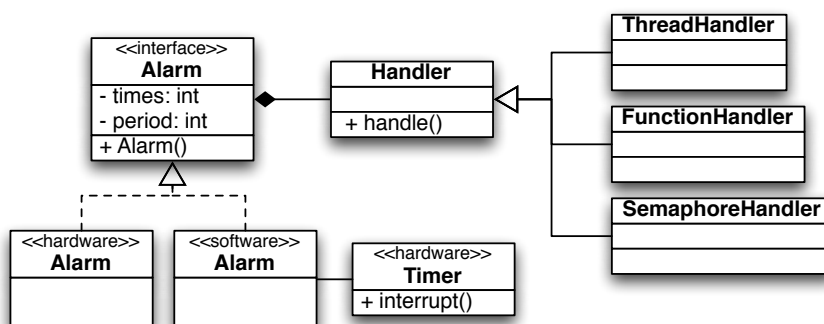


Figura 4.10: Diagrama de classes do gerador de eventos

Sua implementação em software consiste no uso de um temporizador para efetuar a contagem do tempo (ticks), e do uso de uma fila de `Alarm` que utiliza uma ordenamento relativo entre seus elementos (a mesma utilizada pelo escalonador), ou seja, em cada elemento é armazenado a diferença de ticks relativo ao elemento anterior, e desta forma, a cada ocorrência de um tick do temporizador, apenas o elemento na cabeça da fila tem sua contagem de ticks decrementada, garantindo assim uma implementação leve que pode ser executada dentro do próprio contexto de tratamento da interrupção do temporizador.

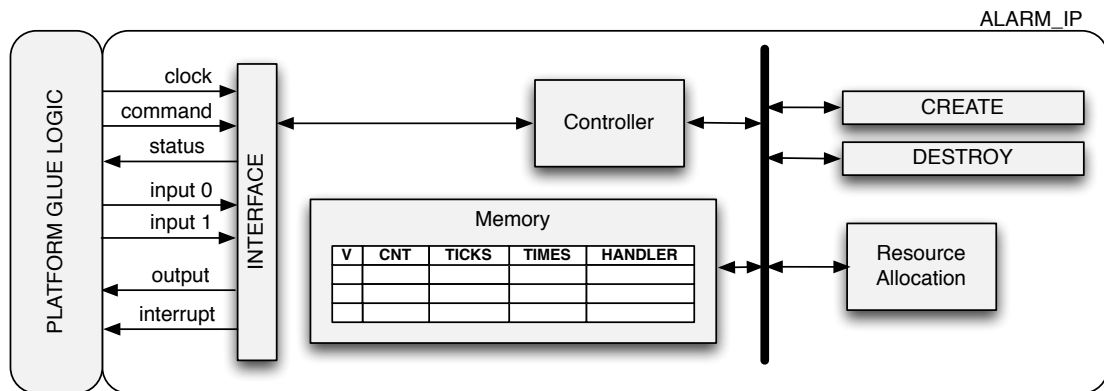


Figura 4.11: Organização do gerador de eventos em hardware.

Já a implementação deste componente em hardware, prevê que todo o controle de temporização é interno, e dada a natureza de paralelismo do hardware, não há a necessidade de implementar um esquema de filas relativas. Na realidade, a implementação deste componente em hardware é nada menos que uma implementação de múltiplos temporizadores dedicados para cada Alarm em hardware. A figura 4.11 ilustra a organização deste componente em hardware. A sua memória interna, armazena para cada instância de alarme suportado, um contador que é inicializado com o valor de ticks correspondente ao tempo que falta para ocorrer o evento, e este é decrementado pela lógica de controle interno de temporização. Além disso, a memória interna armazena o parâmetro *times* que identifica quantas vezes o alarme deve ser executado e o identificador (ponteiro) para o tratador que irá gerar o evento cadastrado.

O módulo de alocação consiste simplesmente em um controle de quais posições na área de dados estão livres para que essa informação seja utilizada pelo módulo de execução de comandos, quando um comando de criação de um Alarm é requisitado. A controladora deste componente realiza o controle de temporização, responsável por realizar a contagem de tempo através dos contadores de cada Alarm. Os contadores são implementados de forma decrescente, ou seja, na inicialização do Alarm, o número de ticks é armazenado no contador, que é então decrementado até zerar. Quando este chega a zero, uma interrupção é sinalizada para que o respectivo gerador do evento (*handler*) seja

executado. Caso ocorra o disparo de alarmes simultâneos, cada alarme será tratado em interrupções diferentes, que são executados seqüencialmente, obedecendo à prioridade de interrupções estabelecida no sistema. É importante destacar que este componente híbrido atua como cliente para outro componente híbrido implementado, o escalonador. Esta interação entre dois componentes híbridos ocorre quando se cria um `Alarm` responsável por executar o método `resume()` de uma `Thread`, que por sua vez irá executar o respectivo método no componente escalonador. Note que através do uso de mediadores de hardware, esta interação ocorre normalmente quando ambos os componentes estão em hardware. Desta forma, o `Alarm` irá gerar a interrupção para que o evento específico (*`ThreadHandler`*) realize a chamada ao mediador de hardware do componente escalonador, que irá então executar a reabilitação da `Thread` no escalonador.

Capítulo 5

Resultados

Este capítulo apresenta os resultados obtidos através de experimentos realizados com os componentes descritos no capítulo 4, seguindo a proposta deste trabalho. Para isso, inicialmente é apresentada a plataforma utilizada para a realização dos testes, assim como a descrição dos experimentos realizados e em seguida são apresentados os resultados obtidos.

A primeira análise que é feita é em relação ao tamanho dos componentes gerados, tanto de sua implementação em software quanto a sua implementação em hardware. Todos os experimentos conduzidos nesta seção foram realizados utilizando a plataforma ML403 da *Xilinx*, a qual possui uma FPGA modelo XC4VFX12 [27]. Para a síntese de hardware, foi utilizado a ferramenta *ISE Foundation*, versão 9.1i, fornecida pela *Xilinx* no âmbito de seu programa de relacionamento com Universidades.

Esta plataforma provê 12.312 células lógicas para a implementação de aceleradores em hardware que são controlados por um core PowerPC 405, integrado ao chip utilizado pela plataforma. Além disso, esta FPGA fornece um conjunto de 18 blocos de memória BRAM de 18k, podendo desta forma instanciar até 648Kb de memória interna na mesma. Outros blocos também são fornecidos entre eles, o XtremeDSP slices para a implementação de estruturas típicas presentes em algoritmos para processamento de sinais, além de blocos para gerenciamento de sinais de clock (*DCM*) e MACs Ethernet

De forma a analisar e obter um parâmetro em termos da área ocupada

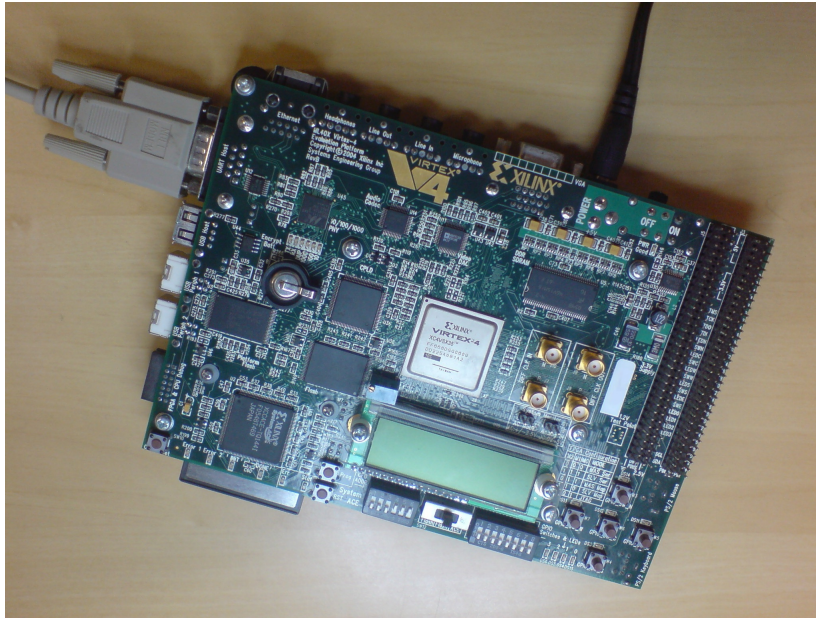


Figura 5.1: Plataforma ML403

por cada componente, os resultados obtidos foram confrontados com a área utilizada pelo processador Plasma. O processador Plasma é uma implementação de um processador MIPS-I com 4 estágios de pipeline, disponibilizado de forma gratuita por seu autor, através do site *OpenCores*, e suporta a sua sintetização em FPGAs da Xilinx, como também da Altera. Este processador foi escolhido para esta comparação por ser um IP relativamente pequeno permitindo a sua utilização como um co-processador para a implementação dos componentes analisados.

A análise de desempenho de cada componente, foi realizada através do uso de um teste sintético, que simula uma determinada carga no sistema (tarefas executando) e realiza uma série de chamadas aos componentes testados. O tempo de execução de cada componente foi mensurado através do uso de um contador de ciclos de CPU, presente na arquitetura PowerPC (*timestamp counter*), e este foi medido desde o momento em que o serviço do componente é solicitado até o momento em que este termina a execução do serviço. Desta forma, os tempo de execução consideram toda a cadeia de chamada e invocação do serviço, além de estarem suscetíveis às condições de execução do sistema, tais como a ocorrência de interrupções externas.

5.1 Semáforo

Os resultados referentes a área da FPGA ocupada pela implementação do componente semáforo em hardware, assim como o desempenho da execução de seus serviços é apresentado nos gráficos ilustrados na figura 5.2. O gráfico que apresenta o consumo de área do componente, utiliza a seguinte notação $XsYq$ para indicar a configuração realizada no componente em cada ensaio, onde X representa o número máximo de semáforos configurado no componente e Y representa o tamanho máximo da fila interna de cada semáforo.

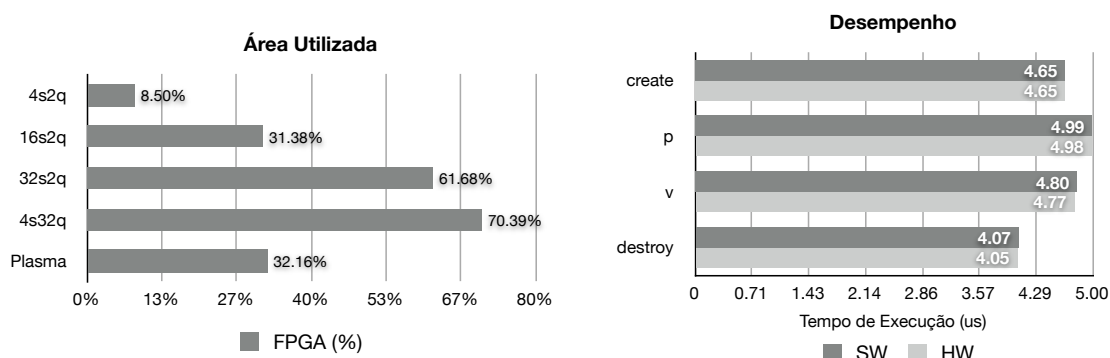


Figura 5.2: Área consumida em hardware e desempenho da execução dos serviços do componente Semáforo

Os tempos de execução dos serviços fornecidos pelo componente semáforo mostram que não houve uma melhora significativa de desempenho entre as versões implementadas em hardware ou em software. A análise do coeficiente de variabilidade, que é o desvio padrão em relação a média das medições, mostrou-se bastante baixo e próximos entre as duas implementações, variando entre 1% e 2%. Estes dados se por um lado mostram que não há vantagens significativas no uso de uma implementação em hardware deste componente, por outro mostram o quão eficiente é a implementação do mesmo em software, apresentando um ótimo resultado em relação à variabilidade do tempo de execução de seus serviços.

É importante ressaltar que os resultados da implementação em hardware

apresentados levam em conta todo o tempo necessário para que o comando de execução do serviço chegue ao componente em hardware, incluindo a execução da chamada do método correspondente de seu mediador, assim a latência de comunicação através do barramento em que o mesmo está conectado. Por outro lado, a implementação em software deste componente é extremamente eficiente, uma vez que a arquitetura utilizada possui instruções otimizadas para a implementação das primitivas do semáforo. Estes dois fatores justificam os resultados obtidos, que apresentaram pouca diferença de desempenho entre ambas as implementações.

5.2 Escalonador

A figura 5.3 apresenta a área consumida pelo componente escalonador em hardware, de acordo com a configuração de número máximo de processos que o mesmo tem capacidade para gerenciar. Foram feitos ensaios variando o número de processos entre 2 e 32 processos. A FPGA utilizada permitiu utilizar o escalonador com suporte a até 40 processos. A comparação de área entre o componente escalonador em hardware e o processador Plasma, mostra que uma vantagem do uso do escalonador praticamente até o uso de 16 processos.

Os tempos de execução dos principais serviços do componente escalonador são apresentados nos gráficos ilustrados na figura 5.4. Foram analisados os tempos de execução dos serviços envolvidos com a inclusão de processos no escalonador (*insert* e *resume*), exclusão de processos (*remove*) e o tempo de execução do serviço responsável por informar o processo que deve receber a CPU (*choose*). Note que apesar do desempenho do escalonador em hardware ter sido pior no serviço de exclusão de processos, a principal vantagem na utilização do escalonador em hardware se mostra na análise do coeficiente de variabilidade do componente. Enquanto que o hardware apresenta um coeficiente abaixo de 2%, a implementação em software, por sua vez tem a variabilidade da execução de seus serviços variando em torno de 14% a 32%. A partir destes resultados, fica claro que havendo a necessidade de uma apresentar grande variabilidade no tempo de execução do componente escalonador, a implementação em hardware deve ser

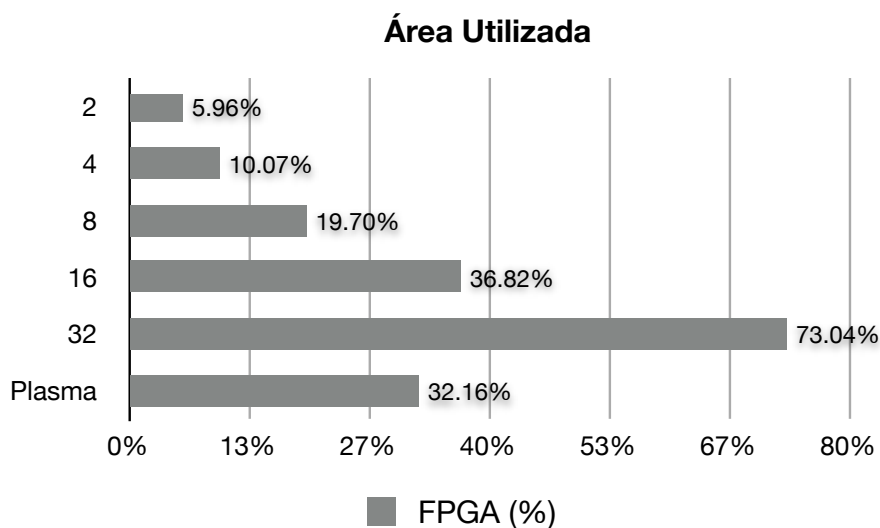


Figura 5.3: Área consumida em hardware do componente Escalonador

selecionado.

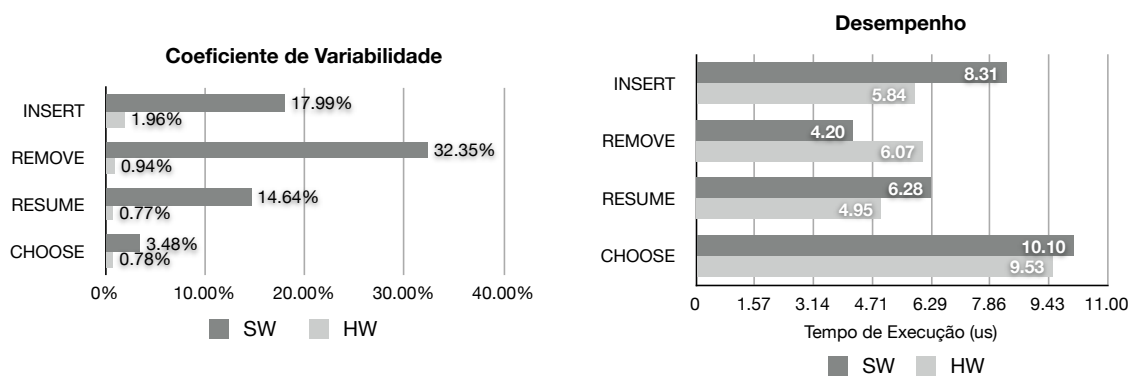


Figura 5.4: Desempenho e coeficiente de variabilidade do componente Escalonador

5.3 Gerador de Eventos

A figura 5.5 apresenta a área consumida pelo componente Gerador de Eventos (*Alarm*), de acordo com a configuração do número máximo de eventos que po-

dem ser configurados simultaneamente. Os ensaios foram realizados configurando o componente entre 2 e 10 alarmes concorrentes, e a área ocupada em todos os ensaios se mostraram adequadas e inferiores ao tamanho processador Plasma. Cabe ressaltar contudo que não foi possível realizar ensaios com um número maior de instâncias de alarmes, pois ao solicitar um número maior de componentes, o programa utilizado para sintetizar e implementar o projeto em FPGA sofria um erro. É importante destacar que outras ferramentas para a simulação do projeto de hardware do componente permitiam a simulação do mesmo com um número maior de alarmes suportados, contudo, sem ter o programa para sintetização do componente funcionando, não foi possível realizar testes práticos de desempenho com o mesmo executando na plataforma real, com um número superior a 10 alarmes configurados.

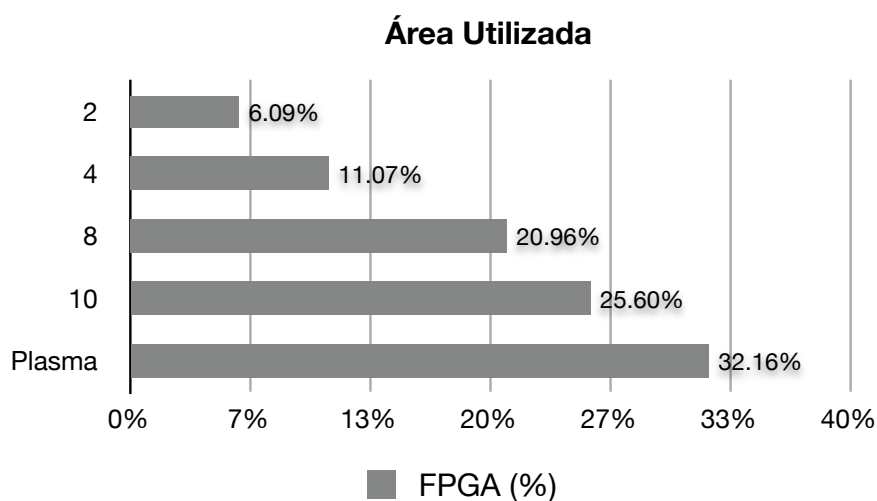


Figura 5.5: Área consumida em hardware do componente Gerador de Eventos (Alarm)

O desempenho foi avaliado em relação a criação do alarme, e os resultados são apresentados nos gráficos ilustrados na figura 5.6. Foi analisado o tempo de execução para a criação de cada alarme, apresentando uma melhora significativa no tempo de execução, como também no determinismo do mesmo em sua implementação em hardware, com uma melhora de desempenho de cerca de 50% em relação a sua implementação em software.

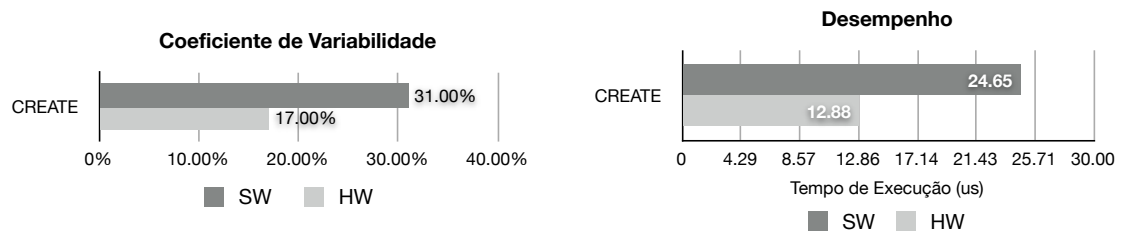


Figura 5.6: Desempenho e coeficiente de variabilidade do componente Gerador de Eventos (Alarm)

Capítulo 6

Conclusão

O desenvolvimento de sistemas computacionais embarcados tem evoluído e tornado-se cada vez mais complexo, enquanto que as restrições impostas a estes sistemas em termos de desempenho, consumo de energia, confiabilidade, tempo de projeto, etc, se tornam cada vez mais rigorosas. Por esse motivo, o estudo de metodologias para o desenvolvimento de tais sistemas tem recebido grande atenção da comunidade científica nas últimas décadas, em especial, metodologias baseadas no uso de componentes.

Uma das principais propostas neste sentido é o desenvolvimento baseado em plataformas (Platform-based Design). Contudo, apesar deste fomentar o reuso de componentes para acelerar o processo de desenvolvimento de sistema embarcados, ele contribui pouco durante o processo de criação de componentes reutilizáveis, focando mais em aspectos de reuso de plataformas já existentes.

Nesse contexto o Projeto de Sistemas orientados à aplicação (AOSD – *Application Oriented System Design*) visa explorar justamente este aspecto, apresentando uma estratégia para desenvolver um conjunto de componentes que podem ser adaptados às necessidades da aplicação, favorecendo desta forma o seu reuso. Adicionalmente é desejável que estes componentes possam ser passíveis de serem implementados tanto em software quanto em hardware, para que desta forma a implementação que melhor convier às necessidades da aplicação possa ser utilizada.

O presente trabalho estudou exatamente esta possibilidade, realizando um estudo para verificar os mecanismos necessários para o desenvolvimento efetivo de componentes que possam ser efetivamente implementados através de diferentes combinações de hardware e software, os quais denominamos **Componentes Híbridos de Hardware e Software**. Dentre tais mecanismos, se verificou a necessidade de se projetar tais componentes através do uso de técnicas refinadas de engenharia, caracterizando desta forma um modelo para tais componentes que fosse passível de implementação em ambos os domínios. É neste sentido que a AOSD contribui para a presente proposta. De fato, esta arquitetura de componentes híbridos já era de certa forma realizada através de AOSD por meio de seus artefatos denominados *mediadores de hardware*. Adicionalmente, para que componentes possam ser efetivamente migrados entre os domínios de hardware e software, é necessário que o seu comportamento seja mantido, garantindo desta forma a transparência arquitetural dos componentes. Neste sentido, três padrões de comportamento foram identificados. São eles: *Componentes Síncronos*, *Componentes Assíncronos* e *Componentes Autônomos*. Cada um destes padrões de comportamento foram formalizados e então foi proposto a maneira com a qual os mesmos são preservados à medida que o componente híbrido é implementado nos domínios de hardware ou de software, utilizando conceitos já fundamentados como programação concorrente, tratamento de interrupções e gerenciamento de eventos.

De forma a avaliar a arquitetura proposta, três componentes híbridos foram implementados no domínio de software e no domínio de hardware, cada qual, pertencente a cada um dos padrões comportamentais identificados. São eles, um *Semáforo* (síncrono), um *Escalonador* (autônomo) e um *Gerenciador de Eventos* (assíncrono). Foi então projetada uma aplicação de teste e foram executados uma série de experimentos para se mensurar o desempenho desta arquitetura. Tanto as implementações do *Escalonador* como do *Gerenciador de Eventos* mostraram um melhora significativa no desempenho dos componentes quando implementados em hardware, mesmo considerando-se todo o sobrecusto imposto pela arquitetura proposta. Por outro lado, os resultados obtidos nos experimentos do componente *Semáforo* mostram que alguns casos, a implementação de um componente em software pode ser tão eficiente quanto a sua realização em hardware.

A principal proposta de trabalho futuro consiste na extensão desta arquitetura para que os componentes possam migrar entre o domínio de hardware e software de forma dinâmica durante a execução da aplicação. Esta abordagem é interessante em ocasiões na qual os requisitos da aplicação são modificados conforme as mudanças no ambiente que este sistema está inserido (ex. consumo de energia em aplicações móveis). Outra abordagem interessante para trabalhos futuros é a integração de ferramentas para a simulação do sistema gerado pelos componentes, utilizando por exemplo, linguagens de descrição de arquiteturas (ex. ArchC), para formalizar os componentes.

Referências Bibliográficas

- [1] MARWEDEL, P. *Embedded System Design*. [S.l.]: Kluwer Academic Publishers, 2003. ISBN 1-4020-7690-9.
- [2] SANGIOVANNI-VINCENTELLI, A. L.; MARTIN, G. Platform-based design and software design methodology for embedded systems. *IEEE Design & Test of Computers*, v. 18, n. 6, p. 23–33, 2001.
- [3] MAXFIELD, C. *The Design Warrior's Guide to FPGAs*. Orlando, FL, USA: Academic Press, Inc., 2004. ISBN 0750676043.
- [4] FRÖHLICH, A. A. M. *Application-Oriented Operating Systems*. 1. ed. [S.l.]: GMD - Forschungszentrum Informationstechnik, 2001.
- [5] TENNENHOUSE, D. Proactive computing. *Commun. ACM*, ACM, New York, NY, USA, v. 43, n. 5, p. 43–50, 2000. ISSN 0001-0782.
- [6] POP, P. Embedded systems design: Optimization challenges. In: *CPAIOR*. [S.l.: s.n.], 2005. p. 16–16.
- [7] BERGAMASCHI, R. A.; COHN, J. The a to z of socs. In: *ICCAD '02: Proceedings of the 2002 IEEE/ACM international conference on Computer-aided design*. New York, NY, USA: ACM, 2002. p. 790–798. ISBN 0-7803-7607-2.
- [8] SANGIOVANNI-VINCENTELLI, A. et al. Benefits and challenges for platform-based design. In: *DAC '04: Proceedings of the 41st annual conference on Design automation*. New York, NY, USA: ACM, 2004. p. 409–414. ISBN 1-58113-828-8.

- [9] POLPETA, F. V. *Uma Estratégia para a Geração de Sistemas Embutidos baseada na Metodologia Projeto de Sistemas Orientados à Aplicação*. Dissertação (Mestrado) — Universidade Federal de Santa Catarina, Florianópolis, 2006.
- [10] POLPETA, F. V.; FRÖHLICH, A. A. On the automatic generation of soc-based embedded systems. In: *10th IEEE International Conference on Emerging Technologies and Factory Automation*. [S.l.: s.n.], 2005.
- [11] GAJSKI, D. Ip-based design methodology. In: *DAC*. [S.l.: s.n.], 1999. p. 43.
- [12] XILINX. Disponível em: <<http://www.xilinx.com/>>.
- [13] WANG, S.; KODASE, S.; SHIN, K. G. *Automating Embedded Software Construction and Analysis with Design Models*. 2002. Disponível em: <citeseer.ist.psu.edu/608228.html>.
- [14] WINTER, M. et al. *Components for Embedded Software — The PECOS Approach*. 2002. Disponível em: <citeseer.ist.psu.edu/winter02components.html>.
- [15] DZIRI, M.-A. et al. Unified component integration flow for multi-processor soc design and validation. In: *Design, Automation and Test in Europe Conference and Exhibition, 2004. Proceedings*. [S.l.: s.n.], 2004. v. 2, p. 1132–1137 Vol.2. ISSN 1530-1591.
- [16] ZHANG, T.; BENINI, L.; MICHELI, G. D. *Component selection and matching for IP-based design*. 2001. Disponível em: <citeseer.ist.psu.edu/zhang01component.html>.
- [17] GIVARGIS, T.; VAHID, F. *Platune: A Tuning Framework for System-on-a-chip Platforms*. 2002. Disponível em: <citeseer.ist.psu.edu/givargis02platune.html>.
- [18] SHELAR, R.; NATH, S.; NANAWARE, J. *Parameterized reusable component library methodology*. 2000. Disponível em: <citeseer.ist.psu.edu/shelar00parameterized.html>.

- [19] WILTON, S.; SALEH, R. *Programmable Logic IP Cores in SoC Design: Opportunities and Challenges*. 2001. Disponível em: <citeseer.ist.psu.edu/wilton01programmable.html>.
- [20] BALARIN, F. et al. Metropolis: an integrated electronic system design environment. *Computer*, v. 36, n. 4, p. 45–52, April 2003. ISSN 0018-9162.
- [21] EKER, J. et al. Taming heterogeneity - the ptolemy approach. *Proceedings of the IEEE*, v. 91, n. 1, p. 127–144, Jan 2003. ISSN 0018-9219.
- [22] HA, S. et al. Peace: A hardware-software codesign environment for multimedia embedded systems. *ACM Trans. Des. Autom. Electron. Syst.*, ACM, New York, NY, USA, v. 12, n. 3, p. 1–25, 2007. ISSN 1084-4309.
- [23] SCHMIDT, D. C. *Guest Editor's Introduction: model-driven engineering*. 2006. 25-31 p.
- [24] WEHRMEISTER, M. A. *An Aspect-Oriented Model-Driven Engineering Approach for Distributed Embedded Real-Time Systems*. Tese (Doutorado) — UFRGS, 2009.
- [25] COMPTON, K.; HAUCK, S. Reconfigurable computing: a survey of systems and software. *ACM Comput. Surv.*, ACM Press, New York, NY, USA, v. 34, n. 2, p. 171–210, 2002. ISSN 0360-0300.
- [26] XILINX. *Using Block RAM in Spartan-3 Generation FPGAs*.
- [27] XILINX. *The Virtex-4 FPGA User Guide*.
- [28] ANDERSON, E. et al. Enabling a uniform programming model across the software/hardware boundary. In: *Field-Programmable Custom Computing Machines, 2006. FCCM '06. 14th Annual IEEE Symposium on*. [S.l.: s.n.], 2006. p. 89–98.
- [29] CESARIO, W. et al. Multiprocessor soc platforms: a component-based design approach. *Design & Test of Computers, IEEE*, v. 19, n. 6, p. 52–63, 2002. ISSN 0740-7475.

- [30] RINCON, F. et al. Unified inter-communication architecture for systems-on-chip. In: . [S.l.: s.n.], 2007. p. 17–26. ISSN 1074-6005.
- [31] KANG, K. et al. *Feature-Oriented Domain Analysis (FODA) Feasibility Study*. [S.l.], November 1990.
- [32] POLPETA, F. V.; FRÖHLICH, A. A. Hardware mediators: A portability artifact for component-based systems. In: YANG, L. T. et al. (Ed.). *EUC*. [S.l.]: Springer, 2004. (Lecture Notes in Computer Science, v. 3207), p. 271–280. ISBN 3-540-22906-X.
- [33] CZARNECKI, K.; EISENECKER, U. *Generative Programming: Methods, Tools, and Applications*. [S.l.]: Addison-Wesley, 2000.
- [34] IBM. *CoreConnect Bus Architecture*.
- [35] WIEDENHOFT, G. R.; FRÖHLICH, A. A. Gerência de energia no epos utilizando técnicas da computação imprecisa. In: *Proceedings of the Fifth Brazilian Workshop on Operating Systems*. [S.l.: s.n.], 2008. p. 34–45.
- [36] BUTTAZZO, G. et al. Elastic scheduling for flexible workload management. *IEEE Transactions on Computers*, v. 51, n. 3, p. 289–302, 2002. ISSN 0016-9340.

Anexos

Arquivos fontes

semaphore.vhd

```
1 -----
2 -- Company: Software and Hardware Integration Lab - LISHA
3 -- Engineer: Hugo Marcondes
4
5 -- Design Name: Hardware Semaphore
6 -- Project Name: Hybrid Hw/Sw Components
7 -----
8
9 library IEEE;
10 use IEEE.STD_LOGIC_1164.ALL;
11 use IEEE.STD_LOGIC_ARITH.ALL;
12 use IEEE.STD_LOGIC_UNSIGNED.ALL;
13
14 entity semaphore is
15
16     generic ( C_MAX_SEMAPHORES: integer := 8; -- Must lower than 2**C.VALUE_WIDTH !!
17               C_FIFO_SIZE: integer := 4;
18               C_VALUE_WIDTH: integer := 8;
19               C_FIFO_WIDTH: integer := 32); -- Always must be larger than VALUE_WIDTH
20
21     port ( p_clk: in std_logic ;
22            p_rst: in std_logic ;
23            p_cmd: in std_logic_vector (0 to 2);
24            p_addr: in std_logic_vector (0 to C.VALUE_WIDTH-1);
25            p_data_in: in std_logic_vector (0 to C_FIFO_WIDTH-1);
26            p_data_out: out std_logic_vector (0 to C_FIFO_WIDTH-1);
27            p_resume: out std_logic ;
28            p_block: out std_logic ;
29            p_full: out std_logic ;
30            p_error: out std_logic ;
31            p_done: out std_logic );
32
33 end semaphore;
34
35 architecture Behavioral of semaphore is
36     -- Semaphore Commands
37     constant C_CMD_CREATE: std_logic_vector(0 to 2) := "001";
38     constant C_CMD_DESTROY: std_logic_vector(0 to 2) := "010";
39     constant C_CMD_DOWN: std_logic_vector (0 to 2) := "011";
40     constant C_CMD_UP: std_logic_vector (0 to 2) := "100";
41
42     -- State Machine Type
43     type t_state is (idle , createCmd, destroyCmd, upCmd, downCmd, resumeThr);
44     signal s_state : t_state ;
45
46     -- Internal Memory
47     signal s_bitmap: std_logic_vector (0 to C_MAX_SEMAPHORES-1);
48     type t_memory is array (0 to C_MAX_SEMAPHORES-1) of std_logic_vector(0 to C.VALUE_WIDTH-1);
49     signal s_memory: t_memory;
50
51     -- Internal Registers
52     signal s_free : integer range 0 to C_MAX_SEMAPHORES-1 := 0;
53     signal s_idx : integer range 0 to C_MAX_SEMAPHORES-1 := 0;
54     signal s_thread : std_logic_vector (0 to C_FIFO_WIDTH-1);
55     signal s_value : std_logic_vector (0 to C.VALUE_WIDTH-1);
56
57     -- Internal Registers
58     signal s_addr: std_logic_vector (0 to C.VALUE_WIDTH-1);
59     signal s_data_in : std_logic_vector (0 to C_FIFO_WIDTH-1);
60     signal s_data_out : std_logic_vector (0 to C_FIFO_WIDTH-1);
61     signal s_resume: std_logic ;
62     signal s_block: std_logic ;
63     signal s_full : std_logic ;
```

```

64 signal s_error : std_logic ;
65 signal s_done : std_logic ;
66
67 -- FIFO Signals
68 signal s_fifo_rd_wr : std_logic_vector (0 to C.MAX_SEMAPHORES-1);
69 signal s_fifo_enable : std_logic_vector (0 to C.MAX_SEMAPHORES-1);
70 signal s_fifo_full : std_logic_vector (0 to C.MAX_SEMAPHORES-1);
71 signal s_fifo_empty : std_logic_vector (0 to C.MAX_SEMAPHORES-1);
72 type t_fifo_data is array (0 to C.MAX_SEMAPHORES-1) of std_logic_vector(0 to C.FIFO_WIDTH-1);
73 signal s_fifo_data_in : t_fifo_data ;
74 signal s_fifo_data_out : t_fifo_data ;
75
76 component FIFO is
77 generic ( DATA_WIDTH : integer;
78          QUEUE_SIZE : integer);
79 port ( clk : in std_logic ;
80       rd_wr : in std_logic ; -- read ('1') and write ('0') control
81       enable : in std_logic ; -- habilita ('0') a leitura ou escrita na fila
82       full : out std_logic ; -- full queue ('1')
83       empty : out std_logic ; -- empty queue ('1')
84       data_in : in std_logic_vector (0 to DATA_WIDTH-1);
85       data_out : out std_logic_vector (0 to DATA_WIDTH-1);
86
87 end component FIFO;
88
89 begin
90
91 -- Create the Semaphore FIFOs
92 fifo_array : for sem_index in 0 to C.MAX_SEMAPHORES-1 generate
93 begin
94     fifo_component : component FIFO
95     generic map ( DATA_WIDTH => C.FIFO_WIDTH,
96                 QUEUE_SIZE => C.FIFO_SIZE)
97     port map ( clk => p_clk,
98              rst => p_rst,
99              rd_wr => s_fifo_rd_wr(sem_index),
100             enable => s_fifo_enable(sem_index),
101             full => s_fifo_full(sem_index),
102             empty => s_fifo_empty(sem_index),
103             data_in => s_fifo_data_in(sem_index),
104             data_out => s_fifo_data_out(sem_index));
105
106 end generate fifo_array ;
107
108 -- Concurrent Statements
109 s_addr <= p_addr;
110 s_data_in <= p_data_in;
111 p_data_out <= s_data_out;
112 p_resume <= s_resume;
113 p_block <= s_block;
114 p_full <= s_full;
115 p_error <= s_error;
116 p_done <= s_done;
117
118 -- This process searches for an free semaphore id.
119 search_free : process (p_clk)
120 variable v_or_vector : std_logic_vector (0 to C.MAX_SEMAPHORES-1);
121
122 begin
123     if p_clk'event and p_clk = '1' then
124         if p_rst = '1' then
125             s_full <= '0';
126         else
127             v_or_vector(0) := '0' or (not s_bitmap(0));
128             for row in 1 to C.MAX_SEMAPHORES-1 loop
129                 v_or_vector(row) := v_or_vector(row-1) or (not s_bitmap(row));
130             end loop;
131             s_full <= not v_or_vector(C.MAX_SEMAPHORES-1);
132             for row in 0 to C.MAX_SEMAPHORES-1 loop
133                 if (s_bitmap(row)='0') then
134                     s_free <= row;
135                 end if;
136             end loop;
137         end if;
138     end if;
139 end process;
140
141 -- Semaphore Process
142 mainProc : process (p_clk, p_cmd) is
143 variable v_idx : integer range 0 to C.MAX_SEMAPHORES-1 := 0;
144
145 begin
146     if p_clk'event and p_clk = '1' then
147         -- Reset Handling
148         if p_rst = '1' then
149             s_bitmap <= (others => '0');
150             s_idx <= 0;
151             s_thread <= (others => '0');
152             s_data_out <= (others => '0');
153             s_fifo_rd_wr <= (others => '0');
154             s_fifo_enable <= (others => '1');
155             s_error <= '0';
156             s_done <= '0';
157             s_block <= '0';
158             s_resume <= '0';
159             s_state <= idle;
160         else

```



```

160 -- Finite State Machine Starts Here!
161 case s_state is
162
163     when idle =>
164         -- Always disable all ffios when idle;
165         s_fifo.enable <= (others => '1');
166
167     case p_cmd is
168
169         when C_CMD_CREATE =>
170             s_data_out <= (others => '0');
171             s_error <= '0';
172             s_done <= '0';
173             s_block <= '0';
174             s_resume <= '0';
175             if ( s_full = '0' ) then
176                 s_bitmap( s_free ) <= '1';
177                 s_idx <= s_free;
178                 s_value <= conv_std_logic_vector ( conv_integer ( s_data.in ), C.VALUE_WIDTH);
179                 s_state <= createCmd;
180             else
181                 s_error <= '1';
182             end if;
183
184         when C_CMD_DESTROY =>
185             s_data_out <= (others => '0');
186             s_error <= '0';
187             s_done <= '0';
188             s_block <= '0';
189             s_resume <= '0';
190             s_idx <= conv_integer( s_addr );
191             s_state <= destroyCmd;
192
193         when C_CMD_UP =>
194             s_data_out <= (others => '0');
195             s_error <= '0';
196             s_done <= '0';
197             s_block <= '0';
198             s_resume <= '0';
199             v_idx := conv_integer ( s_addr );
200             s_idx <= v_idx;
201             -- Forward POP FIFO if
202             if ( s_memory( v_idx )( 0 ) = '1' ) then
203                 s_fifo.rd_wr ( v_idx ) <= '1';
204                 s_fifo.enable ( v_idx ) <= '0';
205             end if;
206             s_state <= upCmd;
207
208         when C_CMD_DOWN =>
209             s_data_out <= (others => '0');
210             s_error <= '0';
211             s_done <= '0';
212             s_block <= '0';
213             s_resume <= '0';
214             s_idx <= conv_integer( s_addr );
215             s_thread <= s_data.in;
216             s_state <= downCmd;
217
218         when others =>
219             null;
220
221     end case;
222
223     when createCmd =>
224         s_memory( s_idx ) <= s_value;
225         s_data_out <= conv_std_logic_vector ( s_idx , C_FIFO_WIDTH );
226         s_done <= '1';
227         s_state <= idle;
228
229     when destroyCmd =>
230         if ( s_fifo.empty ( s_idx ) = '1' ) then
231             s_bitmap( s_idx ) <= '0';
232             s_done <= '1';
233         else
234             s_error <= '1';
235         end if;
236         s_state <= idle;
237
238     when downCmd =>
239         if ( s_bitmap( s_idx ) = '1' ) then
240             s_memory( s_idx ) <= s_memory( s_idx ) - 1;
241             if ( SIGNED( s_memory( s_idx ) ) < 1 ) then
242                 if ( s_fifo_full ( s_idx ) = '0' ) then
243                     s_block <= '1';
244                     s_fifo.enable ( s_idx ) <= '0';
245                     s_fifo.rd_wr ( s_idx ) <= '0';
246                     s_fifo.data.in ( s_idx ) <= s_thread;
247                 else
248                     s_error <= '1';
249                 end if;
250             end if;
251             s_done <= '1';
252         else
253             s_error <= '1';
254         end if;
255         s_state <= idle;

```

```

256
257
258         when upCmd =>
259             if (s.bitmap(s.idx) = '1') then
260                 s_memory(s.idx) <= s_memory(s.idx) + 1;
261                 if (s_memory(s.idx)(0) = '1') then
262                     s_fifo.enable (s.idx) <= '1';
263                     s_state <= resumeThr;
264                 else
265                     s_done <= '1';
266                     s_state <= idle;
267                 end if;
268             else
269                 s_error <= '1';
270                 s_state <= idle;
271             end if;
272
273         when resumeThr =>
274             s_resume <= '1';
275             s_done <= '1';
276             s_data_out <= s_fifo.data.out (s.idx);
277             s_state <= idle;
278
279         end case;
280     end if;
281 end process;
282 end Behavioral;

```

semaphore.vhd

semaphore.h

```

1 // EPOS -- Semaphore Abstraction Declarations
2
3 #ifndef __semaphore_h
4 #define __semaphore_h
5
6 #include <machine.h>
7 #include <utility/handler.h>
8 #include <chronometer.h>
9 #include <common/synchronizer.h>
10
11 __BEGIN_SYS
12
13 template <bool hardware>
14 class Semaphore_Imp;
15
16 TSC mytsc;
17
18 template <>
19 class Semaphore_Imp<false> : public Synchronizer_Common
20 {
21 public:
22     Semaphore_Imp(int v = 1) {
23         db<Synchronizer>(TRC) << "Semaphore(value=" << _value << ") => "
24             << this << "\n";
25         TSC::Time_Stamp tmp = mytsc.time_stamp();
26         _value = v;
27         kout << (mytsc.time_stamp() - tmp) << "\n";
28     }
29     ~Semaphore_Imp() {
30         db<Synchronizer>(TRC) << "Semaphore(this=" << this << ") \n";
31         TSC::Time_Stamp tmp = mytsc.time_stamp();
32         kout << (mytsc.time_stamp() - tmp) << "\n";
33     }
34
35     void p() {
36         db<Synchronizer>(TRC) << "Semaphore:p(this=" << this
37             << ",value=" << _value << ") \n";
38         TSC::Time_Stamp tmp = mytsc.time_stamp();
39         if (fdec(_value) < 1) {
40             kout << (mytsc.time_stamp() - tmp) << "\n";
41             sleep ();
42         } else {
43             kout << (mytsc.time_stamp() - tmp) << "\n";
44         }
45     }
46
47     void v() {
48         db<Synchronizer>(TRC) << "Semaphore:v(this=" << this
49             << ",value=" << _value << ") \n";
50         TSC::Time_Stamp tmp = mytsc.time_stamp();
51         if (finc(_value) < 0) {
52             kout << (mytsc.time_stamp() - tmp) << "\n";
53             wakeup();
54         } else {
55             kout << (mytsc.time_stamp() - tmp) << "\n";
56         }
57     }
58
59 private:

```

```

60 //Chronometer chrono;
61 volatile int _value;
62 };
63
64 template<>
65 class Semaphore_Imp<true>
66 {
67 public:
68     enum STATUS {
69         STAT_BLOCK = 0x10000000,
70         STAT_RESUME = 0x08000000,
71         STAT_FULL = 0x04000000,
72         STAT_ERROR = 0x02000000,
73         STAT_DONE = 0x01000000,
74     };
75
76 public:
77     Semaphore_Imp(int v = 1) {
78         TSC::Time_Stamp tmp = mytsc.time_stamp();
79         sem_cmd = (unsigned int*)0x41300000;
80         sem_thr = (unsigned int*)0x41300004;
81         CPU::int_disable ();
82         *sem_cmd = (0x20000000 | v);
83         sem_id = (*sem_thr & 0x000000FF);
84         CPU::int_enable ();
85         kout << (mytsc.time_stamp() - tmp) << "\n";
86         db<Synchronizer>(TRC) << "Semaphore(value=" << v << ") => (" << sem_id << ")
87         << this << "\n";
88     }
89
90     ~Semaphore_Imp() {
91         TSC::Time_Stamp tmp = mytsc.time_stamp();
92         CPU::int_disable ();
93         *sem_cmd = (0x40000000 | (sem_id << 16));
94         CPU::int_enable ();
95         kout << (mytsc.time_stamp() - tmp) << "\n";
96     }
97
98     void p() {
99         TSC::Time_Stamp tmp = mytsc.time_stamp();
100         unsigned int status;
101         Thread * thr = Thread::self ();
102         CPU::int_disable ();
103         *sem_thr = (unsigned int) thr;
104         *sem_cmd = (0x60000000 | (sem_id << 16));
105         status = *sem_cmd;
106         CPU::int_enable ();
107         kout << (mytsc.time_stamp() - tmp) << "\n";
108
109         if (status & STAT_ERROR) Machine::panic();
110         if (status & STAT_BLOCK) {
111             //Block Current Thread
112             thr -> suspend();
113         }
114     }
115
116     void v() {
117         TSC::Time_Stamp tmp = mytsc.time_stamp();
118         unsigned int status;
119         Thread * thr;
120         CPU::int_disable ();
121         *sem_cmd = (0x80000000 | (sem_id << 16));
122         status = *sem_cmd;
123         thr = (Thread *)*sem_thr;
124         CPU::int_enable ();
125         kout << (mytsc.time_stamp() - tmp) << "\n";
126
127         if (status & STAT_ERROR) Machine::panic();
128         if (status & STAT_RESUME) {
129             thr -> resume();
130         }
131     }
132 }
133
134 private:
135     //Chronometer chrono;
136     unsigned int sem_id;
137     volatile unsigned int * sem_cmd;
138     volatile unsigned int * sem_thr;
139 };
140
141 class Semaphore: public Semaphore_Imp<Traits<Synchronizer>::hardware> {
142 public:
143     Semaphore(int v = 1) : Semaphore_Imp<Traits<Synchronizer>::hardware>(v) {}
144 };
145
146 class Handler_Semaphore: public Handler
147 {
148 public:
149     Handler_Semaphore(Semaphore * h): _handler(h) {}
150     ~Handler_Semaphore() {}
151
152     void operator() () { _handler ->v(); }
153
154 }
155

```

```

156 private:
157     Semaphore * _handler;
158 };
159
160 ..END_SYS
161
162 #endif

```

semaphore.h

scheduler.vhd

```

1  -----
2  -- Company: Software and Hardware Integration Lab -- LISHA
3  -- Engineer: Hugo Marcondes
4
5  -- Design Name: Hardware Scheduler
6  -- Project Name: Hybrid Hw/Sw Components
7  -----
8  library IEEE;
9  use IEEE.STD_LOGIC_1164.ALL;
10 use IEEE.STD_LOGIC_ARITH.ALL;
11 use IEEE.STD_LOGIC_UNSIGNED.ALL;
12
13 entity Scheduler is
14
15     Generic ( C_MAX_THREADS: integer := 8;
16              C_DWIDTH: integer := 32
17            );
18
19     Port ( p_clk :in std_logic ;
20           p_reset :in std_logic ;
21           p_command :in std_logic_vector (0 to 3);
22           p_priority :in std_logic_vector (0 to 15);
23           p_parameter :in std_logic_vector (0 to C_DWIDTH-1);
24           p_return :out std_logic_vector (0 to C_DWIDTH-1);
25           p_status :out std_logic_vector (0 to 5);
26           p_interrupt :out std_logic
27         );
28
29 end Scheduler;
30
31 architecture Behavioral of Scheduler is
32
33     -- Scheduler Commands
34     constant C_CMD_CREATE: std_logic_vector (0 to 3) := "0001";
35     constant C_CMD_DESTROY: std_logic_vector (0 to 3) := "0010";
36     constant C_CMD_INSERT: std_logic_vector (0 to 3) := "0011";
37     constant C_CMD_REMOVE: std_logic_vector (0 to 3) := "0100";
38     constant C_CMD_REMOVE_HEAD: std_logic_vector (0 to 3) := "0101";
39     constant C_CMD_UPDATE_RUNNING: std_logic_vector (0 to 3) := "0110";
40     constant C_CMD_SET_QUANTUM: std_logic_vector (0 to 3) := "0111";
41     constant C_CMD_ENABLE: std_logic_vector (0 to 3) := "1000";
42     constant C_CMD_DISABLE: std_logic_vector (0 to 3) := "1001";
43     constant C_CMD_INT_ACK: std_logic_vector (0 to 3) := "1010";
44     constant C_CMD_GETTID: std_logic_vector (0 to 3) := "1011";
45     constant C_CMD_CHOSEN: std_logic_vector (0 to 3) := "1100";
46     constant C_CMD_SIZE: std_logic_vector (0 to 3) := "1101";
47     constant C_CMD_RSTICKS: std_logic_vector (0 to 3) := "1110";
48
49     -- State Machine Type
50     type t_state is (idle, destroy, preinsert, insert, remove, exit_ok, exit_error, acknowledge_int, reset_time, pregetid, getid);
51     signal s_state : t_state ;
52
53     -- Internal Memory
54     type t_obj_table is array (0 to C_MAX_THREADS-1) of std_logic_vector (0 to C_DWIDTH-1);
55     type t_order_table is array (0 to C_MAX_THREADS-1) of std_logic_vector (0 to 15);
56     type t_linkedlist is array (0 to C_MAX_THREADS-1) of integer range 0 to C_MAX_THREADS;
57
58     signal s_obj_table : t_obj_table ;
59     signal s_order_table : t_order_table ;
60     signal s_prev_table : t_linkedlist ;
61     signal s_next_table : t_linkedlist ;
62     signal s_tid_bitmap : std_logic_vector (0 to C_MAX_THREADS-1);
63     signal s_enqueue_bitmap : std_logic_vector (0 to C_MAX_THREADS-1);
64
65     signal s_running_tid : integer range 0 to C_MAX_THREADS := 0;
66     signal s_command_tid : integer range 0 to C_MAX_THREADS := 0;
67     signal s_free_tid : integer range 0 to C_MAX_THREADS := 0;
68     signal s_head_tid : integer range 0 to C_MAX_THREADS := 0;
69     signal s_tail_tid : integer range 0 to C_MAX_THREADS := 0;
70     signal s_size : integer range 0 to C_MAX_THREADS := 0;
71     signal s_list_empty : std_logic ;
72
73     -- Status Signals
74     signal s_done : std_logic ;
75     signal s_error : std_logic ;
76     signal s_full : std_logic ;
77
78     -- search TID signals
79     signal s_std_obj_ptr : std_logic_vector (0 to C_DWIDTH-1);

```

```

80     signal s_stid_done :          std_logic ;
81     signal s_stid_start :        std_logic ;
82     signal s_stid_found :        integer range 0 to C.MAX.THREADS := 0;
83
84     -- searchingLinkList signals
85     signal s_search_reset :       std_logic ;
86     signal s_search_order :      std_logic_vector (0 to 15);
87     signal s_found_tid :         integer range 0 to C.MAX.THREADS := 0;
88     signal s_search_done :       std_logic ;
89     signal s_return :            std_logic_vector (0 to C.DWIDTH-1);
90
91     -- timeManagement signals
92     signal s_quantum_ticks :      std_logic_vector (0 to C.DWIDTH-1);
93     signal s_schedule_enabled :   std_logic ;
94     signal s_reschedule :        std_logic ;
95     signal s_int_ack :           std_logic ;
96     signal s_time_reset :        std_logic ;
97     signal s_counter :           std_logic_vector (0 to C.DWIDTH-1);
98
99 begin
100    s_list_empty <= '1' when s_head_tid = 0 else '0';
101    p_return <= s_return;
102    p_status <= s_schedule_enabled & s_reschedule & s_done & s_full & s_list_empty & s_error;
103
104    -- %%%%%%%%%%%
105    -- Controls the allocation of tid to new threads.
106    SearchFreeTID: process (p_clk, p_reset)
107        variable v_or_vector : std_logic_vector (0 to C.MAX.THREADS);
108    begin
109        if p_clk'event and p_clk = '1' then
110            if p_reset = '1' then
111                s_free_tid <= 1;
112                s_full <= '0';
113            else
114                v_or_vector (0) := '0' or (not s_tid_bitmap (0));
115                for row in 1 to C.MAX.THREADS-1 loop
116                    v_or_vector (row) := v_or_vector (row-1) or (not s_tid_bitmap (row));
117                end loop;
118                s_full <= not v_or_vector (C.MAX.THREADS-1);
119                for row in 1 to C.MAX.THREADS loop
120                    if ( s_tid_bitmap (row-1)='0') then
121                        s_free_tid <= row;
122                    end if;
123                end loop;
124            end if;
125        end if;
126    end process;
127    -- %%%%%%%%%%%
128
129    -- %%%%%%%%%%%
130    -- Main processes responsible to control the state machine
131    mainProcess: process (p_clk, p_reset, p_command)
132    begin
133        if p_clk'event and p_clk = '1' then
134            -- Reset Handling
135            if p_reset = '1' then
136                s_tid_bitmap <= (others => '0');
137                s_enqueue_bitmap <= (others => '0');
138                for i in 0 to C.MAX.THREADS-1 loop
139                    s_obj_table (i) <= (others => '0');
140                    s_order_table (i) <= (others => '0');
141                    s_prev_table (i) <= 0;
142                    s_next_table (i) <= 0;
143                end loop;
144                s_running_tid <= 0;
145                s_head_tid <= 0;
146                s_tail_tid <= 0;
147                s_return <= (others => '0');
148                s_done <= '0';
149                s_error <= '0';
150                s_schedule_enabled <= '0';
151                s_quantum_ticks <= (others => '1');
152                s_int_ack <= '0';
153                s_state <= idle;
154            else
155                -- Finite State Machine Controller
156                case s_state is
157                    when idle =>
158                        case p_command is
159                            when C.CMD_CREATE =>
160                                s_done <= '0';
161                                s_error <= '0';
162                                if ( s_full = '0') then
163                                    s_command_tid <= s_free_tid ;
164                                    s_tid_bitmap ( s_free_tid -1) <= '1';
165                                    s_order_table ( s_free_tid -1) <= p_priority;
166                                    s_obj_table ( s_free_tid -1) <= p_parameter(0 to C.DWIDTH-1);
167                                    s_return <= conv_std_logic_vector ( s_free_tid , C.DWIDTH);
168                                    s_state <= exit_ok;
169                                else
170                                    s_state <= exit_error ;
171                                end if ;
172                            when C.CMD_DESTROY =>
173                                s_done <= '0';
174                                s_error <= '0';

```

```

176         s_command_tid <= conv_integer(p.parameter);
177         s_state <= destroy;
178
179     when C.CMD_INSERT =>
180         s_done <= '0';
181         s_error <= '0';
182         s_command_tid <= conv_integer(p.parameter);
183         s_order_table ( conv_integer (p.parameter) - 1) <= p.priority;
184         s_enqueue_bitmap( conv_integer (p.parameter) - 1) <= '1';
185         if ( s_head_tid = 0) then
186             -- Insiro direto na cabeça da fila
187             s_head_tid <= conv_integer(p.parameter);
188             s_tail_tid <= conv_integer(p.parameter);
189             s_size <= s_size + 1;
190             s_state <= exit.ok;
191         else -- Procuo posição
192             s_search_order <= p.priority;
193             s_search_reset <= '1';
194             s_state <= preinsert;
195         end if;
196
197     when C.CMD_REMOVE =>
198         s_done <= '0';
199         s_error <= '0';
200         if (s.enqueue_bitmap( conv_integer (p.parameter) - 1) = '0') then -- Not in queue!
201             s_return <= (others => '0');
202             s_state <= exit.ok;
203         else
204             s_command_tid <= conv_integer(p.parameter);
205             s_state <= remove;
206         end if;
207
208     when C.CMD_REMOVE_HEAD =>
209         s_done <= '0';
210         s_error <= '0';
211         if ( s_head_tid = 0) then -- There is no HEAD !
212             s_return <= (others => '0');
213             s_state <= exit.ok;
214         else
215             s_command_tid <= s_head_tid;
216             s_state <= remove;
217         end if;
218
219     when C.CMD_UPDATE_RUNNING =>
220         s_done <= '0';
221         s_error <= '0';
222         s_running_tid <= conv_integer(p.parameter);
223         s_state <= exit.ok;
224
225     when C.CMD_SET_QUANTUM =>
226         s_done <= '0';
227         s_error <= '0';
228         s_quantum_ticks <= p.parameter;
229         s_time_reset <= '1';
230         s_state <= reset_time;
231
232     when C.CMD_RSTICKS =>
233         s_done <= '0';
234         s_error <= '0';
235         s_time_reset <= '1';
236         s_state <= reset_time;
237
238     when C.CMD_ENABLE =>
239         s_done <= '0';
240         s_error <= '0';
241         s.schedule.enabled <= '1';
242         s_state <= exit.ok;
243
244     when C.CMD_DISABLE =>
245         s_done <= '0';
246         s_error <= '0';
247         s.schedule.enabled <= '0';
248         s_state <= exit.ok;
249
250     when C.CMD_INT_ACK =>
251         s_done <= '0';
252         s_error <= '0';
253         s.int_ack <= '1';
254         s_state <= acknowledge_int;
255
256     when C.CMD_GETID =>
257         s_done <= '0';
258         s_error <= '0';
259         s.stid_obj_ptr <= p.parameter;
260         s.stid_start <= '1';
261         s_state <= pregetid;
262
263     when C.CMD_CHOSEN =>
264         s_done <= '0';
265         s_error <= '0';
266         if ( s_running_tid = 0) then
267             s_return <= (others=>'0');
268         else
269             s_return <= s.obj.table( s_running_tid - 1);
270         end if;
271         s_state <= exit.ok;

```

```

272
273
274         when C.CMD_SIZE =>
275             s_done <= '0';
276             s_error <= '0';
277             s_return <= conv_std_logic_vector ( s_size + 1, C.DWIDTH);
278             s_state <= exit_ok;
279
280         when others => null;
281     end case;
282
283 when preinsert =>
284     s_search.reset <= '0';
285     s_state <= insert;
286
287 when insert =>
288     if ( s_search.done = '1' ) then
289         if ( s_found.tid = 0 ) then -- Insert in tail
290             s_tail.tid <= s_command.tid;
291             s_next.table ( s_tail.tid - 1 ) <= s_command.tid;
292             s_prev.table ( s_command.tid - 1 ) <= s_tail.tid;
293             s_next.table ( s_command.tid - 1 ) <= 0;
294         else -- Insert in middle
295             if ( s_prev.table ( s_found.tid - 1 ) = 0 ) then -- inserting in the HEAD
296                 s_head.tid <= s_command.tid;
297             end if;
298             s_next.table ( s_command.tid - 1 ) <= s_found.tid;
299             s_prev.table ( s_command.tid - 1 ) <= s_prev.table ( s_found.tid - 1 );
300             if ( s_prev.table ( s_found.tid - 1 ) > 0 ) then
301                 s_next.table ( s_prev.table ( s_found.tid - 1 ) - 1 ) <= s_command.tid;
302             end if;
303             s_prev.table ( s_found.tid - 1 ) <= s_command.tid;
304         end if;
305         s_return <= conv_std_logic_vector ( s_command.tid, C.DWIDTH);
306         s_size <= s_size + 1;
307         s_state <= exit_ok;
308     end if;
309
310 when destroy =>
311     s_tid.bitmap ( s_command.tid - 1 ) <= '0'; -- Free tid
312     s_obj.table ( s_command.tid - 1 ) <= ( others => '0' );
313     s_order.table ( s_command.tid - 1 ) <= ( others => '0' );
314     if ( s_enqueue.bitmap ( s_command.tid - 1 ) = '1' ) then -- TID enqueue
315         s_state <= remove;
316     else
317         s_state <= exit_ok;
318     end if;
319
320 when remove =>
321     s_return <= s_obj.table ( s_command.tid - 1 );
322     s_enqueue.bitmap ( s_command.tid - 1 ) <= '0';
323     if ( s_prev.table ( s_command.tid - 1 ) = 0 ) then -- is head
324         s_head.tid <= s_next.table ( s_command.tid - 1 );
325     else
326         s_next.table ( s_prev.table ( s_command.tid - 1 ) - 1 ) <= s_next.table ( s_command.tid - 1 );
327     end if;
328     if ( s_next.table ( s_command.tid - 1 ) = 0 ) then -- is tail
329         s_tail.tid <= s_prev.table ( s_command.tid - 1 );
330     else
331         s_prev.table ( s_next.table ( s_command.tid - 1 ) - 1 ) <= s_prev.table ( s_command.tid - 1 );
332     end if;
333     s_next.table ( s_command.tid - 1 ) <= 0;
334     s_prev.table ( s_command.tid - 1 ) <= 0;
335     s_size <= s_size - 1;
336     s_state <= exit_ok;
337
338 when exit_ok =>
339     s_done <= '1';
340     s_state <= idle;
341
342 when exit_error =>
343     s_done <= '1';
344     s_error <= '1';
345     s_state <= idle;
346
347 when acknowledge_int =>
348     s_done <= '1';
349     s_int.ack <= '0';
350     s_state <= idle;
351
352 when reset_time =>
353     s_done <= '1';
354     s_time.reset <= '0';
355     s_state <= idle;
356
357 when pregetid =>
358     s_stid.start <= '0';
359     s_state <= getid;
360
361 when getid =>
362     if ( s_stid.done = '1' ) then
363         if ( s_stid.found = 0 ) then
364             s_return <= ( others => '0' );
365             s_state <= exit_error;
366         else
367             s_return <= conv_std_logic_vector ( s_stid.found , C.DWIDTH);

```



```

464         end if ;
465         if ( s.int_ack = '1' ) then
466             s.reschedule <= '0';
467             s.counter <= s.quantum_ticks;
468         end if ;
469     end if ;
470 end process ;
471 end Behavioral ;
472
473 end Behavioral ;

```

scheduler.vhd

scheduler.h

```

1 // EPOS— Scheduler Abstraction Declarations
2
3 #ifndef __scheduler.h
4 #define __scheduler.h
5
6 #include <utility/queue.h>
7 #include <rtc.h>
8 #include <tsc.h>
9
10
11 __BEGIN_SYS
12
13 extern TSC schtsc;
14
15 // All scheduling criteria , or disciplins , must define operator int() with
16 // semantics of returning the desired order of a given object in the
17 // scheduling list
18 namespace Scheduling.Criteria
19 {
20     // Priority ( static and dynamic)
21     class Priority
22     {
23     public:
24         enum {
25             MAIN = 0,
26             HIGH = 1,
27             NORMAL = (unsigned(1) << (sizeof(int) * 8 - 1)) - 3,
28             LOW = (unsigned(1) << (sizeof(int) * 8 - 1)) - 2,
29             IDLE = (unsigned(1) << (sizeof(int) * 8 - 1)) - 1
30         };
31
32     public:
33         Priority (int p = NORMAL): _priority(p) {}
34
35         operator const volatile int() const volatile { return _priority ; }
36
37     protected:
38         volatile int _priority ;
39     };
40
41     // Round-Robin
42     class RoundRobin: public Priority
43     {
44     public:
45         enum {
46             MAIN = 0,
47             NORMAL = 1,
48             IDLE = (unsigned(1) << (sizeof(int) * 8 - 1)) - 1
49         };
50
51     public:
52         RoundRobin(int p = NORMAL): Priority(p) {}
53     };
54
55     // First-Come, First-Served (FIFO)
56     class FCFS: public Priority
57     {
58     public:
59         enum {
60             MAIN = 0,
61             NORMAL = 1,
62             IDLE = (unsigned(1) << (sizeof(int) * 8 - 1)) - 1
63         };
64
65     public:
66         FCFS(int p = NORMAL)
67             : Priority ((p == IDLE) ? IDLE : TSC::time_stamp0) {}
68     };
69
70     // Rate Monotonic
71     class RM: public Priority
72     {
73     public:
74         enum {
75             MAIN = 0,
76             PERIODIC = 1,

```

```

77     APERIODIC = (unsigned(1) << (sizeof(int) * 8 - 1)) - 2,
78     NORMAL = APERIODIC,
79     IDLE = (unsigned(1) << (sizeof(int) * 8 - 1)) - 1
80 };
81
82 public:
83     RM(int p): Priority(p), _deadline(0) {} // Aperiodic
84     RM(const RTC::Microsecond & d): Priority(PERIODIC), _deadline(d) {}
85
86 private:
87     RTC::Microsecond _deadline;
88 };
89
90 // Earliest Deadline First
91 class EDF: public Priority
92 {
93 public:
94     enum {
95         MAIN = 0,
96         PERIODIC = 1,
97         APERIODIC = (unsigned(1) << (sizeof(int) * 8 - 1)) - 2,
98         NORMAL = APERIODIC,
99         IDLE = (unsigned(1) << (sizeof(int) * 8 - 1)) - 1
100     };
101
102 public:
103     EDF(int p): Priority(p), _deadline(0) {} // Aperiodic
104     EDF(const RTC::Microsecond & d): Priority(d >> 8), _deadline(d) {}
105
106 private:
107     RTC::Microsecond _deadline;
108 };
109 };
110
111
112 template <typename T, bool hardware>
113 class Scheduler_Imp;
114
115 template <typename T>
116 class Scheduler_Imp<T, false>
117 {
118 protected:
119     typedef typename T::Criterion Rank_Type;
120
121     static const bool smp = Traits<Thread>::smp;
122
123     typedef Scheduling_Queue<T, Rank_Type, smp> Queue;
124
125 public:
126     typedef T Object_Type;
127     typedef typename Queue::Element Element;
128
129 public:
130     Scheduler_Imp() {}
131
132     unsigned int schedulables () { return _ready.size (); }
133
134     T * volatile chosen () {
135         return const_cast<T * volatile>(_ready.chosen()->object());
136     }
137
138     void insert (T * obj) {
139         db<Scheduler_Imp>(TRC) <<< "Scheduler[chosen=" <<< chosen()
140             <<< "]:insert(" <<< obj <<< ")\\n";
141         //TSC::Time_Stamp tmp = schtsc.time_stamp ();
142         _ready.insert (obj->link());
143         //tmp = schtsc.time_stamp () - tmp;
144         //kout <<< tmp <<< "\\n";
145     }
146
147     T * remove(T * obj) {
148         db<Scheduler_Imp>(TRC) <<< "Scheduler[chosen=" <<< chosen()
149             <<< "]:remove(" <<< obj <<< ")\\n";
150         //TSC::Time_Stamp tmp = schtsc.time_stamp ();
151         T * retu = _ready.remove(obj) ? obj : 0;
152         //tmp = schtsc.time_stamp () - tmp;
153         //kout <<< tmp <<< "\\n";
154         return retu;
155     }
156
157     void suspend(T * obj) {
158         db<Scheduler_Imp>(TRC) <<< "Scheduler[chosen=" <<< chosen()
159             <<< "]:suspend(" <<< obj <<< ")\\n";
160         //TSC::Time_Stamp tmp = schtsc.time_stamp ();
161         _ready.remove(obj);
162         //tmp = schtsc.time_stamp () - tmp;
163         //kout <<< tmp <<< "\\n";
164     }
165
166     void resume(T * obj) {
167         db<Scheduler_Imp>(TRC) <<< "Scheduler[chosen=" <<< chosen()
168             <<< "]:resume(" <<< obj <<< ")\\n";
169         //TSC::Time_Stamp tmp = schtsc.time_stamp ();
170         _ready.insert (obj->link());
171         //tmp = schtsc.time_stamp () - tmp;
172         //kout <<< tmp <<< "\\n";

```

```

173 }
174
175 T * choose() {
176     //db<Scheduler.Imp>(TRC) << "Scheduler[chosen=" << chosen()
177     //    << "]:choose() => ";
178     //TSC::Time_Stamp tmp = schtsc.time_stamp();
179     T * obj = _ready.choose()->object();
180     //db<Scheduler.Imp>(TRC) << obj << "\n";
181     //tmp = schtsc.time_stamp() - tmp;
182     //kout << tmp << "\n";
183     return obj;
184 }
185
186 T * choose_another() {
187     //db<Scheduler.Imp>(TRC) << "Scheduler[chosen=" << chosen()
188     //    << "]:choose_another() => ";
189     //TSC::Time_Stamp tmp = schtsc.time_stamp();
190     T * obj = _ready.choose_another()->object();
191     //db<Scheduler.Imp>(TRC) << obj << "\n";
192     //tmp = schtsc.time_stamp() - tmp;
193     //kout << tmp << "\n";
194     return obj;
195 }
196
197 T * choose(T * obj) {
198     //db<Scheduler.Imp>(TRC) << "Scheduler[chosen=" << chosen()
199     //    << "]:choose(" << obj;
200     //TSC::Time_Stamp tmp = schtsc.time_stamp();
201     if (!_ready.choose(obj))
202         obj = 0;
203     //db<Scheduler.Imp>(TRC) << " ) => " << obj << "\n";
204     //tmp = schtsc.time_stamp() - tmp;
205     //kout << tmp << "\n";
206     return obj;
207 }
208
209 static void reset_quantum();
210 static void init();
211
212 private:
213     Scheduling_Queue<Object_Type, Rank_Type, smp> _ready;
214 };
215
216
217 template <typename T>
218 class Scheduler.Imp<T, true>
219 {
220 protected:
221     typedef typename T::Criterion Rank_Type;
222     static const bool smp = Traits<Thread>::smp;
223     typedef Scheduling_Queue<T, Rank_Type, smp> Queue;
224
225     // Commands
226     enum {
227         CMD_CREATE      = 0x01000000,
228         CMD_DESTROY     = 0x02000000,
229         CMD_INSERT      = 0x03000000,
230         CMD_REMOVE      = 0x04000000,
231         CMD_REMOVE_HEAD = 0x05000000,
232         CMD_UPDATE_RUNNING = 0x06000000,
233         CMD_SET_QUANTUM = 0x07000000,
234         CMD_ENABLE      = 0x08000000,
235         CMD_DISABLE     = 0x09000000,
236         CMD_INT_ACK     = 0x0A000000,
237         CMD_GETID       = 0x0B000000,
238         CMD_CHOSEN      = 0x0C000000,
239         CMD_SIZE        = 0x0D000000,
240         CMD_RSTICKS     = 0x0E000000
241     };
242
243     // Status
244     enum {
245         STAT_RESCHEDULE = 0x00200000,
246         STAT_ENABLE     = 0x00100000,
247         STAT_DONE       = 0x00080000,
248         STAT_FULL       = 0x00040000,
249         STAT_EMPTY      = 0x00020000,
250         STAT_ERROR      = 0x00010000
251     };
252
253 public:
254     typedef T Object_Type;
255     typedef typename Queue::Element Element;
256
257 public:
258     Scheduler.Imp() {}
259
260     unsigned int schedulables() { return execute_cmd(CMD_SIZE, 0, 0); }
261
262     T * volatile chosen() {
263         T * obj = (T*)execute_cmd(CMD_CHOSEN, 0, 0);
264         return const_cast<T * volatile>(obj);
265     }
266
267     void insert(T * obj) {
268         //TSC::Time_Stamp tmp = schtsc.time_stamp();

```

```

269     int priority = obj->criterion();
270     int tid = execute_cmd(CMD.CREATE, priority, (int)obj);
271     if (tid > 0) {
272         if (!chosen()) {
273             execute_cmd(CMD.UPDATE.RUNNING, 0, tid);
274         } else {
275             execute_cmd(CMD.INSERT, priority, tid);
276         }
277     }
278     //tmp = schtsc.time_stamp() - tmp;
279     //kout << tmp << "\n";
280 }
281
282 T * remove(T * obj) {
283     //TSC::Time_Stamp tmp = schtsc.time_stamp();
284
285     int tid = execute_cmd(CMD.GETID, 0, (int)obj);
286     if (tid < 0) {
287         obj = 0;
288     } else {
289         //return 0; //Thread not found!
290
291         T * running = chosen();
292         execute_cmd(CMD.DESTROY, 0, tid); //Destroy thread
293
294         if (obj == running) {
295             //REMOVE HEAD AND UPDATE RUNNING
296             running = (T*) execute_cmd(CMD.REMOVE.HEAD, 0, 0);
297             tid = execute_cmd(CMD.GETID, 0, (int)running);
298             execute_cmd(CMD.UPDATE.RUNNING, 0, tid);
299         }
300     }
301     //tmp = schtsc.time_stamp() - tmp;
302     //kout << tmp << "\n";
303
304     return obj;
305 }
306
307 void suspend(T * obj) {
308     //TSC::Time_Stamp tmp = schtsc.time_stamp();
309
310     int tid = execute_cmd(CMD.GETID, 0, (int)obj);
311     if (tid < 0) return; //Thread not found!
312
313     execute_cmd(CMD.REMOVE, 0, tid);
314
315     if (obj == chosen()) {
316         tid = execute_cmd(CMD.GETID, 0, execute_cmd(CMD.REMOVE.HEAD, 0, 0));
317         execute_cmd(CMD.UPDATE.RUNNING, 0, tid);
318     }
319
320     //tmp = schtsc.time_stamp() - tmp;
321     //kout << tmp << "\n";
322
323 }
324
325 void resume(T * obj) {
326     //TSC::Time_Stamp tmp = schtsc.time_stamp();
327
328     int tid = execute_cmd(CMD.GETID, 0, (int)obj);
329     if (tid)
330         execute_cmd(CMD.INSERT, obj->criterion(), tid);
331
332     //tmp = schtsc.time_stamp() - tmp;
333     //kout << tmp << "\n";
334
335 }
336
337 T * choose() {
338     //TSC::Time_Stamp tmp = schtsc.time_stamp();
339
340     // Insert Running
341     T * obj = chosen();
342     //kout << "Chosen = " << (void*)obj << "\n";
343     int obj_tid = execute_cmd(CMD.GETID, 0, (int)obj);
344     execute_cmd(CMD.INSERT, obj->criterion(), obj_tid);
345
346     // Get REMOVE HEAD
347     obj = (T*)execute_cmd(CMD.REMOVE.HEAD, 0, 0);
348     //kout << "Head = " << (void*)obj << "\n";
349     obj_tid = execute_cmd(CMD.GETID, 0, (int)obj);
350
351     // Set HEAD Running
352     execute_cmd(CMD.UPDATE.RUNNING, 0, obj_tid);
353
354     //tmp = schtsc.time_stamp() - tmp;
355     //kout << tmp << "\n";
356
357     return obj;
358 }
359
360 T * choose_another() {
361     //TSC::Time_Stamp tmp = schtsc.time_stamp();
362
363     // Remove HEAD
364     T * obj = (T*)execute_cmd(CMD.REMOVE.HEAD, 0, 0);

```

```

365
366 // Insert Running
367 T * running = chosen();
368 int rtid = execute_cmd(CMD_GETID, 0, (int)running);
369 execute_cmd(CMD_INSERT, running-> criterion(), rtid);
370
371 // Update Running
372 execute_cmd(CMD_UPDATE_RUNNING, 0, execute_cmd(CMD_GETID, 0, (int)obj));
373
374 //tmp = schtsc.time_stamp() - tmp;
375 //kout << tmp << "\n";
376
377 return obj;
378 }
379
380 T * choose(T * obj) {
381 //TSC::Time_Stamp tmp = schtsc.time_stamp();
382
383 //PROCURA OBJETO
384 int obj_id = execute_cmd(CMD_GETID, 0, (int)obj);
385 if (!obj_id) {
386 obj = 0;
387 } else {
388 //REMOVE OBJ
389 if (!execute_cmd(CMD_REMOVE, 0, obj_id)) {
390 obj = 0; //obj nao esta na fila !
391 } else {
392 T * running = chosen();
393 int rtid = execute_cmd(CMD_GETID, 0, (int)running);
394 execute_cmd(CMD_INSERT, running-> criterion(), rtid);
395 // Seta running
396 execute_cmd(CMD_UPDATE_RUNNING, 0, obj_id);
397 }
398 }
399
400 //tmp = schtsc.time_stamp() - tmp;
401 //kout << tmp << "\n";
402
403 return obj;
404 }
405
406 static void reset_quantum();
407 static void int_handler (unsigned int interrupt );
408 static void init ();
409
410 private:
411 static int execute_cmd(int command, int prio , unsigned int parameter){
412 *param_return_reg = parameter;
413
414 *cmd_stat_reg = command | (0x000FFFF & prio);
415 while(!(* cmd_stat_reg & STAT_DONE));
416
417 if(* cmd_stat_reg & STAT_ERROR) {
418 return -1;
419 }
420 return *param_return_reg;
421 }
422
423 private:
424 static volatile unsigned int * cmd_stat_reg ;
425 static volatile unsigned int * param_return_reg ;
426
427 };
428
429 // Objects subject to scheduling by Scheduler must declare a type "Criterion"
430 // that will be used as the scheduling criterion (viz, through operators <, >,
431 // and ==) and must also define a method "link" to access the list element
432 // pointing to the object.
433 template <typename T>
434 class Scheduler: public Scheduler.Imp<T, Traits<Scheduler<Thread>>::hardware> {
435
436 };
437
438
439 __END_SYS
440
441 #endif

```

scheduler.h

scheduler.cc

```

1 // EPOS -- Scheduler Abstraction Implementation
2
3 #include <system/kmalloc.h>
4 #include <thread.h>
5 #include <alarm.h>
6 #include <scheduler.h>
7 #include <machine.h>
8
9 __BEGIN_SYS

```

```

10 |
11 | TSC schtsc;
12 |
13 | // Class attributes
14 | template <>
15 | volatile unsigned int * Scheduler.Imp<Thread, true>::cmd_stat_reg = (unsigned int *)Traits <Scheduler<Thread> >::BASE_ADDRESS;
16 | template <>
17 | volatile unsigned int * Scheduler.Imp<Thread, true>::param_return_reg = (unsigned int *) ( Traits <Scheduler<Thread> >::BASE_ADDRESS+4);
18 |
19 | // Methods
20 | // Class methods
21 | template <>
22 | void Scheduler.Imp<Thread, false>::reset_quantum() {
23 |     Alarm:: reset_master ();
24 | }
25 |
26 | template <>
27 | void Scheduler.Imp<Thread, true>::reset_quantum() {
28 |     execute_cmd(CMD_RSTICKS, 0, 0);
29 | }
30 |
31 | template <>
32 | void Scheduler.Imp<Thread, true>::int_handler(unsigned int interrupt ) {
33 |     volatile unsigned int * sch_isr = (unsigned int *) (0x41400220);
34 |     // kout << "@";
35 |     execute_cmd(CMD_INT_ACK, 0, 0);
36 |     *sch_isr = *sch_isr; // ack
37 |     Thread:: time_reschedule ();
38 | }
39 |
40 | ..END_SYS

```

scheduler.cc

alarm.vhd

```

1 | -----
2 | -- Company: Software and Hardware Integration Lab - LISHA
3 | -- Engineer: Hugo Marcondes
4 |
5 | -- Design Name: Hardware Alarm
6 | -- Project Name: Hybrid Hw/Sw Components
7 | -----
8 |
9 | library IEEE;
10 | use IEEE.STD_LOGIC_1164.ALL;
11 | use IEEE.STD_LOGIC_ARITH.ALL;
12 | use IEEE.STD_LOGIC_UNSIGNED.ALL;
13 |
14 | ----- Uncomment the following library declaration if instantiating
15 | ----- any Xilinx primitives in this code.
16 | --library UNISIM;
17 | --use UNISIM.VComponents.all;
18 |
19 | entity Alarm is
20 |
21 |     Generic ( C_MAX_ALARMS: integer := 8;
22 |              C_CLK_PRESCALE: integer := 100;
23 |              C_DWIDTH: integer := 32
24 |            );
25 |
26 |     Port ( p_clk : in std_logic ;
27 |           p_reset : in std_logic ;
28 |           p_command : in std_logic_vector (0 to 2);
29 |           p_alarm_id : in std_logic_vector (0 to 15);
30 |           p_param1 : in std_logic_vector (0 to C_DWIDTH-1);
31 |           p_param2 : in std_logic_vector (0 to C_DWIDTH-1);
32 |           p_return : out std_logic_vector (0 to C_DWIDTH-1);
33 |           p_status : out std_logic_vector (0 to 2);
34 |           p_interrupt : out std_logic
35 |         );
36 |
37 | end Alarm;
38 |
39 | architecture Behavioral of Alarm is
40 |
41 |     -- Alarm Commands
42 |     constant C_CMD_CREATE: std_logic_vector (0 to 2) := "001";
43 |     constant C_CMD_DESTROY: std_logic_vector (0 to 2) := "010";
44 |     constant C_CMD_TICKS: std_logic_vector (0 to 2) := "011";
45 |     constant C_CMD_GETALARM: std_logic_vector (0 to 2) := "100";
46 |     constant C_CMD_ACK_INT: std_logic_vector (0 to 2) := "101";
47 |     constant C_CMD_ACTIVE: std_logic_vector (0 to 2) := "110";
48 |     constant C_NO_INTERRUPTS: std_logic_vector (0 to C_MAX_ALARMS-1) := (others => '0');
49 |
50 |     -- State Machine Type
51 |     type t_state is (idle, wait_ack, wait_exit_ok, exit_ok, exit_error);
52 |     signal s_state : t_state;
53 |
54 |     -- Internal Memory Types
55 |     type t_bus_width_table is array (0 to C_MAX_ALARMS-1) of std_logic_vector(0 to C_DWIDTH-1);

```

```

56 type t_integer_table is array (0 to C.MAX_ALARMS-1) of integer;
57
58 signal s_obj_table : t_bus_width_table ;
59 signal s_ticks_table : t_integer_table ;
60 signal s_counter_table : t_integer_table ;
61 signal s_alarm_bitmap : std_logic_vector (0 to C.MAX_ALARMS-1);
62 signal s_active_bitmap : std_logic_vector (0 to C.MAX_ALARMS-1);
63 signal s_reset_counter : std_logic_vector (0 to C.MAX_ALARMS-1);
64 -- signal s_interrupt : std_logic_vector (0 to C.MAX_ALARMS-1);
65 signal s_interrupt : std_logic ;
66
67 -- Port signals
68 signal s_return : std_logic_vector (0 to C.DWIDTH-1);
69
70 -- Status Signals
71 signal s_done : std_logic ;
72 signal s_error : std_logic ;
73 signal s_full : std_logic ;
74
75 -- ID Allocation Signals
76 signal s_free_id : integer range 0 to C.MAX_ALARMS := 0;
77 signal s_interrupt_id : integer range 0 to C.MAX_ALARMS := 0;
78 signal s_alarm_id : integer range 0 to C.MAX_ALARMS := 0;
79 signal s_ack_int : std_logic ;
80
81 begin
82 p_return <= s_return;
83 p_status <= s_done & s_full & s_error ;
84 p_interrupt <= s_interrupt ;
85 -- '1' when (s_interrupt /= C.NO_INTERRUPTS) else '0';
86
87 -- %%%%%%%%%%%%%%%
88 -- Main processes responsible to control the state machine
89 mainProcess: process (p_clk, p_reset, p_command)
90 begin
91 if p_clk 'event and p_clk = '1' then
92 -- Reset Handling
93 if p_reset = '1' then
94 for i in 0 to C.MAX_ALARMS-1 loop
95 s_obj_table (i) <= (others => '0');
96 s_ticks_table (i) <= 0;
97
98 end loop;
99 s_alarm_bitmap <= (others => '0');
100 s_active_bitmap <= (others => '0');
101 s_reset_counter <= (others => '0');
102 s_return <= (others => '0');
103 s_alarm_id <= 0;
104 s_ack_int <= '0';
105 s_done <= '0';
106 s_error <= '0';
107 s_state <= idle;
108
109 else
110 -- Control Pulse - Signals
111 for i in 0 to C.MAX_ALARMS-1 loop
112 if ( s_reset_counter (i) = '1' ) then
113 s_reset_counter (i) <= '0';
114
115 end if;
116
117 if ( s_ack_int = '1' ) then
118 s_ack_int <= '0';
119
120 end if;
121
122 -- Finite State Machine Controller
123 case s_state is
124 when idle =>
125 if ( s_interrupt = '1' ) then
126 s_active_bitmap ( s_interrupt_id -1 ) <= '0';
127 s_state <= wait_ack;
128
129 else
130 case p_command is
131 when C.CMD.CREATE =>
132 s_done <= '0';
133 s_error <= '0';
134 if ( s_full = '0' ) then
135 s_alarm_bitmap ( s_free_id -1 ) <= '1';
136 s_active_bitmap ( s_free_id -1 ) <= '1';
137 s_reset_counter ( s_free_id -1 ) <= '1';
138 s_obj_table ( s_free_id -1 ) <= p_param1;
139 s_ticks_table ( s_free_id -1 ) <= conv_integer(p_param2);
140 s_return <= conv_std_logic_vector ( s_free_id , C.DWIDTH);
141 s_state <= exit_ok;
142
143 else
144 s_state <= exit_error ;
145
146 end if;
147
148 when C.CMD.DESTROY =>
149 s_done <= '0';
150 s_error <= '0';
151 s_alarm_bitmap ( conv_integer (p_param1)-1 ) <= '0';
152 s_active_bitmap ( conv_integer (p_param1)-1 ) <= '0';
153 s_obj_table ( conv_integer (p_param1)-1 ) <= (others => '0');
154 s_ticks_table ( conv_integer (p_param1)-1 ) <= 0;
155 s_state <= exit_ok;
156
157 when C.CMD.TICKS =>

```

```

152         s_done <= '0';
153         s_error <= '0';
154         if (s_alarm_bitmap( conv_integer ( p_alarm_id ) - 1 ) = '1') then
155             s_return <= conv_std_logic_vector( s_ticks.table ( conv_integer ( p_alarm_id ) - 1),
156                 C_DWIDTH);
157             s_state <= exit_ok;
158         else
159             s_state <= exit_error;
160         end if;
161
162         -- New commands
163         when others => null;
164     end case;
165 end if;
166
167 when wait_ack =>
168     case p_command is
169
170         when C_CMD_GETALARM =>
171             s_done <= '0';
172             s_error <= '0';
173             -- For testbench
174             -- s_return <= conv_std_logic_vector( s_interrupt_id , C_DWIDTH);
175             s_return <= s_obj_table ( s_interrupt_id - 1);
176             s_state <= wait_exit_ok;
177
178         when C_CMD_ACTIVE =>
179             s_done <= '0';
180             s_error <= '0';
181             s_active_bitmap ( conv_integer ( p_alarm_id ) - 1 ) <= '1';
182             s_state <= wait_exit_ok;
183
184         when C_CMD_ACK_INT =>
185             s_done <= '0';
186             s_error <= '0';
187             s_ack_int <= '1';
188             s_alarm_id <= conv_integer ( p_alarm_id );
189             s_reset_counter ( conv_integer ( p_alarm_id ) - 1 ) <= '1';
190             s_state <= exit_ok;
191
192         when others =>
193             null;
194     end case;
195
196 when wait_exit_ok =>
197     s_done <= '1';
198     s_state <= wait_ack;
199
200 when exit_ok =>
201     s_done <= '1';
202     s_state <= idle;
203
204 when exit_error =>
205     s_done <= '1';
206     s_error <= '1';
207     s_state <= idle;
208
209 when others =>
210     null;
211
212 end case;
213 end if;
214 end process;
215
216 -- %%%%%%%%%%%
217 -- %%%%%%%%%%%
218 -- Counter Decrementer Process
219 counterDecr: process ( p_clk , p_reset )
220     variable v_counter: integer := 0;
221 begin
222     if p_clk'event and p_clk = '1' then
223         if p_reset = '1' then
224             v_counter := 0;
225             s_interrupt <= '0';
226             for i in 0 to C_MAX_ALARMS - 1 loop
227                 s_counter_table ( i ) <= 0;
228             end loop;
229         else
230             if ( s_ack_int = '1' ) then
231                 s_interrupt_id <= 0;
232                 s_counter_table ( s_alarm_id - 1 ) <= s_ticks.table ( s_alarm_id - 1);
233             elsif ( s_interrupt_id /= 0 ) then -- Wait for ACK!
234                 s_interrupt <= '0';
235             else
236                 v_counter := v_counter + 1;
237                 if ( v_counter = C_CLK_PRESCALE ) then
238                     for i in 0 to C_MAX_ALARMS - 1 loop
239                         s_counter_table ( i ) <= s_counter_table ( i ) - 1;
240                     end loop;
241                 end if;
242             end if;
243         end if;
244     end process;
245

```



```

247         v_counter := 0;
248     end if;
249
250     for i in 0 to C_MAX_ALARMS-1 loop
251         if ( s_reset_counter (i) = '1') then
252             s_counter_table (i) <= s_ticks_table (i);
253         else
254             if (( s_active_bitmap (i) = '1') and
255                 ( s_counter_table (i) <= 0) and
256                 ( s_interrupt_id = 0) and
257                 ( s_state = idle)) then
258                 s_interrupt <= '1';
259                 s_interrupt_id <= i+1;
260             end if;
261         end if;
262     end loop;
263
264     end if;
265 end process;
266
267 -- %%%%%%%%%%%
268 -- %%%%%%%%%%%
269 -- Controls the allocation of tid to new threads.
270 -- %%%%%%%%%%%
271 -- %%%%%%%%%%%
272 SearchFreeTID: process (p_clk, p_reset)
273     variable v_or_vector : std_logic_vector (0 to C_MAX_ALARMS);
274 begin
275     if p_clk'event and p_clk = '1' then
276         if p_reset = '1' then
277             s_free_id <= 1;
278             s_full <= '0';
279         else
280             v_or_vector (0) := '0' or (not s_alarm_bitmap(0));
281             for row in 1 to C_MAX_ALARMS-1 loop
282                 v_or_vector (row) := v_or_vector (row-1) or (not s_alarm_bitmap(row));
283             end loop;
284             s_full <= not v_or_vector(C_MAX_ALARMS-1);
285             for row in 1 to C_MAX_ALARMS loop
286                 if (s_alarm_bitmap(row-1)='0') then
287                     s_free_id <= row;
288                 end if;
289             end loop;
290         end if;
291     end if;
292 end process;
293 -- %%%%%%%%%%%
294 -- %%%%%%%%%%%
295
296
297
298 end Behavioral;

```

alarm.vhd

alarm.h

```

1 // EPOS -- Alarm Abstraction Declarations
2
3 #ifndef _alarm.h
4 #define _alarm.h
5
6 #include <utility/queue.h>
7 #include <utility/handler.h>
8 #include <tsc.h>
9 #include <rtc.h>
10 #include <timer.h>
11
12 _BEGIN_SYS
13
14
15 template <bool hardware>
16 class Alarm_Imp;
17
18 template <>
19 class Alarm_Imp<false>
20 {
21 protected:
22     typedef TSC::Time_Stamp Time_Stamp;
23     typedef Timer::Tick Tick;
24
25     typedef Relative_Queue<Alarm_Imp<false>, int, Traits<Thread>::smp> Queue;
26
27     static const int FREQUENCY = Traits<Timer>::FREQUENCY;
28
29     static const bool visible = Traits<Alarm>::visible;
30
31 public:
32     typedef TSC::Hertz Hertz;
33     typedef RTC::Microsecond Microsecond;
34

```

```

35 // Infinite times (for alarms)
36 enum { INFINITE = -1 };
37
38 class Master
39 {
40 public:
41     Master() {}
42     Master(const Microsecond & time, Handler::Function * handler)
43         : _ticks (ticks (time)), _to_go( _ticks ), _handler (handler) {}
44
45     void operator()() {
46         if( _ticks && (_to_go-- <= 0)) {
47             _to_go = _ticks;
48             _handler();
49         }
50     }
51
52     int reset () {
53         Tick percentage = _to_go * 100 / _ticks;
54         _to_go = _ticks;
55         return percentage;
56     }
57
58 private:
59     Tick _ticks;
60     volatile Tick _to_go;
61     Handler::Function * _handler;
62 };
63
64 public:
65 Alarm_Imp(const Microsecond & time, Handler * handler, int times = 1);
66 ~Alarm_Imp();
67
68 static Hertz frequency() {return _timer.frequency(); }
69 static void delay(const Microsecond & time);
70
71 static void master(const Microsecond & time, Handler::Function * handler);
72 static int reset_master () { return _master.reset(); }
73
74     static volatile Tick elapsed() {return _elapsed;}
75
76 static void int_handler (unsigned int irq);
77
78 static int init ();
79
80 private:
81 Alarm_Imp(const Microsecond & time, Handler * handler, int times,
82     bool int_enable);
83
84 static Microsecond period() {
85     return 1000000 / frequency();
86 }
87
88 static Tick ticks(const Microsecond & time) {
89     return (time + period()) / period();
90 }
91
92 private:
93 Tick _ticks;
94 Handler * _handler;
95 int _times;
96 Queue::Element _link;
97
98 static Timer _timer;
99 static volatile Tick _elapsed;
100 static Master _master;
101 static Queue _requests;
102 };
103
104
105 template <>
106 class Alarm_Imp<true>
107 {
108 protected:
109 typedef TSC::Time_Stamp Time_Stamp;
110 typedef Timer::Tick Tick;
111
112 static const int FREQUENCY = Traits<Alarm>::FREQUENCY;
113
114 // Commands
115 enum {
116     CMD_CREATE = 0x01000000,
117     CMD_DESTROY = 0x02000000,
118     CMD_TICKS = 0x03000000,
119     CMD_GETALARM = 0x04000000,
120     CMD_ACK_INT = 0x05000000,
121     CMD_ACTIVE = 0x06000000
122 };
123
124 // Status
125 enum {
126     STAT_DONE = 0x00040000,
127     STAT_FULL = 0x00020000,
128     STAT_ERROR = 0x00010000
129 };
130

```

```

131 public:
132     typedef TSC::Hertz Hertz;
133     typedef RTC::Microsecond Microsecond;
134
135     // Infinite times (for alarms)
136     enum { INFINITE = -1 };
137
138
139 public:
140     Alarm_Imp(const Microsecond & time, Handler * handler, int times = 1);
141     ~Alarm_Imp();
142
143     static Hertz frequency() { return FREQUENCY; }
144     static void delay(const Microsecond & time);
145
146     static void master(const Microsecond & time, Handler::Function * handler);
147     static int reset_master() { return 0; } // _master.reset(); }
148
149     static void int_handler(unsigned int irq);
150
151     static volatile Tick elapsed() { return 0; }
152
153     static int init();
154
155 private:
156     Alarm_Imp(const Microsecond & time, Handler * handler, int times,
157              bool int_enable);
158
159     static Microsecond period() {
160         return 1000000 / frequency();
161     }
162
163     static Tick ticks(const Microsecond & time) {
164         return (time + period()) / period();
165     }
166
167 private:
168     static int execute_cmd(int command, int id = 0){
169         device_regs[0] = command | (0x0000FFFF & id);
170         while(!(device_regs[0] & STAT_DONE));
171
172         if (device_regs[0] & STAT_ERROR) {
173             return -1;
174         }
175         return device_regs[1];
176     }
177     static int execute_cmd(int command, int id, unsigned int p0){
178         device_regs[1] = p0;
179         device_regs[0] = command | (0x0000FFFF & id);
180         while(!(device_regs[0] & STAT_DONE));
181
182         if (device_regs[0] & STAT_ERROR) {
183             return -1;
184         }
185         return device_regs[1];
186     }
187     static int execute_cmd(int command, int id, unsigned int p0, unsigned int p1){
188         device_regs[2] = p1;
189         device_regs[1] = p0;
190         device_regs[0] = command | (0x0000FFFF & id);
191         while(!(device_regs[0] & STAT_DONE));
192
193         if (device_regs[0] & STAT_ERROR) {
194             return -1;
195         }
196         return device_regs[1];
197     }
198
199 private:
200     Handler * _handler;
201     int _times;
202     unsigned int _id;
203     // static Master _master;
204     static volatile unsigned int * device_regs;
205
206 };
207
208
209 class Alarm: public Alarm_Imp<Traits<Alarm>::hardware> {
210 public:
211     Alarm(const Microsecond & time, Handler * handler, int times = 1):
212         Alarm_Imp<Traits<Alarm>::hardware>(time, handler, times) {}
213
214 };
215
216
217 _END_SYS
218
219 #endif

```

alarm.h

alarm.cc

```

1 // EPOS -- Alarm Abstraction Implementation
2
3 #include <system/kmalloc.h>
4 #include <display.h>
5 #include <alarm.h>
6 #include <thread.h>
7
8 _BEGIN_SYS
9
10 // Software Alarm
11
12 // Class attributes
13 Timer Alarm_Imp<false>::timer;
14 volatile Alarm_Imp<false>::Tick Alarm_Imp<false>::elapsed;
15 Alarm_Imp<false>::Master Alarm_Imp<false>::master;
16 Alarm_Imp<false>::Queue Alarm_Imp<false>::requests;
17
18 // Methods
19 Alarm_Imp<false>::Alarm_Imp(const Microsecond & time, Handler * handler, int times)
20 : _ticks (ticks (time)), _handler (handler), _times (times),
21   _link (this, _ticks)
22 {
23     db<Alarm>(TRC) << "Alarm(=" << time
24       << ",ticks=" << _ticks
25       << ",h=" << (void *)handler
26       << ",x=" << times << ")=> " << this << "\n";
27
28     if (_ticks) {
29         CPU::int_disable ();
30         _requests .insert (&_link);
31         CPU::int_enable ();
32     } else
33         (*handler)();
34 }
35
36 Alarm_Imp<false>::Alarm_Imp(const Microsecond & time, Handler * handler, int times,
37   bool int_enable)
38 : _ticks (ticks (time)), _handler (handler), _times (times),
39   _link (this, _ticks)
40 {
41     db<Alarm>(TRC) << "Alarm(=" << time
42       << ",ticks=" << _ticks
43       << ",h=" << (void *)handler
44       << ",x=" << times << ")=> " << this << "\n";
45
46     if (_ticks) {
47         CPU::int_disable ();
48         _requests .insert (&_link);
49         if (int_enable)
50             CPU::int_enable ();
51     } else
52         (*handler)();
53 }
54 Alarm_Imp<false>::Alarm_Imp() {
55     db<Alarm>(TRC) << "Alarm()\n";
56
57     CPU::int_disable ();
58     _requests .remove(this);
59     CPU::int_enable ();
60 }
61
62 void Alarm_Imp<false>::master(const Microsecond & time, Handler::Function * handler)
63 {
64     db<Alarm>(TRC) << "Alarm::master(=" << time << ",h="
65       << (void *)handler << ") \n";
66
67     CPU::int_disable ();
68     _master = Master(time, handler);
69     CPU::int_enable ();
70 }
71
72 void Alarm_Imp<false>::delay(const Microsecond & time)
73 {
74     db<Alarm>(TRC) << "Alarm::delay(=" << time << ") \n";
75     if (time > 0)
76         if (_SYS(Traits)<Thread>::idle_waiting) {
77             CPU::int_disable ();
78             Handler.Thread handler(Thread::self ());
79             Alarm_Imp alarm(time, &handler, 1, false);
80             Thread::self () -> suspend();
81             CPU::int_enable ();
82         } else {
83             Tick t = _elapsed + (time + period () / 2) / period ();
84             while(_elapsed < t)
85                 Thread::yield ();
86         }
87 }
88
89 void Alarm_Imp<false>::int_handler(unsigned int)
90 {
91     // This is a very special interrupt handler, for the master alarm handler
92     // called at the end might trigger a context switch (e.g. when it is set
93     // to call the thread scheduler). In this case, int_handler won't finish
94     // within the expected time (i.e., it will finish only when the preempted
95     // thread return to the CPU). For this NOT to be an issue, the following

```

```

96 // conditions MUST be met:
97 // 1 - The interrupt dispatcher must acknowledge the handling of interrupts
98 //    before invoking the respective handler, thus enabling subsequent
99 //    interrupts to be handled even if a previous didn't come to an end
100 // 2 - Handlers (e.g. master) must be called after incrementing _elapsed
101 // 3 - The manipulation of alarm queue must be guarded (e.g. int_disable )
102
103 CPU::int_disable ();
104
105 Handler * handler = 0;
106
107 _elapsed++;
108
109 if ( visible ) {
110     Display display ;
111     int lin , col ;
112     display . position (&lin , &col);
113     display . position (0, 79);
114     display . putc (_elapsed);
115     display . position (lin , col);
116 }
117
118 if (! _requests . empty()) {
119     // rank can be negative whenever multiple handlers get created for the
120     // same time tick
121     if ( _requests . head() -> promote() <= 0) {
122         Queue::Element * e = _requests . remove();
123         Alarm_Imp * alarm = e -> object();
124
125         if (alarm -> _times != INFINITE)
126             alarm -> _times --;
127         if (alarm -> _times) {
128             e -> rank(alarm -> _ticks);
129             _requests . insert (e);
130         }
131
132         handler = alarm -> _handler;
133
134         db<Alarm>(TRC) << "Alarm::handler(h=" << alarm -> _handler << ")\n";
135     }
136 }
137
138 CPU::int_enable ();
139
140 _master ();
141
142 if ( handler )
143     (*handler) ();
144 }
145
146 // Hardware Alarm
147 volatile unsigned int * Alarm_Imp<true>::device_regs = (unsigned int*)Traits<Alarm>::BASE_ADDRESS;
148
149 // Methods
150 Alarm_Imp<true>::Alarm_Imp(const Microsecond & time, Handler * handler, int times)
151 : _handler (handler) , _times(times) {
152
153     db<Alarm>(TRC) << "Alarm(t=" << time
154     << ",ticks=" << ticks(time)
155     << ",h=" << (void *)handler
156     << ",x=" << times << ")=> " << this << "\n";
157
158     if ( ticks (time)) {
159         CPU::int_disable ();
160         _id = execute_cmd(CMD.CREATE, 0, (unsigned int)this, (unsigned int) ticks (time));
161         CPU::int_enable ();
162     } else
163         (*handler) ();
164 }
165
166 Alarm_Imp<true>::Alarm_Imp(const Microsecond & time, Handler * handler, int times ,
167     bool int_enable )
168 : _handler (handler) , _times(times) {
169
170     db<Alarm>(TRC) << "Alarm(t=" << time
171     << ",ticks=" << ticks(time)
172     << ",h=" << (void *)handler
173     << ",x=" << times << ")=> " << this << "\n";
174
175
176     if ( ticks (time)) {
177         CPU::int_disable ();
178         _id = execute_cmd(CMD.CREATE, 0, (unsigned int)this, (unsigned int) ticks (time));
179         if ( int_enable )
180             CPU::int_enable ();
181     } else
182         (*handler) ();
183 }
184
185 Alarm_Imp<true>::~~Alarm_Imp() {
186     db<Alarm>(TRC) << "Alarm()\n";
187
188     CPU::int_disable ();
189     execute_cmd(CMD.DESTROY, _id);
190     CPU::int_enable ();

```

```

192 }
193
194 void Alarm.Imp<true>::master(const Microsecond & time, Handler::Function * handler)
195 {
196     db<Alarm>(TRC) <<< "Alarm:master(=" << time << ",h="
197         <<< (void *)handler <<< ")\\n";
198
199     //CPU::int_disable ();
200     //_master = Master(time, handler);
201     //CPU::int_enable ();
202 }
203
204 void Alarm.Imp<true>::delay(const Microsecond & time)
205 {
206     db<Alarm>(TRC) <<< "Alarm:delay(=" << time << ")\\n";
207     if (time > 0)
208         if (_SYS(Traits)<Thread>::idle_waiting) {
209             CPU::int_disable ();
210             Handler.Thread handler(Thread::self ());
211             Alarm.Imp<true> alarm(time, &handler, 1, false);
212             Thread::self ()->suspend();
213             CPU::int_enable ();
214         } else {
215             //Tick t = .elapsed + (time + period() / 2) / period();
216             //while( .elapsed < t)
217                 //Thread::yield ();
218         }
219 }
220
221 void Alarm.Imp<true>::int_handler(unsigned int)
222 {
223     // This is a very special interrupt handler, for the master alarm handler
224     // called at the end might trigger a context switch (e.g. when it is set
225     // to call the thread scheduler). In this case, int_handler won't finish
226     // within the expected time (i.e., it will finish only when the preempted
227     // thread return to the CPU). For this NOT to be an issue, the following
228     // conditions MUST be met:
229     // 1 - The interrupt dispatcher must acknowledge the handling of interrupts
230     //     before invoking the respective handler, thus enabling subsequent
231     //     interrupts to be handled even if a previous didn't come to an end
232     // 2 - Handlers (e.g. master) must be called after incrementing .elapsed
233     // 3 - The manipulation of alarm queue must be guarded (e.g. int_disable )
234
235     CPU::int_disable ();
236
237     Handler * handler = 0;
238     Alarm.Imp * alarm = (Alarm.Imp*)execute.cmd(CMD_GETALARM); //Get Alarm Ptr
239
240     if (alarm->.times != INFINITE)
241         alarm->.times--;
242     if (alarm->.times)
243         execute.cmd(CMD_ACTIVE, alarm->.id);
244
245     execute.cmd(CMD_ACK_INT, alarm->.id); //Ack Interrupt
246     handler = alarm->.handler;
247
248     CPU::int_enable ();
249
250     if (handler)
251         (*handler) ();
252 }
253
254 _END_SYS

```

alarm.cc